

GEOFOND 2014

SEMELLES ET REMBLAIS

PIEUX ET GROUPE DE PIEUX

COLONNES BALLASTÉES
INCLUSIONS RIGIDES

MANUEL D'UTILISATION

0	01/08/2014	GFX	EVE/DFS	MFE	
Indice	Date	Etabli par	Vérfié par	Approuvé par	Observations
\\Srvibm2\Document Logiciels GEOS\GEOFOND\GEOFOND_GFX\Manuel Utilisation GeoFond_GFX.docx					
Réf. projet :		Réf. document :		Date :	
-		Manuel Utilisation Geofond 2014		01 Août 2014	





Table des matières

COPYRIGHT	6
AVERTISSEMENT	6
INTRODUCTION.....	7
UTILISATION DU LOGICIEL	8
SPECIFICATIONS COMMUNES A TOUS MODULES	8
1. NOTE	8
1. INSTALLATION	8
1.1 Configuration minimale.....	8
1.2 Installation du logiciel	8
2. PREPARATION DES DONNEES.....	10
2.1 L'interface de saisie.....	10
2.2 Saisie du cartouche	14
2.3 Les sondages.....	15
GEOFOND - FONDATIONS SUPERFICIELLES	17
1. INTRODUCTION	17
2. SAISIE DES DONNEES.....	18
2.1 Les sols	18
2.1 Saisie par zone	20
2.2 La fondation.....	20
3. PREPARATION DES CALCULS	22
3.1 Calcul détaillé.	23
3.2 Série de calculs.	23
3.3 Calcul probabiliste.....	24
3.4 Configuration de calcul – Remblais	25
4. VISUALISATION DES RESULTATS	26
4.1 L'interface de sortie.....	26
4.2 Les résultats généraux	28
4.3 Résultats détaillés	31
GEOFOND Fondation Profondes – PIEUX	34
1. INTRODUCTION	34
2. SAISIE DES DONNEES.....	35
2.1 Choix du module	35
2.2 Les sols	36



2.3	Saisie de la fondation profonde	37
2.4	Saisie de la charge	41
2.5	Saisie du groupe de pieux.....	42
3.	VISUALISATION DES RESULTATS	44
GEOFOND Fondation Profondes – COLONNES BALLASTEES ET INCLUSIONS RIGIDES.....		47
1.	INTRODUCTION	47
2.	SAISIE DES DONNEES	48
2.1	Choix du module	48
2.2	Saisie des colonnes ballastées.....	48
2.3	Saisie des inclusions rigides.	51
CONSIDERATIONS THEORIQUES.....		52
SEMELLES		52
1.	CAPACITE PORTANTE : ESSAI PRESSIOMETRIQUE	52
1.1	Fascicule 62 Titre V	52
1.2	DTU 13.12	54
1.3	NF P 94-261 (Eurocode 7):	55
2.	TASSEMENT : ESSAI PRESSIOMETRIQUE	59
2.1	Fascicule 62 Titre V	59
2.2	NF 94-261 (Eurocode 7).....	60
2.3	Prise en compte d'une couche molle	61
3.	CAPACITE PORTANTE : ESSAI PENETROMETRIQUE STATIQUE	62
3.1	Fascicule 62 Titre V	62
3.2	DTU 13.12	63
3.3	NF P 94-261 :	63
3.4	Bowles	65
4.	TASSEMENT : ESSAI AU PENETROMETRE STATIQUE.....	66
4.1	Méthode de Meyeroff :	66
4.2	Méthode de Schmertmann :	66
4.3	Méthode de Schmertmann modifié :	67
4.4	Méthode de NF P 94-261 :	68
5.	CAPACITE PORTANTE : ESSAI LABORATOIRE C ET Φ	71
5.1	DTU13.12	71
5.2	NF P 94 – 261	71
6.	CAPACITE PORTANTE : SPT.....	73
6.1	Capacité portante par la méthode de Meyerhoff.....	73
7.	TASSEMENTS : SPT	74
7.1	Méthode de Burland	74
7.2	Méthode de Terzaghi & Peck	75



7.3	Méthode de Peck & Bazaraa	75
7.4	Méthode de Alpan	75
8.	CAPACITE PORTANTE : PENETROMETRE DYNAMIQUE	76
8.1	Méthode de Meyerhoff	76
8.2	Méthode DTU	76
REMBLAIS	77
1.	CAPACITE PORTANTE (POINÇONNEMENT) : ESSAI PRESSIOMETRIQUE	77
1.1	Méthode de Cassan	77
1.2	Méthode de Terzaghi	77
1.3	Méthode de Cassan modifiée	77
1.4	Méthode de Silvestri	78
1.5	Méthode de Mandel & Salençon	78
1.6	Méthode de Menard	78
2.	TASSEMENT : ESSAIS PRESSIOMETRIQUES	78
2.1	Calcul par moyenne harmonique	78
2.2	Calcul par couches	78
3.	TASSEMENT : ESSAIS ŒDOMETRIQUES	79
3.1	Calcul du tassement final	79
3.2	Calcul de la durée de consolidation – Essais œdométriques	79
PIEUX	82
1.	CAPACITE PORTANTE : ESSAIS PRESSIOMETRIQUES	82
1.1	Selon le Fascicule 62-Titre V	82
1.2	Selon le DTU 13.2	86
1.3	Selon la NF P 94-262	88
2.	CAPACITE PORTANTE : ESSAI AU PENETROMETRE	96
2.1	Par la méthode du Fascicule 62	96
2.2	Par la méthode du DTU 13.2	98
2.3	Selon la NF P 94-262	100
3.	TASSEMENT : ESSAIS PRESSIOMETRIQUES	104
3.1	Selon l'article de Frank et Zhao Bulletin du LCPC n°119 :	104
3.2	Selon la NF P 94-262 :	106
4.	TASSEMENT : ESSAI PENETROMETRIQUE	106
5.	CAPACITE PORTANTE : ESSAI LABORATOIRE (C ET Φ)	107
5.1	Résistance de pointe	107
5.2	Frottement latéral	108
6.	FROTTEMENT NEGATIFS	108
6.1	Calcul sur un pieu isolé	108
6.2	Calcul sur un élément de fondation au sein d'un groupe	110



7. VERIFICATION DES CARACTERISTIQUES DU BETON :	112
7.1 Selon le fascicule 62 Titre V :	112
GROUPE DE PIEUX.....	114
1. CALCUL DE LA MATRICE DE RIGIDITE S	114
1.1 Calcul du déplacement axial δz dans l'axe du pieu:	115
1.2 Calcul des déplacements horizontaux δy et δx :	115
1.3 Calcul des rotations θ_x et θ_y :	119
2. CALCUL DE LA DECOMPOSITION DES EFFORTS.	119
COLONNES BALLASTEES.....	121
1. CAPACITE PORTANTE	121
1.1 Recommandations COPREC-SOFFONS :	121
1.2 Méthode du modèle homogène équivalent (colonnes sous semelle) :.....	121
1.3 Méthode FHWA	122
1.4 Méthode de Priebe (Colonne sous radier)	122
2. TASSEMENTS.....	123
2.1 Calcul des tassements pour des colonnes sous radier.....	123
2.2 Calcul des tassements pour des colonnes sous une semelle	126
INCLUSIONS RIGIDES.....	128
1. TASSEMENTS.....	128
BIBLIOGRAPHIE.....	129



COPYRIGHT

Le logiciel GEOFOND, développé par la société GEOS INGENIEURS CONSEILS, est protégé au titre des droits d'auteurs appliqués aux logiciels informatiques.

Toute utilisation sans licence, même partielle, est interdite sans autorisation préalable. Toute reproduction ou imitation des sorties graphiques et fichiers résultats constitue une contrefaçon passible des peines prévues par la loi.

La société GEOS INGENIEURS CONSEILS a fait tout son possible pour fournir un logiciel de qualité, et conforme aux réglementations en vigueur ainsi qu'un manuel complet. Cependant, celle-ci décline toute responsabilité quant à l'utilisation du logiciel GEOFOND et aux réalisations découlant de son utilisation. Dans ce manuel, les données ne sont données qu'à titre d'exemple et ne dispensent pas l'utilisateur de définir les paramètres d'entrés du logiciel GEOFOND.

AVERTISSEMENT

GEOFOND est un outil pour calculer les contraintes d'un objet simple en application de méthodes de calcul définies. L'objet simple de calcul est défini par l'ingénieur qui retient quelques caractéristiques mécaniques et géométriques et envisage certains phénomènes physiques.

Cet objet simple ne représente pas un objet réel, tel qu'une semelle ou un remblai. Il reste un objet virtuel, permettant à un ingénieur d'évaluer le comportement d'un objet réel.

GEOFOND applique des méthodes de calcul définies à un objet virtuel simple.

Il appartient à l'ingénieur d'apprécier si l'outil de calcul GEOFOND est utilisable pour apprécier le comportement de l'ouvrage :

- L'ingénieur doit définir les phénomènes physiques qu'il prend en compte pour concevoir son ouvrage ; il définit l'objet modèle.
- L'ingénieur doit apprécier si le choix de la méthode de calcul utilisée par GEOFOND est compatible avec l'ouvrage réel.

L'ingénieur choisit l'outil de calcul qui lui paraît adapté. Il opère seul la modélisation de l'objet réel (processus de réduction d'un objet réel à un objet virtuel simple). Il décide seul de prendre en compte le résultat obtenu sur l'objet virtuel simple pour définir le comportement de l'objet réel.



INTRODUCTION

Le logiciel **GEOFOND** est un logiciel de dimensionnement des fondations qui s'articule autour de deux modules de calculs : le module fondations superficielles et le module fondations profondes.

➤ **GEOFOND Fondations Superficielles :**

Ce logiciel permet de calculer la capacité portante et les tassements de fondations superficielles, semelles ou remblais par différentes méthodes: celles du Fascicule 62, du DTU.12, de la norme d'application française NF P 94 261, mais aussi les méthodes de Terzaghi & Peck, Peck & Bazaraa, Burland, Schmertmann, Meyerhoff...

Le choix de ces méthodes est fonction du calcul à effectuer et du type d'essais à disposition: pressiomètre, pénétromètre statique ou dynamique, SPT, ou les paramètres mécaniques C, ϕ et E.

➤ **GEOFOND Fondations Profondes :**

Le logiciel **GEOFOND** permet également de calculer la capacité portante de fondations profondes en laissant le choix à l'utilisateur parmi les référentiels existants: le Fascicule 62 titre V, le DTU 13.2 et les normes d'application française de l'Eurocode 7, en l'occurrence la norme NF P 94.262. Les tassements sont calculés par la méthode de Frank & Zhao, en fonction du type d'essais à disposition: pressiomètre ou pénétromètre statique.

Un module « groupe de pieux » a été associé aux fondations profondes, il permet de vérifier les déplacements, les efforts et les moments maximums dans un groupe de pieux.

Il permet aussi de calculer la capacité portante et le tassement de sol renforcés par des colonnes ballastées, et ce par différentes méthodes, telles que celles de PRIEBE, COPREC-SOFFONS, FHWA,... Le calcul du tassement de sols renforcés par des inclusions rigides a également été ajouté.

GEOFOND offre la possibilité de réaliser des calculs paramétriques, le logiciel effectue des calculs en série et permet de connaître l'influence des différents paramètres du modèle.

GEOFOND permet également une approche des capacités portantes et tassements par les méthodes probabilistes, c'est-à-dire non pas sous forme d'une valeur déterministe, mais sous forme d'une distribution gaussienne, afin de pouvoir retenir des valeurs de capacités portantes ou de tassements en fonction d'une probabilité de dépassement.

Ce manuel concerne l'ensemble des modules de **GEOFOND**, il s'articule en 2 parties principales :

- une partie « **Utilisation du logiciel** » qui décrit pour chaque module les opérations à conduire pour la modélisation et la configuration du calcul,
- une partie « **Considérations théoriques** » qui développe les méthodes utilisées dans les calculs selon les différents référentiels disponibles et les méthodes adaptées.



UTILISATION DU LOGICIEL

SPECIFICATIONS COMMUNES A TOUS MODULES

1. Note

Le logiciel GEOFOND comportant plusieurs modules, cette première section ne concerne que les opérations communes à tous les modules, c'est-à-dire de l'installation du logiciel jusqu'à la saisie des paramètres de sol.

La suite des opérations (saisie des caractéristiques de la fondation et paramètres de calculs) est développée indépendamment dans chacune des parties spécifiques suivantes :

- GEOFOND - Fondations superficielles,
- GEOFOND Fondation Profondes – Pieux et groupe de Pieux,
- GEOFOND Fondation Profondes – Colonnes ballastées et Inclusions rigides.

1. Installation

1.1 Configuration minimale

Le logiciel GEOFOND fonctionne sous les systèmes d'exploitation Microsoft XP, Vista, 7, 8.

1.2 Installation du logiciel

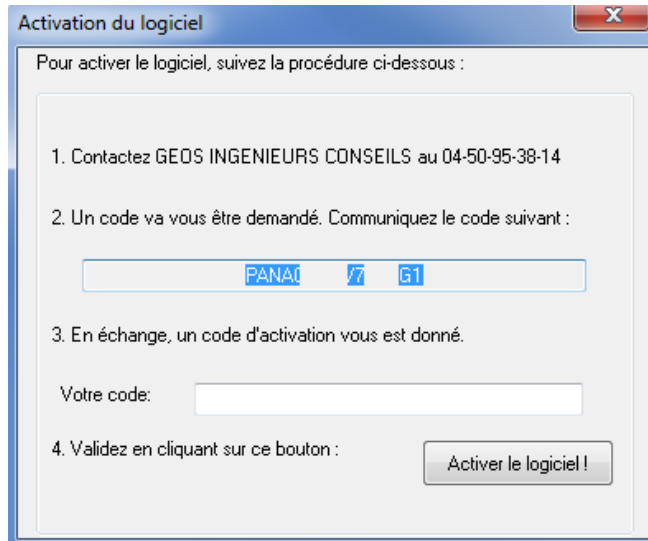
Quelle que soit la version vous voulez installer, il est nécessaire, et notamment sous Windows Vista, 7 et 8, d'être administrateur du poste sur lequel vous installez GEOFOND.

1.2.1 Version d'évaluation

La version d'évaluation est une version limitée dans le temps et protégée par un code d'activation pour laquelle toutes les fonctionnalités du logiciel sont utilisables.

Un lien d'installation vous a été envoyé par GEOS INGENIEURS CONSEILS. Cliquez sur celui-ci pour télécharger le fichier d'installation. Une fois les fichiers d'installation décompressés, cliquez sur le fichier « setup.exe ». Suivez ensuite les différentes étapes de l'assistant d'installation du logiciel.

Au premier lancement du logiciel qu'il faut faire en tant qu'administrateur (cf. paragraphe 1.2.4), la fenêtre suivante apparaît :



Communiquez à GEOS INGENIEURS CONSEILS le code donné par le logiciel (partie 2 de la procédure de la boîte de dialogue ci-contre).

En retour, vous recevrez un code d'activation qu'il faudra renseigner dans la partie 3 de la procédure de la boîte de dialogue ci-contre.

Cliquez enfin sur le bouton « Activer le logiciel ».

Une nouvelle boîte de dialogue apparaît, vous confirmant que l'activation du logiciel s'est bien déroulée et vous donnant la date jusqu'à laquelle le logiciel est actif. Il suffit alors de relancer l'application pour pouvoir l'utiliser.

1.2.2 Version intégrale

Il est nécessaire de désinstaller toutes les versions de GEOFOND présentes sur le poste avant d'installer une version intégrale du logiciel.

Quel que soit le type de protection, l'installation du logiciel se fait de la manière suivante :

- Exécuter le fichier « Setup.exe » situé sur le CD ROM fourni ou téléchargé depuis le lien envoyé par GEOS INGENIEURS CONSEILS (en décompressant le dossier téléchargé) ;
- Suivez les différentes étapes de l'assistant d'installation du logiciel.
- Une fois l'installation terminée, exécutez le raccourci « GEOFOND.exe »

A la première exécution, il faut indiquer au logiciel le type de protection auquel il est soumis : par code, par clé ou par serveur.

1.2.2.1 Version protégée par code

L'activation de la version protégée par code est identique à celle de la version d'évaluation. Ce type de protection est généralement utilisé comme moyen d'utiliser pleinement le logiciel pendant une période temporaire.

1.2.2.2 Version protégée par clé

Il s'agit du mode de protection le plus courant. Insérez la clé de protection fournie avec le CD ROM dans un port USB.

Pour que la clé soit reconnue, il est nécessaire d'installer le programme Sentinel disponible sur le CD-ROM.

1.2.2.3 Version serveur

La version serveur permet de partager plusieurs licences d'un logiciel via un serveur sans avoir besoin de clé de protection sur chaque poste.

Avant d'exécuter GEOFOND en version serveur, il faut installer et configurer le logiciel GEOSERVEUR selon le manuel fourni avec ce logiciel.



1.2.3 Modification du système de protection

Dans la version intégrale, il est possible de modifier le système de protection :

- soit en cliquant sur le bouton « **Changer** » disponible depuis le sous-menu « **A propos de GEOFOND...** » du menu « ? » du logiciel ou du bouton  de la barre de raccourcis ;
- soit en supprimant le fichier « mode.geo » présent :
 - dans le répertoire caché « C:\ProgramData\GEOS\GEOFOND » pour les systèmes d'exploitation type Windows Vista, 7 et 8 ;
 - dans le répertoire caché « C:\Documents and Settings\All Users\Application Data\GEOS\GEOFOND » pour les systèmes d'exploitation type Windows XP.

Il suffit ensuite de relancer le logiciel pour pouvoir choisir le nouveau type de protection.

1.2.4 Problèmes liés aux droits d'administration

Sous les systèmes d'exploitation Windows Vista, 7 et 8, si vous n'installez pas GEOFOND en tant qu'administrateur, il se peut que le logiciel ne fonctionne pas correctement. La clé (s'il s'agit de ce mode de protection) n'est pas reconnue et il est impossible de sélectionner le mode de protection.

Pour remédier à ce problème, il faut donner les droits à tous les utilisateurs sur le répertoire d'installation de tous les logiciels GEOS :

- Faites un clic droit sur le répertoire d'installation des logiciels GEOS (c:\Program Files\GEOS) ;
- Choisissez « Propriétés » ;
- Cliquez sur l'onglet « Sécurité », puis sur « Modifier » ;
- Ajoutez un nouvel utilisateur en cliquant sur le bouton « Ajouter » ;
- Dans la zone de texte qui apparaît, écrivez « tout le monde » en respectant la casse ;
- Cliquez sur « Valider » ;
- Sélectionnez ensuite « Contrôle total » ;
- Validez toutes les fenêtres ouvertes en cliquant sur « OK ».

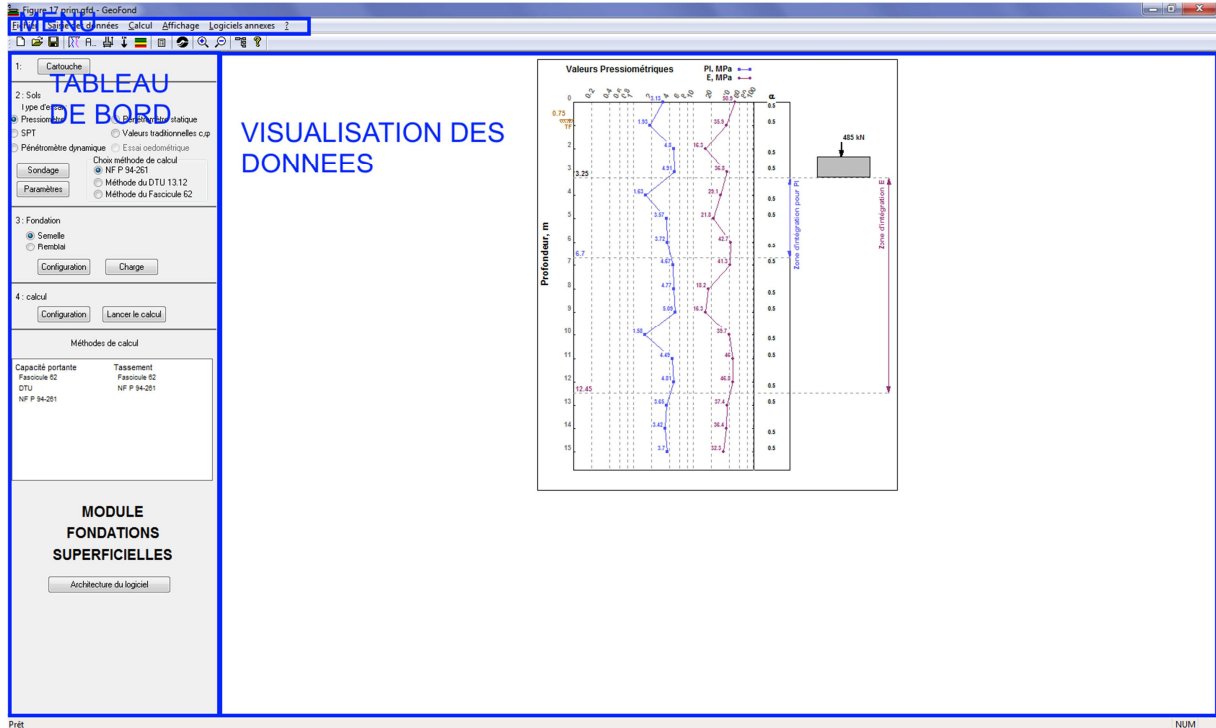
En outre, lors de l'activation du logiciel par code (en version d'évaluation ou en version intégrale), il faut exécuter le logiciel « en tant qu'administrateur » même si l'utilisateur est administrateur. Pour cela :

- Faites un clic droit sur l'application « GEOFOND.exe » se trouvant dans le répertoire d'installation du logiciel (par défaut : c:\Program Files\GEOS\GEOFOND)
- Cliquer sur « Exécuter en tant qu'administrateur ».

2. Préparation des données

2.1 L'interface de saisie

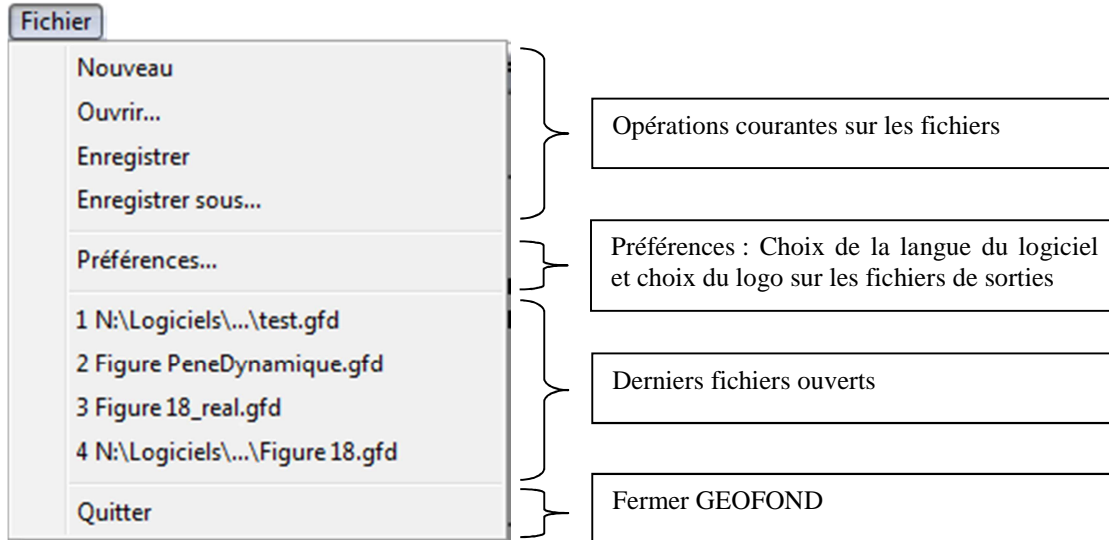
L'interface de saisie de GEOFOND se décompose en 4 parties, la barre de menus, la barre d'outils, le tableau de bord, et l'écran de visualisation des données.



2.1.1 La barre de menus

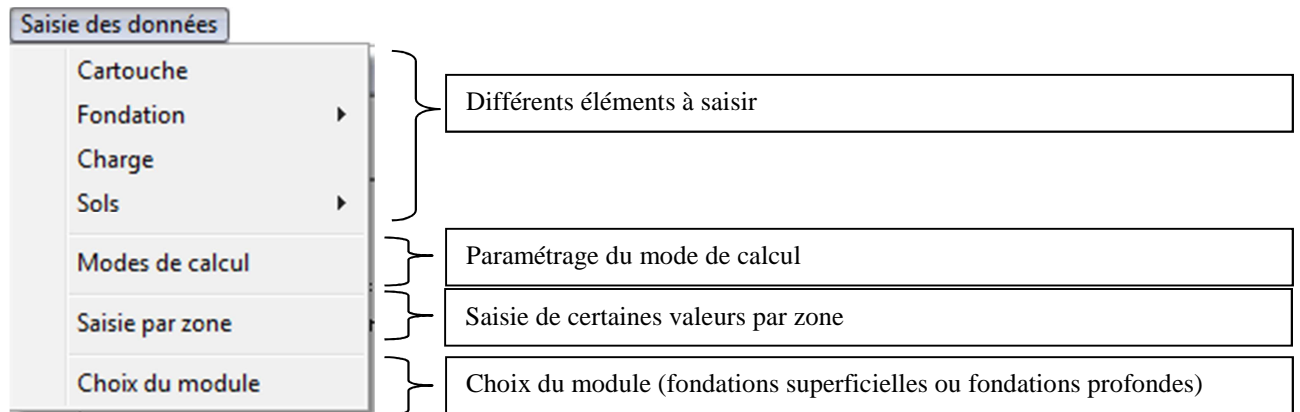


- menu « fichier » :

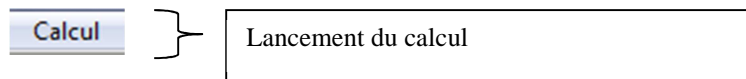




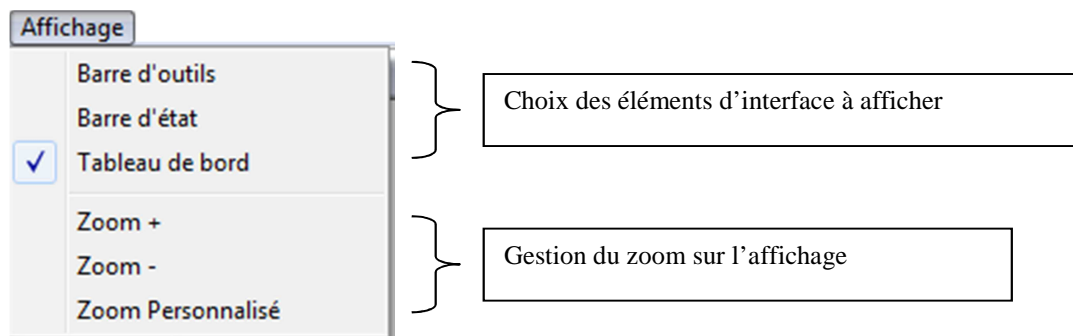
- menu « saisie des données » :



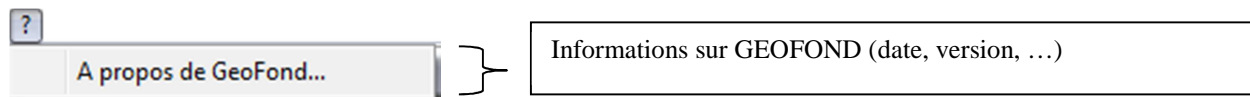
- menu « calcul » :



- menu « Affichage » :

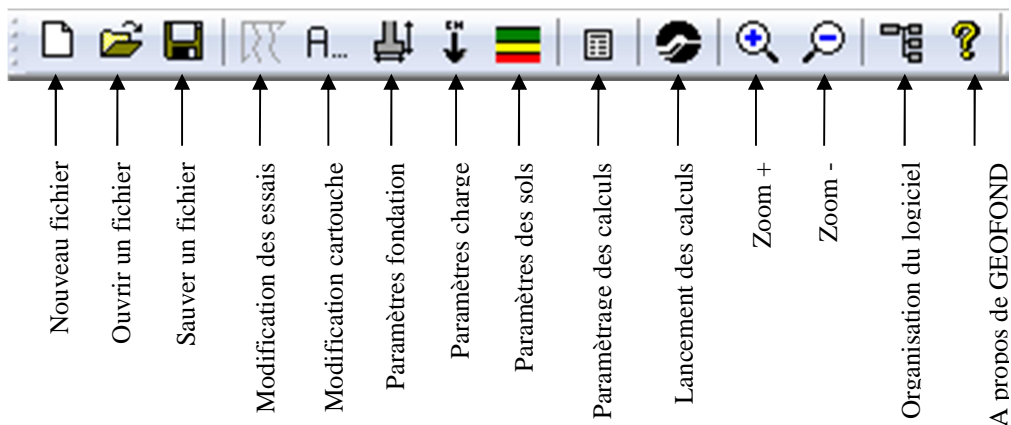


- menu « ? » :



2.1.2 La barre d'outils

Cette barre présente divers raccourcis vers les éléments de la barre de menus :





2.1.3 *Le tableau de bord*

Cet élément de l'interface permet de vous guider à travers les différentes étapes de création d'un fichier de calcul.

1:

2: Sols
Type d'essai :
 Pressiomètre Pénétrömètre statique
 SPT Valeurs traditionnelles c,φ
 Pénétrömètre dynamique

3: Fondation
 Groupe de pieux Inclusions rigides
 Colonnes ballastées
 Pieux

4: calcul

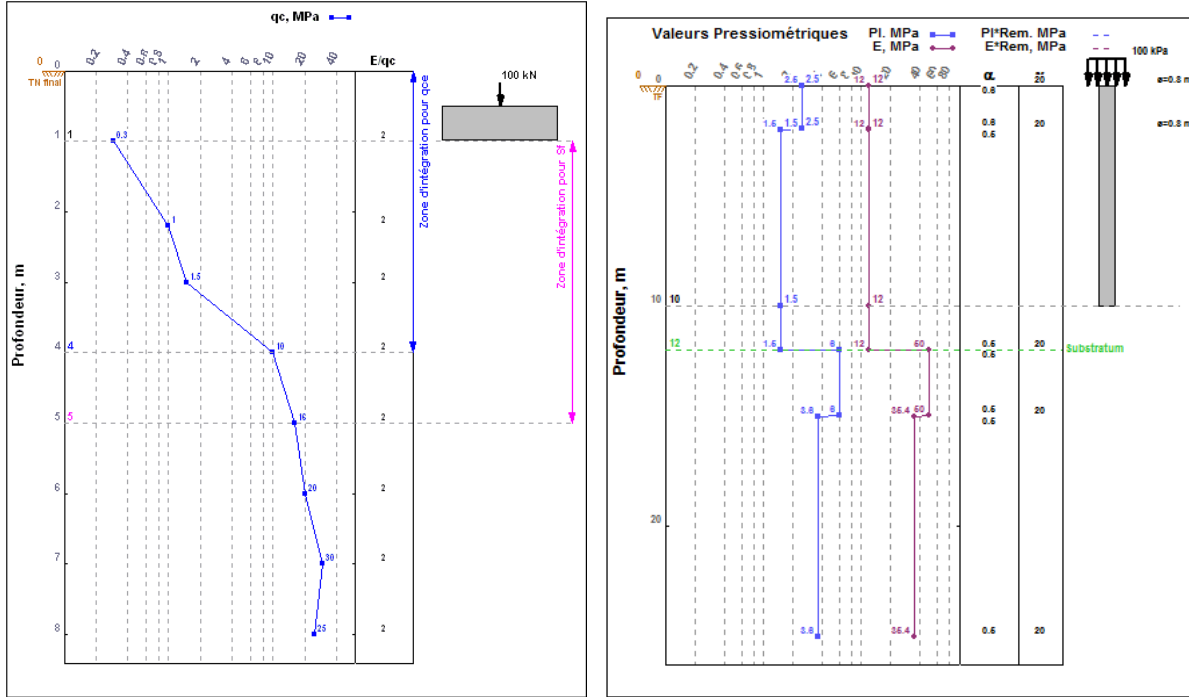
Méthodes de calcul

**MODULE
FONDATIONS
PROFONDES**

Suivre les étapes indiquées permet de s'assurer que l'on n'a rien oublié lors de la saisie du problème.

2.1.4 *Visualisation des données*

Cette partie de l'interface présente un récapitulatif des données saisies (cf figure suivante).



Sur ce diagramme sont représentées les valeurs des essais saisis, et la fondation. Cliquez directement sur les points du diagramme, ou sur la fondation, pour accéder directement à une boîte de dialogue où les différents paramètres peuvent être modifiés.

Si l'ensemble de ce diagramme récapitulatif n'apparaît pas, par exemple si vous avez beaucoup zoomé ou si la résolution de votre moniteur est insuffisante, vous pouvez déplacer cet élément en maintenant le bouton droit de la souris enfoncé.

2.2 Saisie du cartouche

Saisissez dans cette fenêtre les diverses informations qui figureront dans le cartouche, tout en bas de la fenêtre de résultats.

Saisie du cartouche

Titre du calcul : Exemple calcul

Lignes de commentaires :

Ligne de commentaire n° 1

Ligne de commentaire n° 2

Ligne de commentaire n° 3

Référence de l'affaire : DDXXXXX Initiales de l'utilisateur : DFS

Type de figure : FIGURE Numéro de figure : A1

DDXXXXX _ DFS	17/01/2014 14:35	Exemple calcul	FIGURE
			A1
Ligne de commentaire n° 1 Ligne de commentaire n° 2 Ligne de commentaire n° 3			

2.3 Les sondages

2.3.1 Saisie des données

Cette boîte de dialogue permet de saisir les résultats des différents essais in situ réalisés. Même si l'allure de cette boîte peut être sensiblement différente suivant les options choisies, la manière de saisir reste identique.

	Profondeur...	pl (MPa)	E (MPa)	Alpha
1	0	0.25	3	0.66
2	1.4	0.25	3	0.66
3	1.401	0.1	2	0.5
4	2.4	0.1	2	0.5
5	2.401	0.25	3	0.66
6	3.7	0.25	3	0.66
7	3.701	0.45	4.5	0.5
8	4.9	0.45	4.5	0.5
9	4.901	1.1	11	0.33

Le cadre « Nouvel élément » permet de saisir les données concernant une profondeur donnée.

- appuyez sur la touche « Entrée » pour passer d'un cadre de saisie au suivant ;
- sur le dernier cadre, une pression sur « Entrée » fait passer le curseur sur la touche « → » ;
- un dernier appui sur « Entrée » permet d'ajouter l'élément à la liste des éléments déjà saisis.

Un simple clic sur une valeur dans le tableau, permet de la modifier.

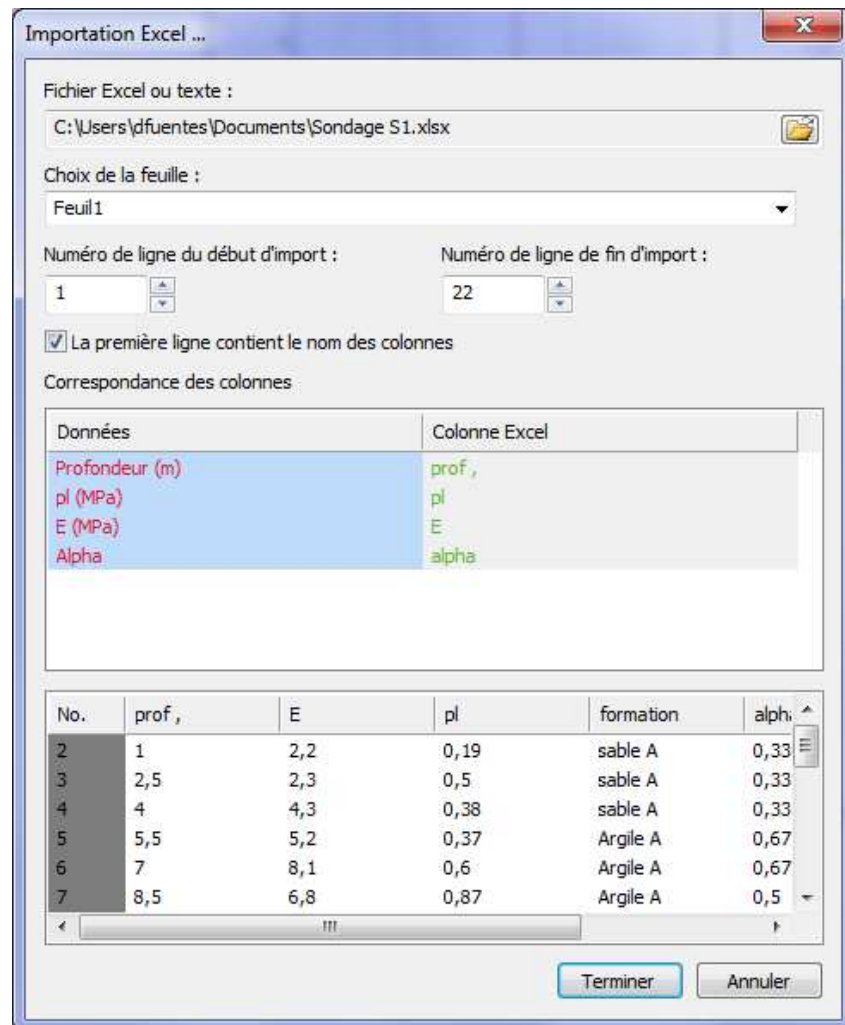
Il est ensuite possible de « naviguer » dans cette liste en utilisant les touches directionnelles, la touche « entrée » ou la touche « tabulation ».

La navigation sur la dernière ligne ajoutera automatiquement un nouvel élément reprenant les valeurs de la ligne précédente.

Ce mode de saisie est identique pour les deux modules de calcul (fondations superficielles et fondations profondes). Les paramètres à saisir et les options de calcul varient en fonction des spécificités propres aux différents types de fondations. Ces spécificités sont décrites dans les sections correspondantes dans la suite de ce manuel.

1.2.5 Importation de fichier Excel ou fichier texte

Au lieu d'être saisies manuellement, les données de sondage peuvent être directement importées dans GEOFOND. Le bouton « Importer Fichier... » permet d'accéder à la fenêtre de saisie suivante :



Les cadres successifs permettent de sélectionner, dans l'ordre :

- le fichier (Excel ou Texte : .csv, .txt, etc.), pour cela cliquez sur l'icône « Parcourir » ;
- la feuille concernée (liste déroulante) si le fichier d'import est un fichier Excel ;
- les premières et dernières lignes et les colonnes à importer ;
- la correspondance entre les colonnes du fichier et les données à importer.

Dans le cas où le fichier contient des titres en tête de colonnes, la case « La première ligne contient le nom des colonnes » doit être cochée.

La fenêtre permet de visualiser les éléments sélectionnés pour vérification avant de poursuivre la saisie.



GEOFOND - FONDATIONS SUPERFICIELLES

1. Introduction

Le logiciel GEOFOND- Fondations Superficielles permet de calculer la capacité portante et les tassements de fondations superficielles, semelles ou remblais, selon 3 référentiels:

- Fascicule 62 titre V,
- DTU 13.2,
- Norme NF P 94.261 (Eurocode 7),

Ils sont associés suivant les calculs aux différentes méthodes adaptées (Terzaghi & Peck, Peck & Bazaraa, Burland, Schmertmann, Meyerhoff...)

Selon les données d'entrée disponibles, ce module offre le choix d'utiliser :

- la méthode pressiométrique,
- la méthode œdométrique,
- l'essai au pénétromètre statique,
- l'essai au pénétromètre dynamique
- l'essai SPT,
- les essais en laboratoire.

GEOFOND- Fondations Superficielles permet de réaliser des calculs paramétriques : tassements pour différentes largeurs de semelle, etc...

GEOFOND- Fondations Superficielles permet également une approche des capacités portantes et tassements par les méthodes probabilistes, c'est-à-dire non pas sous forme d'une valeur déterministe, mais sous forme d'une distribution, afin de pouvoir retenir des valeurs de capacités portantes ou de tassements en fonction d'une probabilité de dépassement.

2. Saisie des données

2.1 Les sols

Pour la saisie des caractéristiques des sols, se référer également au paragraphe 3.3 de la section précédente (Section « Spécifications communes à tous les modules »).

Le module fondations superficielles présente quelques spécificités, notamment la prise en compte possible d'une couche molle pour le calcul du tassement (calcul séparé pour cette couche) selon le Fascicule 62 et NF P 94-261. Indiquez les valeurs d'essais dans la boîte de dialogue « Sondage ».

	Profondeur...	pl (MPa)	E (MPa)	Alpha
1	0	0.8	9	0
2	5	0.8	9	0
3	5.001	1.2	11.3	0
4	10	1.2	11.3	0
5	10.001	1.8	18.3	0
6	32	1.8	18.3	0

Reconnaitssances disponibles

Pressiomètre Ménard
 Pénétromètre statique
 SPT
 Coefficients Traditionnels
 Pénétromètre Dynamique

Calculer la hauteur d'encastrement équivalente à partir de la profondeur (m) : (/ TF) 0

Imposer la valeur de De à (m) : 0

(Méthodes Fascicule 62 + DTU) Limiter la profondeur pour le calcul des moyennes (m) : (/ TN) 0

Type de sol sous la fondation
Argiles et limons A, craies A

Voir la classification

Poids volumique des terres au-dessus de la fondation après travaux [kN/m³] : 0

Poids volumique des terres au-dessus de la fondation avant travaux [kN/m³] : 0

Profondeur de la nappe (m) : (/ TN) 0

Module de Young (ou oedométriques) valeur caractéristique sous la fondation (MPa) : 0

Cohésion sous la fondation (kPa) : 0

Coefficient de poisson sous la fondation : 0

Angle de frottement sous la fondation (*) : 0

Annuler Terminer

Dans la boîte de dialogue « Paramètres », Il est possible de saisir :

- le poids volumique des terres au-dessus de la fondation avant et après travaux, si vous désirez prendre en compte respectivement les calculs de σ'_0 et de q'_0 ;
- l'effet d'une nappe, en cochant la case près de « Profondeur de la nappe (m) : » ;
- le limite de profondeur pour le calcul des caractéristiques mécaniques moyennes ;
- la profondeur à partir de laquelle vous voulez commencer le calcul de la profondeur d'encastrement équivalente. Cela permet de négliger l'influence de couche très molle en surface (par défaut la valeur est égale à 0) ;
- la cohésion et l'angle de frottement sous la fondation afin de calculer de vérifier le glissement sous la fondation. Ces valeurs sont aussi utilisées pour le calcul de i_8 et i_p dans le cas de la norme NF P 94-261 ;



- le module de Young et le coefficient de poisson sous la fondation, cela permettra de calculer les coefficients de raideur (horizontale, verticale et de rotation) de la fondation selon l'annexe I de la norme NF P 94-261.
- choisir le type de sol parmi ceux proposés. En appuyant sur le bouton « Voir la classification », un tableau récapitulatif vous aidera dans ce choix.

Pour le dimensionnement de remblais, GEOFOND Fondations Superficielles permet aussi de conduire un calcul selon la méthode œdométrique.

Dans ce cas, il faut saisir dans la fenêtre de saisie suivante :

- l'épaisseur des couches de sols ;
- éventuellement un nom à la couche de sol ;
- les caractéristiques œdométriques (C_s , C_c , e_0 , C_v , C_r et C_α) ;
- le coefficient de perméabilité (k), celui-ci peut être calculé automatiquement par le logiciel. Il permet de prendre ne compte la perméabilité entre les différentes couches pour le calcul de consolidation.
- si le sol est sur-consolidé ou normalement consolidé ;
- Si le sol est sur consolidé, il faut choisir l'option de prise en compte de la contrainte de pré-consolidation :
 - la contrainte de pré consolidation est constante ;
 - la différence entre contrainte verticale et contrainte de pré consolidation est constante ;
 - le quotient entre contrainte verticale et contrainte de pré-consolidation (définissant l'OCR) est constant ;

Définition des valeurs œdométriques

Position de la couche : Nom de la couche : Epaisseur de la couche (H0 en m) :

Couche Drainante (Tassement non calculé)

Poids Volumique du sol (γ_s en kN/m³) : Indice de gonflement (C_s) : Indice de compression (C_c) : Indice de vide (e_0) :

Coefficient de consolidation verticale (C_v en m²/s) : Coefficient de consolidation radiale (C_r en m²/s) : Coefficient de fluage (C_α) :

Calcul automatiquement de la perméabilité k .

Sol normalement consolidé Option de prise en compte de la contrainte :

delta de contrainte de pré consolidation ($\Delta\sigma_p$ en kPa) :

Position	Nom	H0	Draina...	γ_s	C_s	C_c	e_0	C_v	C_r	C_α	k calculé	k	Normal...	Option σp	σp ou ...	z σp
1	Couche1	10	<input type="checkbox"/> Non	20	0.02	0.187	0.685	1.14e-07	1.14e-06	0.025	<input checked="" type="checkbox"/> Oui		<input type="checkbox"/> Non	Δσ (σp - σv0) const...	10.000	

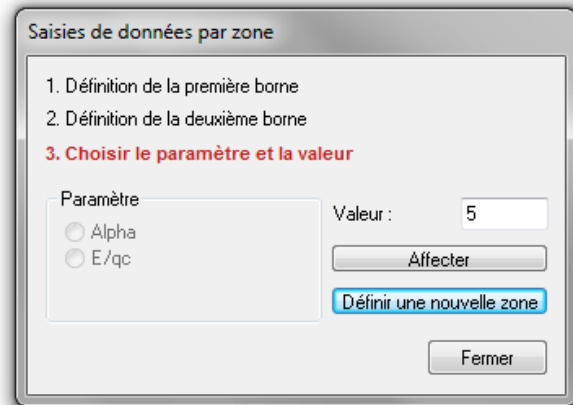
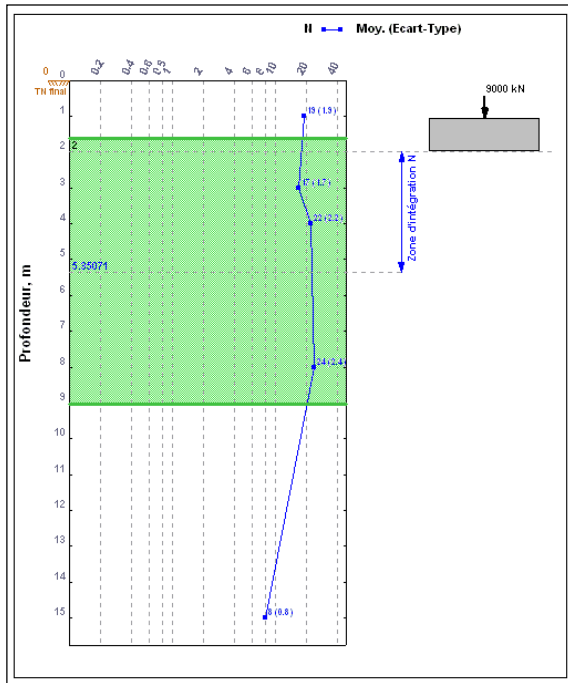
Prise en compte d'une nappe Profondeur de la nappe / TN (en m) :

Le substratum est drainant

-
-
-

2.1 Saisie par zone

Afin de saisir ou modifier rapidement un grand nombre de valeurs, il est possible d'effectuer une saisie par zone. Pour cela, choisissez le menu « Saisie des données → Saisie par zone ».



La boîte de dialogue qui apparaît alors vous guide dans cette saisie. Cliquez une première fois dans le graphe pour définir une première borne. Cliquez une seconde fois pour définir la deuxième borne. La zone alors sélectionnée est surlignée en vert. Choisissez le paramètre pour lequel vous voulez modifier la valeur, et indiquer la valeur à lui donner.

Appuyez finalement sur le bouton « Affecter » pour donner au paramètre de tous les points de la zone la valeur voulue.

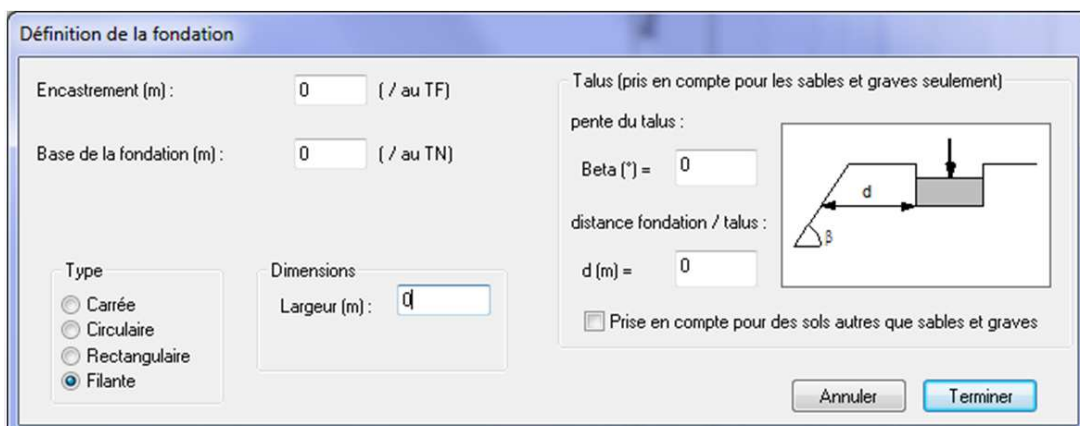
Appuyez sur « Définir une nouvelle zone » pour recommencer la saisie des bornes.

2.2 La fondation

Choisissez le type de fondation sur le tableau de bord, ou dans le menu « Saisie des données → Fondation ». Les options disponibles peuvent changer en fonction du type d'essai et du mode de calcul choisi.

2.2.1 Semelle

Définissez dans cette fenêtre la géométrie de la semelle et du talus.





2.2.2 Charge

Dans la fenêtre suivante, vous pouvez définir les paramètres de charge pour une semelle.

GEOFOND Fondations Superficielles permet également de prendre en compte éventuellement :

- l'inclinaison de la charge;
- l'excentricité (longitudinale ou transversale) de la charge;
- le type de charge (ELU, ELS ...)
- la durée d'application.

La saisie des données dans le tableau se fait comme pour la saisie des données des essais.

Charge sur la semelle

Vérifier les charges suivantes :

Cas de charge	Fd (kN)	Inclinaison (°)	Excentricité lon...	Excentricité tra...	Durée d'applica...
E.L.S. quasi-per...	100	10	0.2	0	Long terme
E.L.U. fondame...	250	15	0.3	0.5	Court terme

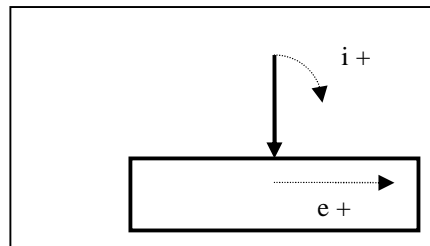
L'inclinaison est positif dans le sens horaire
L'excentricité est positif vers la droite

Supprimer la sélection

Supprimer tout

Annuler Terminer

Les conventions de signes sont les suivantes :



2.2.3 Remblai

La sélection du type de fondation « remblai » dans le tableau de bord ou dans le menu « Saisie de données » donne accès à la fenêtre de saisie suivante :

Celle-ci permet de configurer la géométrie et les caractéristiques du remblai avec plusieurs options, ainsi il est possible de modéliser un remblai:

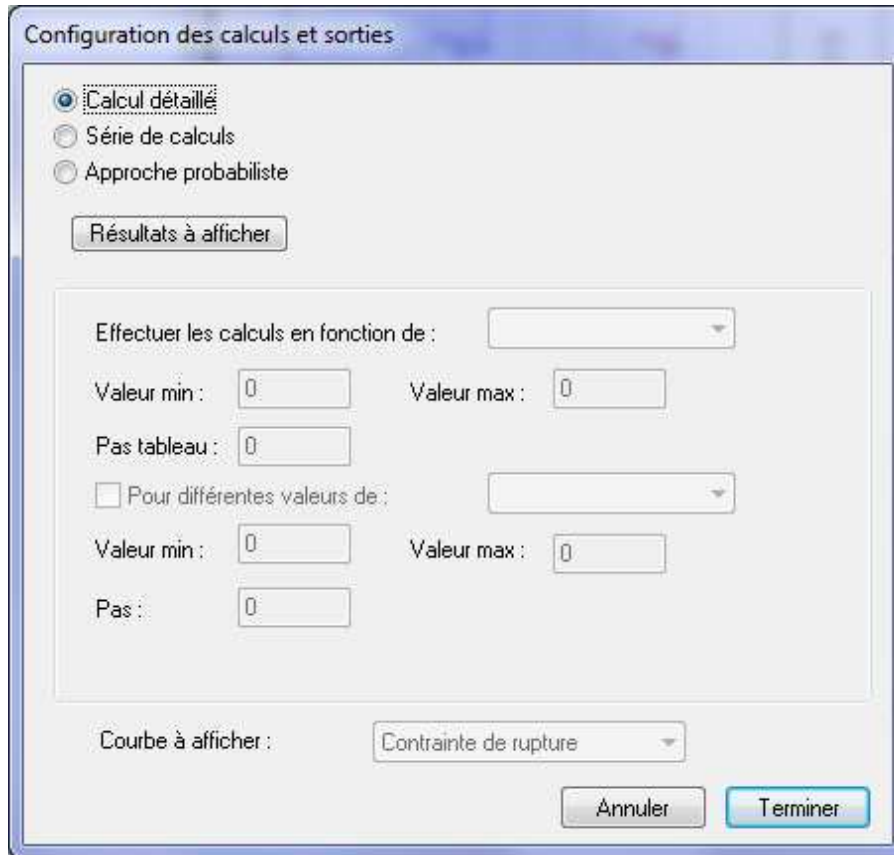
- fini ou infini,
- présentant une risberme : dans ce cas s'affichent les options de configuration de la risberme (largeur et hauteur),
- dissymétrique : dans ce cas s'affiche les options de configuration des pentes (en X+, X-, Y+ et Y- selon un repère fixé au centre du sommet du remblai).

Le logiciel offre également la possibilité de prendre en compte une surcharge sur le remblai ou un pré chargement.

3. Préparation des calculs

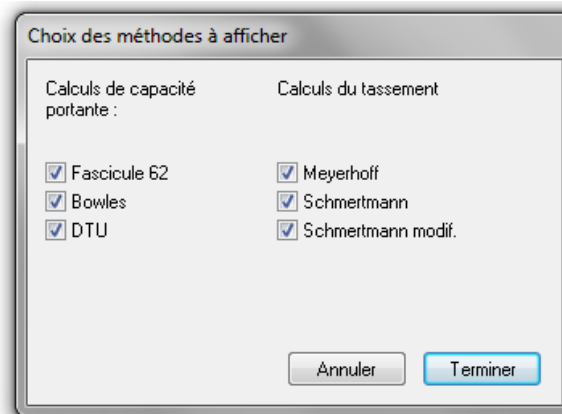
Vous avez en général le choix entre trois modes de calcul : calcul unique détaillé, série de calculs et calcul probabiliste. Ce choix peut-être restreint en fonction des méthodes choisies.

Ce choix, ainsi que la configuration appropriée, s'effectue dans la fenêtre suivante.



3.1 Calcul détaillé.

Il s'agit du mode de calcul par défaut. Il n'y a aucun paramètre supplémentaire à configurer dans ce cas. Vous pouvez choisir de ne pas afficher tous les résultats calculés sur la feuille de sortie (cf. partie 5), en cliquant sur le bouton « Résultats à afficher », et en décochant les cases appropriées dans la fenêtre qui apparaît.



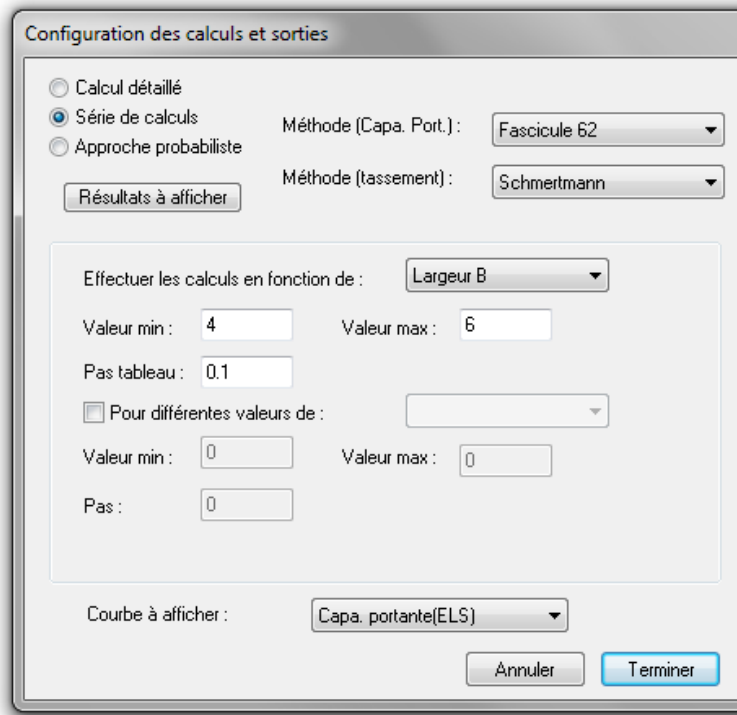
3.2 Série de calculs.

Ce mode permet d'effectuer toute une série de calcul, en fonction de un ou deux paramètres. Les différents résultats de capacité portante et de tassements seront ensuite présentés sous forme de courbes et sous forme de tableau.

Choisissez dans le cadre présenté ci-dessous le ou les paramètres pour lesquels vous voulez effectuer les calculs. Pour chacun d'entre eux, définissez une valeur minimum et une valeur maximum ainsi que le pas. La fenêtre de saisie permet également de choisir la méthode de calcul à utiliser (menus déroulants) pour la capacité portante et le calcul des tassements.



La capacité portante et le tassement seront représentés sur un graphique et sur un tableau en fonction du premier paramètre, pour chaque valeur du second. Pour des raisons de lisibilité des résultats, il est préférable d'éviter d'avoir plus d'une dizaine de valeurs pour ce paramètre.



En fonction du type de repérage choisi, diverses méthodes peuvent être choisies pour le calcul de la capacité portante et/ou du tassement.

Pour le calcul de la capacité portante, il est possible de représenter trois courbes différentes (la capacité portante à l'ELU, celle à l'ELS, ou la contrainte de rupture). Choisissez-en une dans la liste déroulante.

Note importante :

Lorsque vous réalisez des calculs en fonction de l'encastrement D , saisissez toutes vos autres données pour la valeur minimum de ce paramètre. Les données corrélées à ce paramètre (notamment la profondeur de la base et l'encastrement dans la formation porteuse) seront incrémentés durant le calcul de la même manière que D .

3.3 Calcul probabiliste.

Ce mode permet, plutôt que de calculer une valeur, d'estimer la probabilité d'atteindre cette valeur, en fonction des incertitudes sur chacun des paramètres de sol.

Pour configurer ce mode, choisissez l'option « Approche probabiliste ». Un bouton « Configurer l'approche proba. » apparaît. Appuyez sur ce dernier pour saisir la valeur des coefficients de variation, en pourcentage, de chacun des paramètres du sol.

Le coefficient de variation est défini par :
$$\frac{\text{ecart-type}}{\text{moyenne}}$$

Pour cela, double-cliquez sur la valeur à modifier, saisissez sa valeur, et appuyez sur la touche « Entrée » pour valider.

Profondeur (m)	pl (MPa) (Moy.)	pl (%) (CV)	E (MPa) (Moy.)	E (%) (CV)
0	1	0	10	0
5	1	0	10	0
5	1.2	0	13.5	0
15	1.2	0	13.5	0
15	0.9	0	11.6	0
20	0.9	0	11.6	0
20	2.3	0	24.5	0
35	2.3	0	24.5	0

Paramètre alpha : Valeur moyenne : 0.5 CV : 0 CV : Coefficient de Variation

Loi(s) en sortie : Log Normale

Calcul à effectuer (capacité portante)

P(q'réf < Capa. Port.) Capa. Port. telle que P(q'réf < Capa. Port.) = P valeur à atteindre : 0 MPa

P(q'réf > Capa. Port.) Capa. Port. telle que P(q'réf > Capa. Port.) = P

Calcul à effectuer (tassement)

P(Tass. Réel < X) X tel que P(Tass Réel < X) = P valeur à atteindre : 0 cm

P(Tass. Réel > X) X tel que P(Tass Réel > X) = P

Annuler Terminer

Cette fenêtre vous permet également de choisir le type de loi à prendre en compte (normale ou log-normale).

Enfin, il faut choisir le type de courbe à afficher pour la capacité portante et le tassement, et la valeur à atteindre, qui figurera explicitement sur le graphe de sortie.

Pour la capacité portante l'utilisateur peut configurer le calcul probabiliste en définissant le type de calcul à effectuer :

- soit : Probabilité que la capacité de référence dépasse ou non la capacité portante,
- soit : Capacité portante en fonction de la probabilité de dépassement de la capacité de référence.

Pour les tassements, l'utilisateur définit une valeur de tassement de référence à partir de laquelle il peut conduire les deux types de calculs:

- soit : Probabilité que le tassement réel dépasse ou non la valeur de référence,
- soit : Tassement réel en fonction de la probabilité de dépassement de la valeur de référence.

3.4 Configuration de calcul – Remblais

Les options de calculs sont accessibles en cliquant sur « Configuration » dans le menu « 4 : Calcul ».

Avec les données pressiométriques, cette fenêtre vous permet de :

- choisir les distances pour lesquels les résultats seront donnés,
- choisir la méthode de calcul de tassements (par couche ou moyenne harmonique),

Avec les données œdométriques, elle permet de saisir :

- les distances pour lesquels les résultats seront donnés,
- les temps auxquels les tassements seront donnés,
- les tassements ou degrés de consolidation pour lesquels les temps seront donnés,
- le nombre de couche pour le calcul de tassement.

Vous avez également la possibilité de configurer la courbe d'isovaleurs (cas d'un remblai fini seulement) :

- choix des couleurs et du nombre de subdivisions
- choix du nombre de pas en X et Y

4. Visualisation des résultats

Après avoir lancé le calcul, si celui-ci se déroule sans problèmes, une représentation de la feuille de résultats apparaît.

4.1 L'interface de sortie

L'interface de sortie se divise en trois parties : la barre de menu, la barre d'outils et la zone d'affichage.

4.1.1 La barre de menu.

Retourner à la page précédente Affichage Impression ?

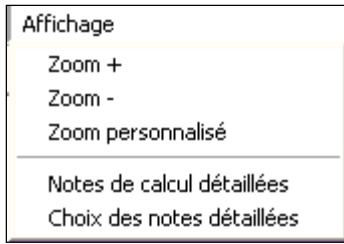
- menu « Retourner à la page précédente » :



Retourner à la page précédente

Retour à l'interface de saisie

- menu « Affichage » :



Gestion du zoom de l'affichage (sur l'écran et non sur l'impression).

Affichage et choix de feuilles supplémentaires

- menu « Impression » :



Lancement et configuration de l'impression

4.1.2 La barre d'outils



Zoom -

Zoom +

Lancement de l'impression

4.1.3 La zone d'affichage

Comme pour l'interface de saisie, il est possible, si un fort zoom est appliqué ou si l'ensemble des pages ne peut pas être affiché à l'écran, de déplacer la zone d'affichage en la faisant glisser tout en maintenant le bouton droit de la souris enfoncé.

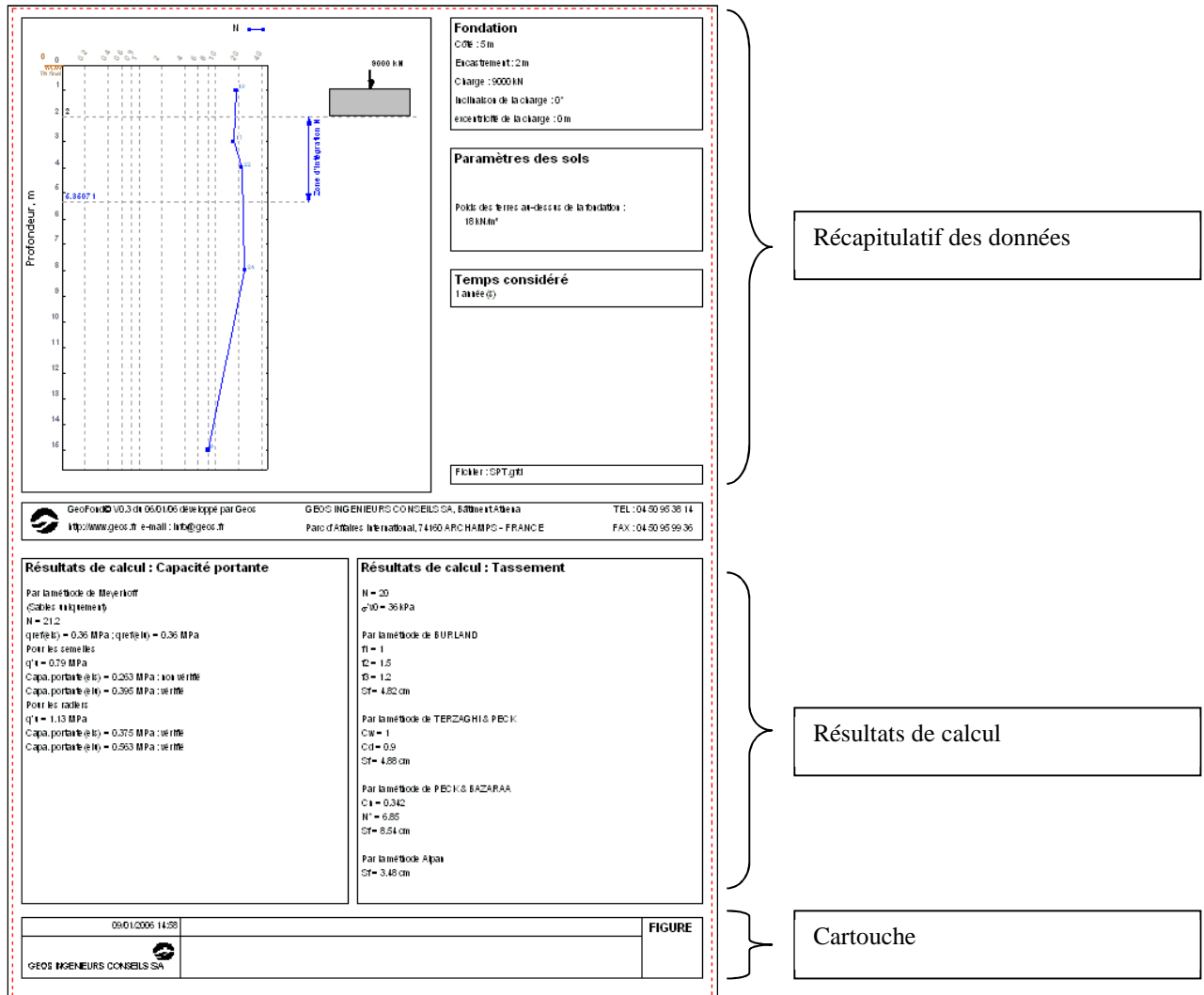
Les différentes pages sont affichées comme elles sont imprimées, chaque page étant délimitée par un liseré rouge.



4.2 Les résultats généraux

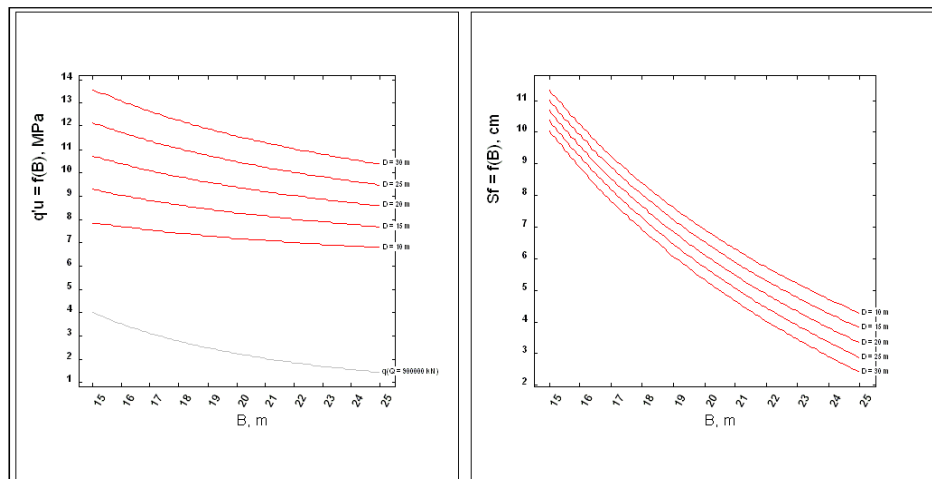
4.2.1 Semelles

Ceux-ci sont présentés sur la première feuille de résultats.



La partie supérieure de cette feuille présente un récapitulatif des données saisies.

Les résultats de calcul sont donnés dans la partie inférieure de la feuille. Si les calculs en série ou l'approche probabiliste ont été choisis, les cadres de résultats de capacité portante et de tassements affichent un graphe plutôt que des valeurs numériques.





Dans le cas de calculs en série, un tableau de résultat est affiché sur les pages suivantes:

Pour un encastrement D de 1 m Capacité portante calculée suivant la méthode du Fascicule 62 Tassement calculé suivant la méthode du Fascicule 62

Largeur B (m)	Capacité Portante (ELS) (MPa)	Capacité Portante (ELU) (MPa)	Tassement (cm)
2	0.171	0.252	0
2.1	0.171	0.253	0
2.2	0.171	0.253	0
2.3	0.172	0.253	0
2.4	0.171	0.253	0
2.5	0.171	0.253	0
2.6	0.171	0.252	0
2.7	0.171	0.252	0
2.8	0.17	0.251	0
2.9	0.17	0.251	0
3	0.17	0.251	0
3.1	0.17	0.25	0
3.2	0.169	0.25	0
3.3	0.169	0.25	0
3.4	0.169	0.249	0
3.5	0.169	0.249	0
3.6	0.169	0.249	0
3.7	0.168	0.249	0
3.8	0.168	0.248	0
4	0.168	0.248	0

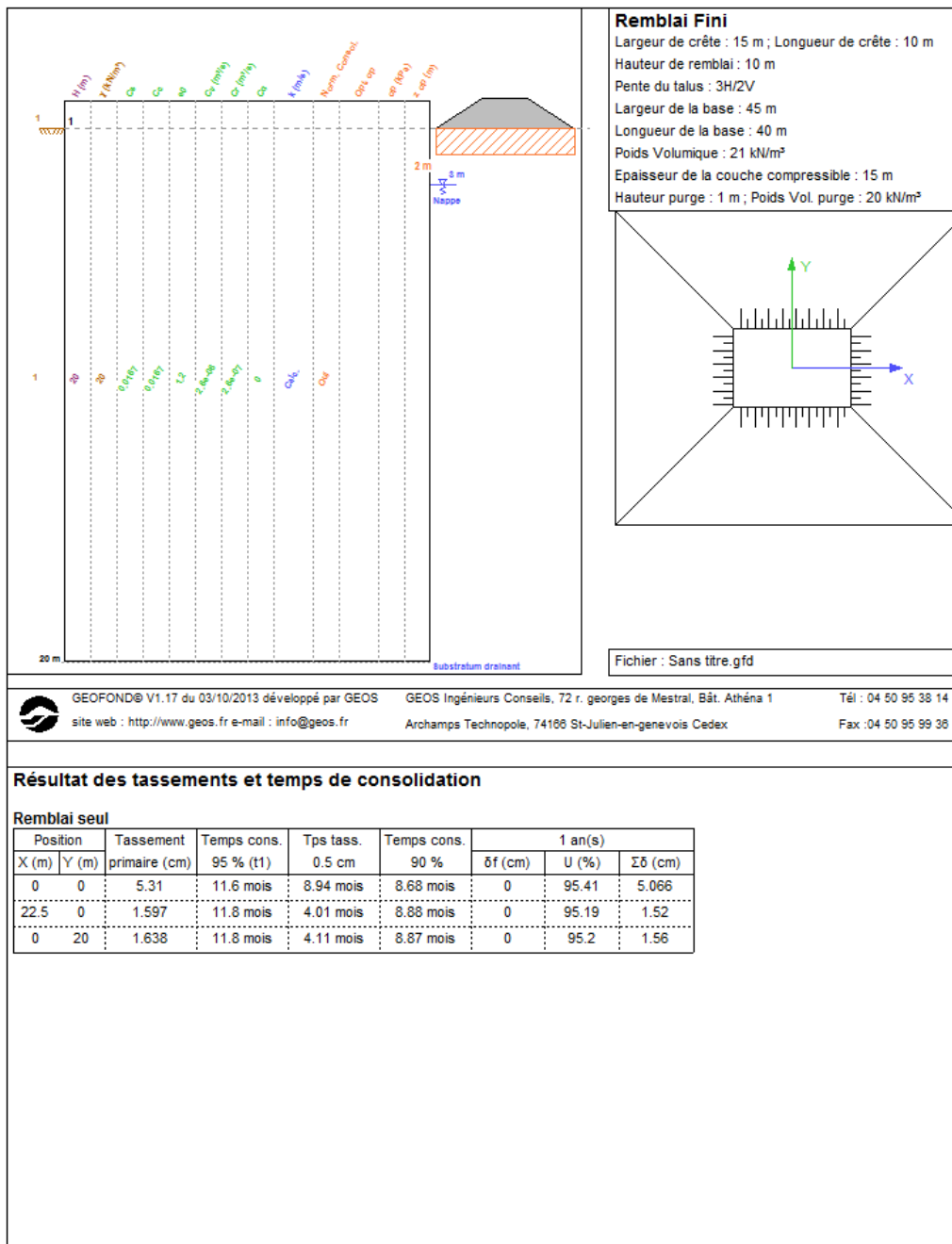
Pour un encastrement D de 1.5 m Capacité portante calculée suivant la méthode du Fascicule 62 Tassement calculé suivant la méthode du Fascicule 62

Largeur B (m)	Capacité Portante (ELS) (MPa)	Capacité Portante (ELU) (MPa)	Tassement (cm)
2	0.186	0.273	0
2.1	0.185	0.271	0
2.2	0.184	0.27	0
2.3	0.184	0.27	0
2.4	0.183	0.269	0
2.5	0.183	0.268	0
2.6	0.182	0.267	0
2.7	0.182	0.267	0
2.8	0.181	0.266	0
2.9	0.181	0.265	0
3	0.181	0.265	0
3.1	0.18	0.264	0
3.2	0.18	0.264	0
3.3	0.18	0.263	0
3.4	0.179	0.263	0
3.5	0.179	0.263	0



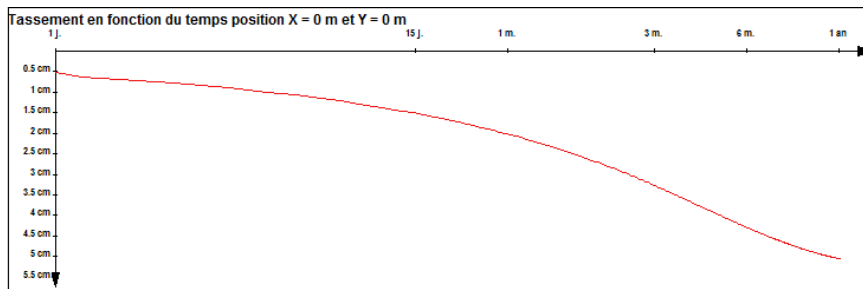
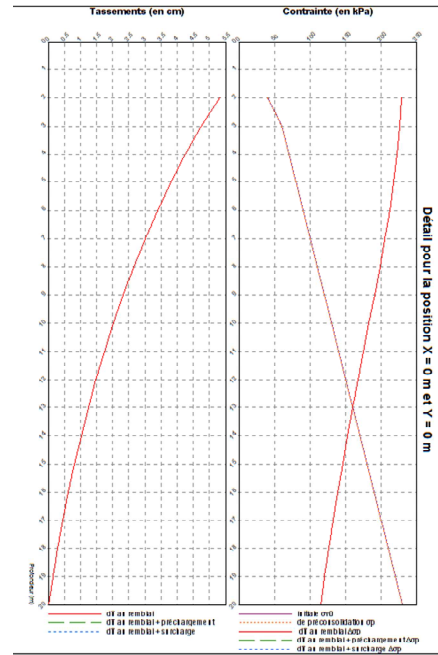
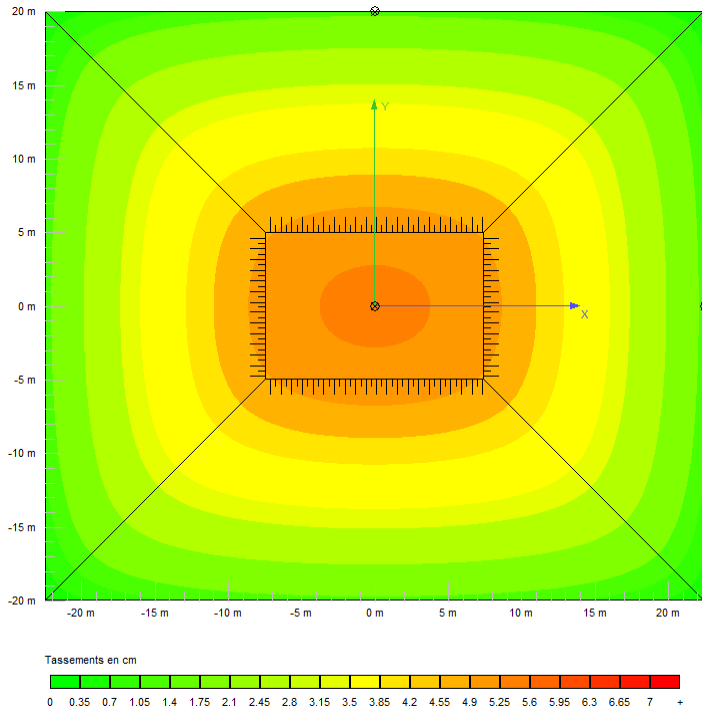
4.2.2 Remblais

Les résultats principaux sont présentés sur la première feuille de résultats.



Les feuilles suivantes donnent les résultats sous formes graphiques :

- représentation des isovaleurs,
- courbe de tassements en fonction du temps à la position choisie (dans le cas du choix de la méthode oedométrique),
- courbes contraintes et tassements en fonction de la profondeur à la position choisie.



4.3 Résultats détaillés

Ces résultats sont présentés sur des feuilles supplémentaires pour le dimensionnement des semelles. Tous les résultats de calcul intermédiaires y figurent, et les formules utilisées y sont rappelées.



Résultats détaillés : capacité portante

B = 15 m ; D = 10 m

Par la méthode de Faciole 62

$q_{min}(z) = 4 \text{ MPa} ; q_{max}(z) = 4 \text{ MPa} ; q_{moy}(z) = 4 \text{ MPa} ; q_{max}(z) = 4 \text{ MPa}$

$q_{ref}(z) = (3 \cdot q_{max}(z) + q_{min}(z)) / 4 = 4 \text{ MPa} ; q_{ref}(z) = (3 \cdot q_{max}(z) + q_{min}(z)) / 4 = 4 \text{ MPa}$

$$P_k^* = \exp\left(\log(10) / (1.5 B) \int_0^D \log(P(z), z) dz\right) = 5 \text{ MPa}$$

$$D_e = 1/P_k^* \int_0^D P(z), z dz = 10 \text{ m}$$

$q^* = \gamma \cdot D + \gamma_e \cdot z_e = 190 \text{ kPa}$

$hp = (1 + 0.8(D_e/6 + 0.4 B/L) \cdot (D_e/B)) = 1.53$

$\beta^* = 45 (1 - \sqrt{q^*/(1 - 0.9 \tan \beta \cdot (2 - \tan \beta))}) \cdot \ln(\max(1 - d/8D ; 0.7)) + 5$

$l\beta = (1 - \beta^*/60)^2 (1 - e^{-(D_e/B)}) + \ln(\max(1 - \beta^*/45 ; 0.7)) \cdot e^{-(D_e/B)} = 1$

$q^* = hp \cdot P_k^* + q^* = 7.95 \text{ MPa}$

Capa. Port. (z) = $(q^* - q^*) \cdot l\beta / 3 + q^* = 2.75 \text{ MPa}$

Capa. Port. (z) = $(q^* - q^*) \cdot l\beta / 2 + q^* = 4.02 \text{ MPa}$

Résultats détaillés : tassement

Par la méthode de Faciole 62

$e^* = \gamma \cdot z + \gamma_e \cdot z_e = 570 \text{ kPa}$

$$E_i = \frac{\log(10) / (B \cdot z)}{D + 0.1Bz^2} \int_0^D \log(E(z), z) dz$$

$E_1 = 32.7 \text{ MPa} ; E_2 = 33.3 \text{ MPa} ; E_3 = 34 \text{ MPa} ; E_4 = 34.6 \text{ MPa}$

$E_5 = 35.3 \text{ MPa} ; E_6 = 36 \text{ MPa} ; E_7 = 36.7 \text{ MPa} ; E_8 = 37.4 \text{ MPa}$

$E_9 = 38.1 \text{ MPa} ; E_{10} = 38.8 \text{ MPa} ; E_{11} = 39.6 \text{ MPa} ; E_{12} = 40.4 \text{ MPa}$

$E_{13} = 41.1 \text{ MPa} ; E_{14} = 41.9 \text{ MPa} ; E_{15} = 42.8 \text{ MPa} ; E_{16} = 43.6 \text{ MPa}$

$E_{ij} = (j - 1 + 0.5) / (0.5E_i + \dots + 1/E_j)$

$E_1 = 32.7 \text{ MPa} ; E_2 = 33.3 \text{ MPa} ; E_{3,5} = 34.6 \text{ MPa} ; E_{5,8} = 36.7 \text{ MPa}$

$E_{9,16} = 40.7 \text{ MPa} ;$

$E_0 = E_1 = 32.7 \text{ MPa}$

$E_d = 4.0 / (1/E_1 + 1/(0.85 E_2) + 1/E_{3,5} + 1/(2.5 E_{5,8}) + 1/(2.5 E_{9,16})) = 34.6 \text{ MPa}$

$\lambda_c = 1.1$

$\lambda_d = 1.12$

$\omega_c = 0.354$ (même formule que pour E_0)

$\omega_d = 0.371$ (même formule que pour E_d)

$S_c = \omega_c / (9 E_0) \cdot (q_{ref} - e^*) \cdot \lambda_c \cdot B = 6.81 \text{ cm}$

$S_d = 2 / (9 E_d) \cdot (q_{ref} - e^*) \cdot B \cdot \lambda_d \cdot B / (0.6) \cdot \omega_d = 4.55 \text{ cm}$

$S_T = S_c + S_d = 11.4 \text{ cm}$

09/01/2005 16:00 page 2 **FIGURE**

GEOS INGENIEURS CONSEILS SA

Résultats capacité portante

Résultats tassement

Cartouche

Pour afficher ces pages, il faut cocher l'option « Notes de calcul détaillées », dans le menu « Affichage ».

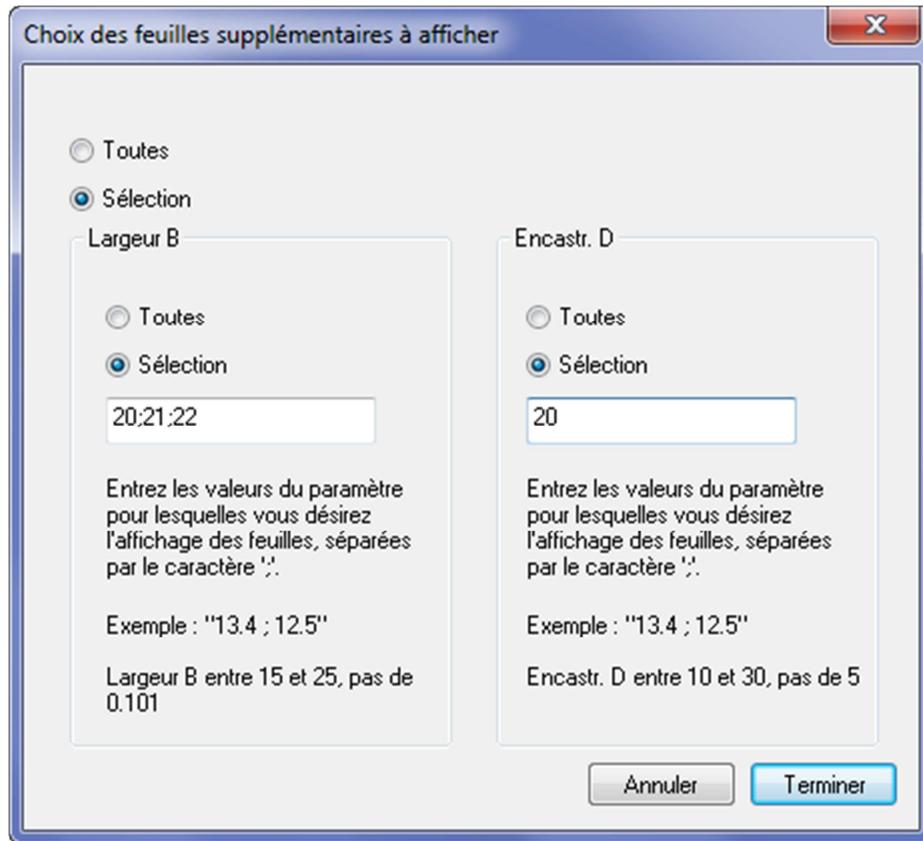
Pour les calculs détaillés, une seule page supplémentaire est affichée.

Pour les approches probabilistes, une page supplémentaire est affichée, présentant les résultats pour la valeur moyenne.

Pour les calculs en série, le nombre de feuilles supplémentaires affichées est égal à 100 (discretisation arbitraire du premier paramètre) multiplié par le nombre de points de discretisation du deuxième paramètre.

L'utilisateur peut effectuer un filtre sur ces pages, par l'intermédiaire du menu « Affichage → choix des notes détaillées ».

La boîte de dialogue suivante permet de définir les critères de sélection des pages.



Il est à noter que si on fait une sélection sur chacun des deux paramètres, les feuilles affichées sont celles qui correspondent à la fois au critère 1 et au critère 2, et non pas soit au critère 1 soit au critère 2.



GEOFOND FONDATIONS PROFONDES – PIEUX

1. Introduction

Le logiciel GEOFOND-MODULE Fondations Profondes permet de calculer la capacité portante de fondations profondes par la méthode du Fascicule 62 titre V, du DTU 13.2, de la Norme NF P 94 262, ainsi que les tassements par la méthode de Frank & Zhao et les frottements négatifs, en fonction du type d'essais à disposition : pressiomètre ou pénétromètre statique.

GEOFOND-MODULE Fondations Profondes permet de réaliser des calculs paramétriques : capacité portante pour différentes dimensions de pieu, etc...

Ce module permet également une approche des capacités portantes et des tassements par les méthodes probabilistes, c'est-à-dire non pas sous forme d'une valeur déterministe, mais sous forme d'une distribution, afin de pouvoir retenir des valeurs de capacités portantes et de tassements en fonction d'une probabilité de dépassement.

GEOFOND-MODULE Fondations Profondes permet également de décomposer les efforts dans le cas de groupe de pieux.

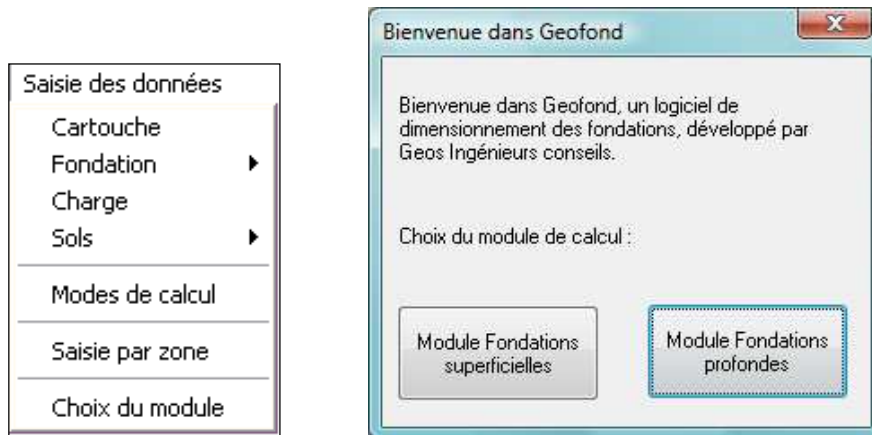


2. Saisie des données

2.1 Choix du module

Le passage à GEOFOND-MODULE Fondations Profondes se fait automatiquement lors de l'ouverture d'un fichier correspondant à ce module.

Pour créer un nouveau fichier de calcul de fondation profonde, il faut passer par le menu « Saisie des données → Choix du module », dans le menu, puis cliquer sur le bouton approprié dans la fenêtre qui apparaît.



Le module actif est par ailleurs affiché dans le bas du tableau de bord.

1:

2: Sols
Type d'essai :
 Pressiomètre Pénétrömètre statique
 SPT Valeurs traditionnelles c/p
 Pénétrömètre dynamique

 NF P 94-262
 Méthode du DTU 13.2
 Méthode du Fascicule 62

3: Fondation Inclusions rigides
 Colonnes ballastées
 Groupe de pieux Pieux

4: calcul

Méthodes de calcul

Capacité portante Fascicule 62 DTU	Tassement Frank & Zhao
--	---------------------------

**MODULE
FONDATIONS
PROFONDES**

Dès que le choix du type d'essai (Pénétrömètre statique ou Pressiomètre) a été fait, il est IMPERATIF de faire le choix de la méthode de calcul utilisée pour pouvoir poursuivre la saisie.

2.2 Les sols

Pour la saisie des caractéristiques des sols, se référer au paragraphe 3.3 de la première section (Spécifications communes à tous les modules).

Définition des valeurs pressiométriques

Nouvel élément

Profondeur (m) : 0

Pression limite PI (MPa) : 0

Module E (MPa) : 0

Formation (au-dessous) : Argiles / limons A

	Profondeur (m)	pl (MPa)	E (MPa)	Formation
1	0	0.4	6	Sables / graves A
2	1.7	0.4	6	Sables / graves A
3	1.71	0.5	6	Sables / graves A
4	8.7	0.5	6	Sables / graves A
5	8.71	0.65	7	Sables / graves A
6	9.7	0.65	7	Sables / graves A
7	9.71	1.5	15	Marnes A
8	13.7	1.5	15	Marnes A
9	13.71	3	39	Marnes A
10	20	3	39	Marnes A

Valeur de q_s pour les craies pour des fondations de type "Foré tubé (tube perdu)", "Métal battu fermé", "Battu préfabriqué béton", ou "Battu enrobé" : (MPa) 0

Pour les pieux, le logiciel présente les spécificités suivantes :

- saisie de la valeur de frottements dans le cas de craie pour des pieux spécifiques (Fascicule 62 Titre V),
- possibilité d'imposer les valeurs de q_s ou k_c ou k_p (cf. fenêtre suivante) :

Valeurs Imposées

Nouvel élément

Profondeur entre 0 et 0 m

Imposer le frottement latérale q_s

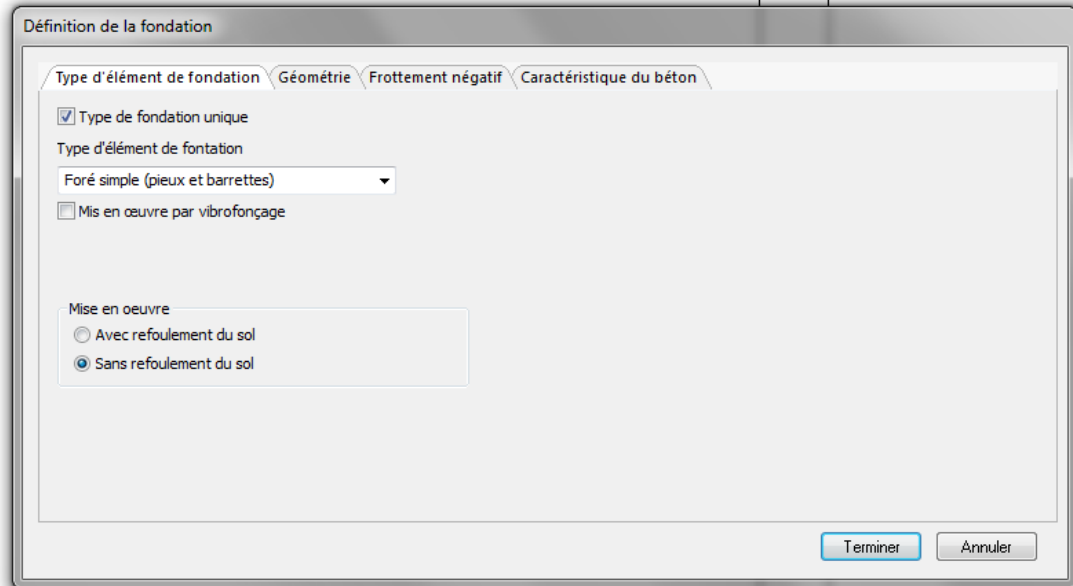
Imposer le facteur de portance

N°	Profondeur haute (m)	Profondeur basse (m)	q_s (kPa)	k_p
0	5	10	120	
1	15	20	200	0.9

2.3 Saisie de la fondation profonde

2.3.1 Généralités

La définition de la fondation profonde se fait en cliquant sur le bouton « Configuration » de la section « 3 : Fondation » du tableau de bord, ou dans le menu « Saisie des données → Fondation → Fondation profonde ».



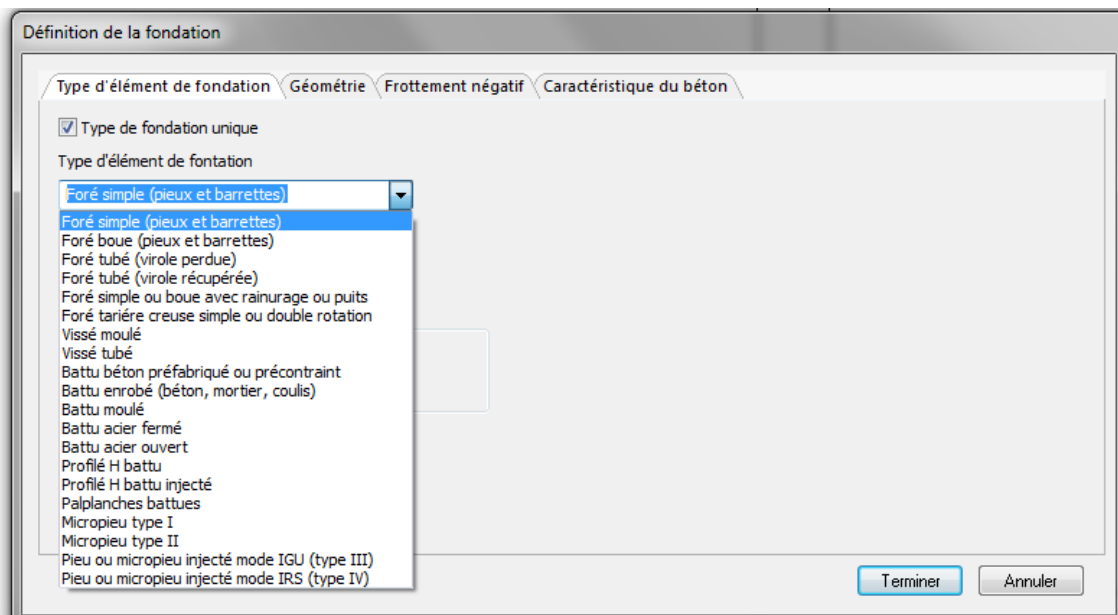
La fenêtre de saisie présente 4 onglets différents pour la définition complète de la fondation :

- Type d'élément de fondation,
- Géométrie,
- Frottement négatif,
- Caractéristiques du béton.

Les options de configurations peuvent varier suivant le référentiel de calcul choisi.

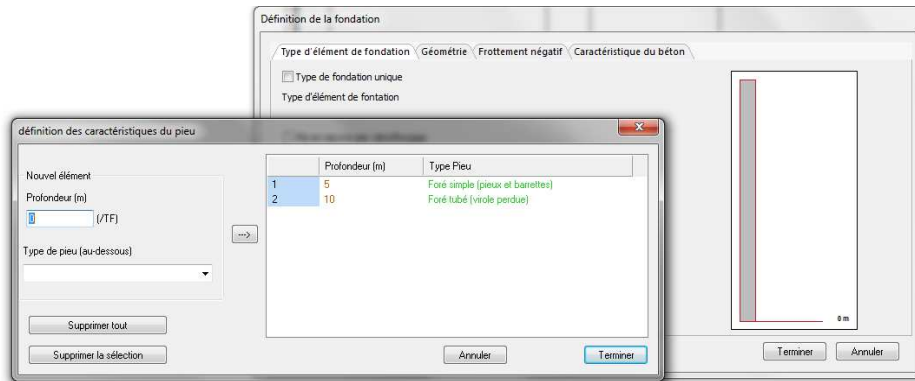
2.3.2 Type d'élément de fondation

Le premier onglet permet la définition du type de fondation. Choisissez la fondation adaptée dans le menu déroulant.



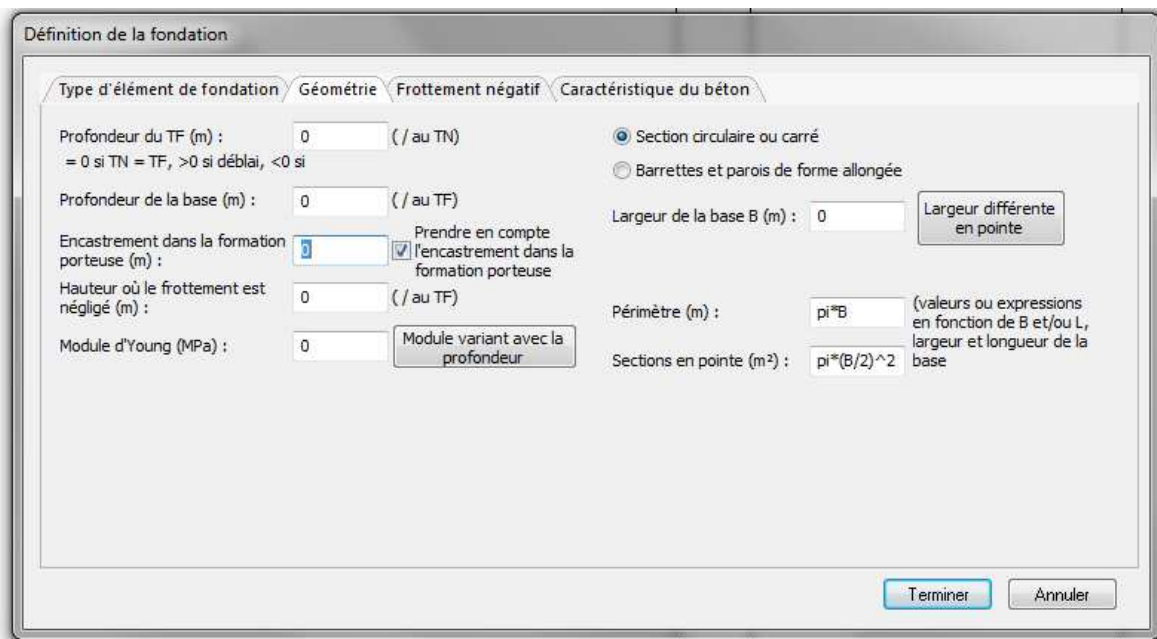
Il est également possible de considérer un changement du mode de réalisation sur la profondeur de la fondation en décochant la case « Type de fondation unique ».

Cliquez alors sur la représentation de la fondation pour accéder à la fenêtre de saisie ci-dessous. Le mode de réalisation est associé à une profondeur. Le bouton « → » permet d'ajouter un nouvel élément de fondation jusqu'à la profondeur saisie.



2.3.3 Géométrie

L'onglet géométrie permet de définir l'ensemble des caractéristiques géométriques de la fondation.



Dans les champs « Périmètre » et « Section en pointe », il est possible de saisir soit directement les valeurs appropriées, soit des expressions, fonctions de la largeur B et de la longueur L de la fondation. Les opérateurs et constantes reconnus sont : « * » (multiplication), « / » (division), « + » (addition), « - » (soustraction), « ^ » (puissance), « pi », « cos(...) » (cosinus), « sin(...) » (sinus), « tan(...) » (tangente)...

Cette méthode est d'ailleurs conseillée pour remplir ces deux champs, car elle permet de ne changer que la case « largeur de la base » si l'on désire modifier ses dimensions, le périmètre et la section étant par la suite automatiquement déterminés durant le calcul.

Les expressions données par défaut dans ces deux champs sont celles définissant l'aire et le périmètre d'une section circulaire.

D'autre part, pour les séries de calculs paramétrés par la largeur B de la base, il est impératif de renseigner ces champs par des expressions, pour que le périmètre et la section puissent être mis à jour à chaque étape du calcul.



GEOFOND vous offre également la possibilité de prendre en compte un remblai, pour cela il suffit d'entrer une valeur de profondeur de TF négative par rapport au TN. Dans ce cas le logiciel vous demandera de remplir la pression limite et le module pressiométrique dans le cas d'essais pressiométriques.

Profondeur du TF (m) :	<input type="text" value="-6"/> (/ au TN)	Diamètre du forage (m) :	<input type="text" value="0.8"/>	<input type="button" value="Largeur différente en pointe"/>	
= 0 si TN = TF, >0 si déblai, <0 si remblai					
Profondeur de la base (m) :	<input type="text" value="30"/> (/ au TF)	Périmètre (m) :	<input type="text" value="pi*(B/2)^2"/>	(valeurs ou expressions en fonction de B, la largeur de la base)	
Encastrement dans la formation porteuse (m) :	<input type="text" value="0"/>	<input type="button" value="Module variant avec la profondeur"/>	Sections en pointe (m²) :	<input type="text" value="pi*B"/>	
Hauteur où le frottement est négligé (m) :	<input type="text" value="0"/> (/ au TF)	Valeurs pour le remblai au niveau du pieu			
Module d'Young (MPa) :	<input type="text" value="18000"/>	PI Remblai (MPa) :	<input type="text" value="1"/>	E Remblai (MPa) :	<input type="text" value="10"/>

2.3.4 *Frottement négatif*

Le troisième onglet vous permet de paramétrer les frottements négatifs. Pour les prendre en compte il suffit de cocher la case « Prendre en compte les frottements négatifs ». Dans ce cas il faudra spécifier :

- la surcharge uniforme appliquée à la tête du pieu. Il n'est donc pas nécessaire de saisir un remblai au-dessus du pieu (cf. 2.3.3 ci-dessus) pour prendre en compte les frottements négatifs.
- la présence de nappe ou non.
- la profondeur de limite du calcul (celui-ci permet de prendre en compte le h2 qui correspond au niveau de tassement restant à acquérir par le sol après exécution de la fondation, celui-ci doit être calculé au préalable par l'utilisateur, il peut utiliser GEOFOND Module fondations superficielles).

Définition de la fondation

Type d'élément de fondation | Géométrie | **Frottement négatif** | Caractéristique du béton

Prendre en compte le frottement négatif

Surcharge uniforme p0 (kPa) :

Nappe (m) : (/ au TN)

Profondeur limite de calcul (m) : (/ au TF)

Frottement négatif sur un élément au sein d'un groupe



Vous devez définir les couches de sols ($k \cdot \tan \delta$ et poids volumique du sol γ) en cliquant sur le bouton « configuration des sols » permettant d'accéder à la fenêtre suivante :

Définition des sols ...

Sol n°

Epaisseur de la couche (m)

K tan delta

Gamma Sol (kN/m³)

>>

N° Sol	Epaisseur (m)	K Tan Delta	Gamma (kN/m ³)
0	6	0.45	22
1	5	0.2	20
2	5	0.15	20
3	30	0.25	21

Valeurs de K Tan Delta proposées :

		Pieux forés tubés	Pieux forés	Pieux battus
TOURBES	sols organiques	0,10	0,15	0,20
ARGILES	mous	0,10	0,15	0,20
LIMONS	fermes à durs	0,15	0,20	0,30
SABLES GRAVES	très lâches	0,35		
	lâches	0,45		
	autres	1,00		

Supprimer toutes la liste

Supprimer le sol sélectionné

Annuler

Terminer

Un tableau est donné pour vous guider dans le choix des valeurs à saisir.

Il est possible de calculer le frottement négatif dans le cas de où le pieu est au sein d'un groupe. Pour cela, il suffit de cocher la case « Frottement négatif sur un élément au sein d'un groupe ».

Frottement négatif

Prendre en compte le frottement négatif

Surcharge uniforme p_0 (kPa)

Nappe (m) : (/ au TN)

Profondeur limite de calcul (m) : (/ au TF)

Frottement négatif sur une élément au sein d'un groupe

File unique Plusieurs files

Entraxe des éléments d'une même file d (m) :

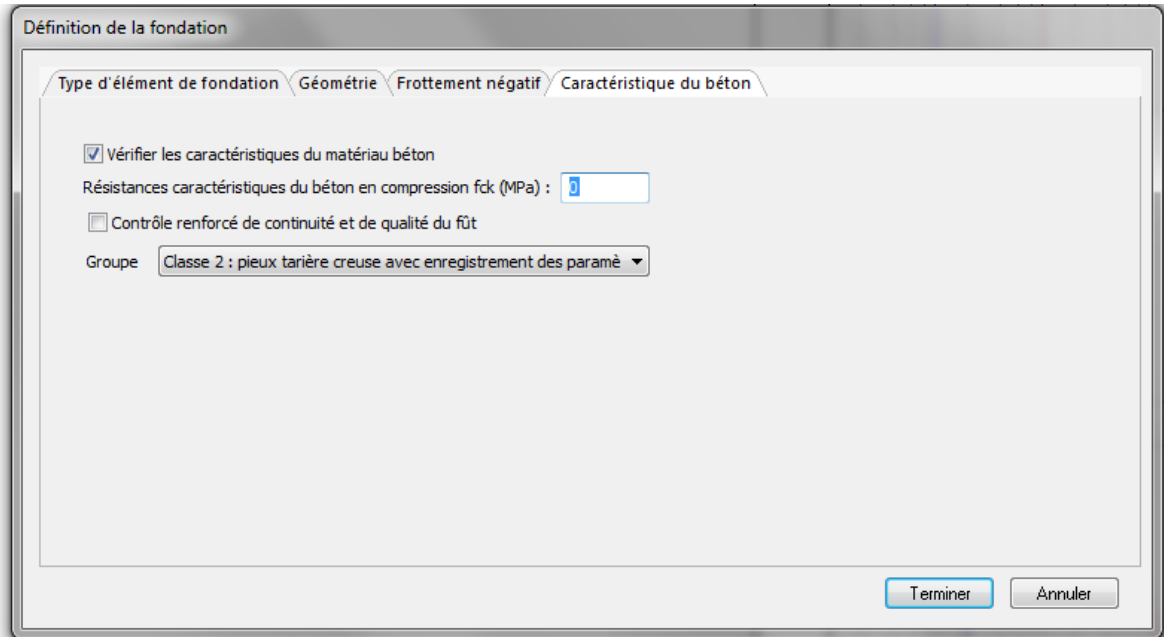
Entraxe des éléments de files voisines d' (m) :

Configuration des Sols

Puis de spécifier si le groupe se trouve sur plusieurs files ou sur une seule et les valeurs d'entraxes d et d'.

2.3.5 Caractéristiques du béton

La fenêtre de configuration de la fondation présente un dernier onglet permettant d'ajouter au calcul la vérification des caractéristiques du béton. Cette vérification s'effectue suivant le référentiel choisi précédemment, lors de la saisie du sondage.

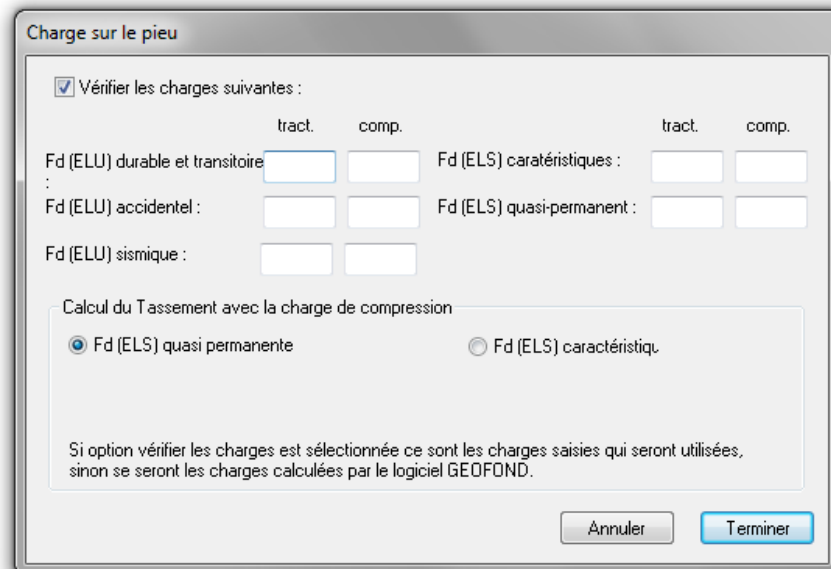


The screenshot shows the 'Définition de la fondation' dialog box with the 'Caractéristique du béton' tab selected. It contains the following elements:

- Tabbed interface: Type d'élément de fondation, Géométrie, Frottement négatif, **Caractéristique du béton**.
- Checkboxes:
 - Vérifier les caractéristiques du matériau béton
 - Contrôle renforcé de continuité et de qualité du fût
- Text input: Résistances caractéristiques du béton en compression f_{ck} (MPa) : 3
- Dropdown menu: Groupe: Classe 2 : pieux tarière creuse avec enregistrement des paramè
- Buttons: Terminer, Annuler

2.4 Saisie de la charge

La définition de la charge se fait en cliquant sur le bouton « Charge » de la section « 3 : Fondation » du tableau de bord, ou dans le menu « Saisie des données → Fondation → Charge ».



The screenshot shows the 'Charge sur le pieu' dialog box with the following elements:

- Checkboxes:
 - Vérifier les charges suivantes :
- Input fields for characteristic loads (ELU and ELS):

	tract.	comp.		tract.	comp.
Fd (ELU) durable et transitoire :			Fd (ELS) caractéristiques :		
Fd (ELU) accidentel :			Fd (ELS) quasi-permanent :		
Fd (ELU) sismique :					
- Section: Calcul du Tassement avec la charge de compression
 - Fd (ELS) quasi permanente
 - Fd (ELS) caractéristiq.
- Text: Si option vérifier les charges est sélectionnée ce sont les charges saisies qui seront utilisées, sinon se seront les charges calculées par le logiciel GEOFOND.
- Buttons: Annuler, Terminer

Il est possible soit de vérifier la capacité portante pour toutes les charges ou non en cochant ou décochant la case « Vérifier les charges suivante ».

En ne saisissant pas de données de charges, la vérification de capacité portante n'est pas réalisée (même si la case est cochée). Dans ce cas seule la valeur admissible sera calculée par le logiciel.

En choisissant le référentiel de la Norme NF P 94 262, le logiciel permet également de prendre en compte les charges sismiques.

Enfin il faut choisir pour quelle charge le tassement sera calculé.

Les charges sont à rentrer en MN.

2.5 Saisie du groupe de pieux.

La définition du groupe de pieux se fait en cliquant sur le bouton « configuration » de la section « 3 : Fondation » du tableau de bord, ou dans le menu « Saisie des données → Fondation → Groupe Pieux ». Vous accédez à la fenêtre de saisie suivante :

Vous devez entrer l'ensemble des informations permettant la définition de chaque pieu (dimension, position, type et caractéristiques).

Le facteur lambda est un facteur de forme permettant le calcul de la rigidité verticale d'un pieu (cf. considérations théoriques § Groupe de Pieux – 1.1).

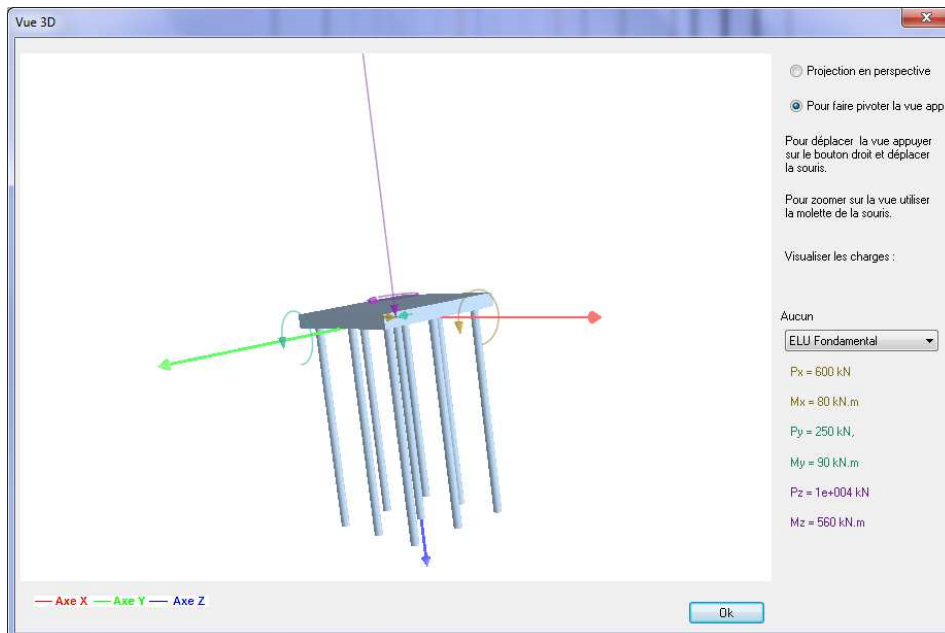
Les propriétés de la semelle peuvent être entrées mais n'interviennent pas dans le calcul.

Le pieu actuellement sélectionné apparaît avec son repère local en vert.
Il est possible de visualiser le groupe de pieux en vue 3D en cliquant sur le bouton Vue 3D.

La saisie des charges est disponible en cliquant sur « Fondation -> Charges » ou dans le menu « Saisie des données » puis « Charges ».

	Combinaisons état-limites de service			Combinaisons état-limites ultimes		
	Quasi permanentes	Fréquentes	Rare	Fondamentales	Accidentelle 1	Accidentelle 2
Force Px (kN)	100	150	290	600	850	850
Force Py (kN)	0	60	90	250	365	0
Force Pz (kN)	3500	3600	3850	10000	4800	5600
Moment Mx (kN.m)	0	2,6	30	80	70	80
Moment My (kN.m)	0	2,5	26	90	120	120
Moment Mz (kN.m)	350	490	490	560	560	650

Cette fenêtre permet la saisie des différentes combinaisons de charges (ELS ou ELU) et donne également la possibilité de visualiser en 3D le groupe de pieux, la semelle et les efforts.

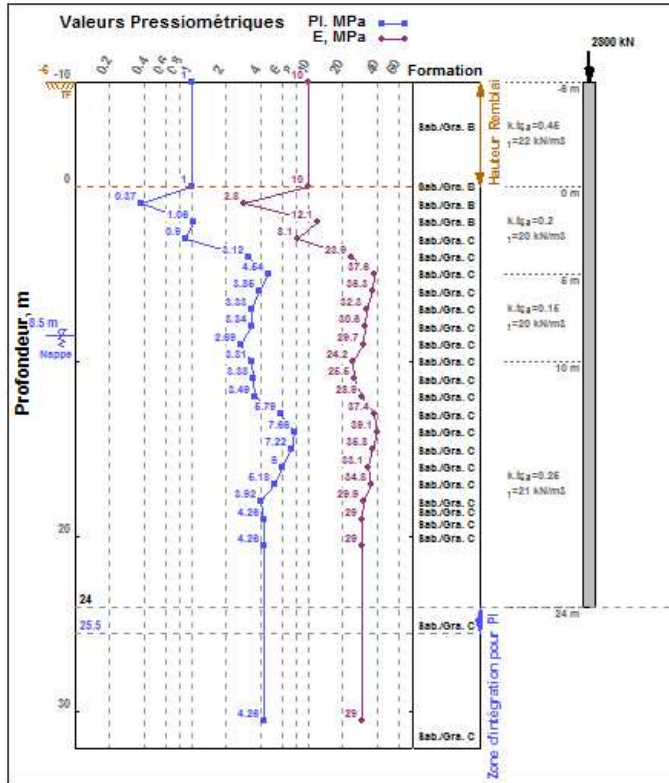


Il est possible de modifier cette vue à l'aide de la souris.
En déplaçant la souris en maintenant le bouton gauche de la souris, cela provoque une rotation autour des axes XYZ.
En déplaçant la souris en maintenant le bouton gauche de la souris, cela provoque une translation de la géométrie.
En utilisant la molette de la souris, cela provoque un zoom sur le centre de la géométrie.



3. Visualisation des résultats

Le calcul du tassement pour un élément de fondation profonde provoque l'apparition d'une feuille de résultats supplémentaire, présentant l'évolution de certains paramètres en fonction de la profondeur. Les exemples donnés ici sont calculés selon le fascicule 62 titre V.



Pieu
Type de pieu : Micropieu Type II
Module de Young E : 18000 MPa
Prof. Base : 24 m ; Largeur : 0.8 m
Périmètre : 2.51 m ; aire : 0.503 m²
Encastr. formation porteuse : 0 m
mise en oeuvre sans refoulement du sol
Forage à sec, tube non louvoyé
Réalésage et rainurage en fin de forage

Charge :

	Min (MN)	Max (MN)
Q(ELS) Quasi-Permanent :		2.8
Q(ELS) Rare :		
Q(ELU) Fondamental :		
Q(ELU) Accidentel :		

Frottement négatifs :
Surcharge p0 : 40 kPa
Profondeur de la nappe : 8.5 m / TN
Profondeur limite de calcul (h2) : 10 m / TF
Pieu au sein d'un groupe de plusieurs files
entraxe des éléments d'une même file d : 1 m
entraxe des éléments de files voisines d' : 1.5 m

Fichier : Pieux.Pressio20.06.1_fn_gp.gfd

Résultats de calcul : Capacité portante
Par la méthode du Fascicule 62
rp = 1
rs = 1
Qsu = 7.9 MN
Ple = 4.26 MPa
kp = 1.2
qu = 5.11 MPa
Qpu = 2.57 MN
Qc = 6.81 MN
Qu = 10.5 MN
Qtc = 5.53 MN
Qtu = 7.9 MN
Ann. C.2.5
Art. E.2.2
Ann. C.3.2
Ann. C.3.2
Ann. C.2.6
Ann. C.2.3
Ann. C.2.2
Ann. C.2.3
Ann. C.2.2

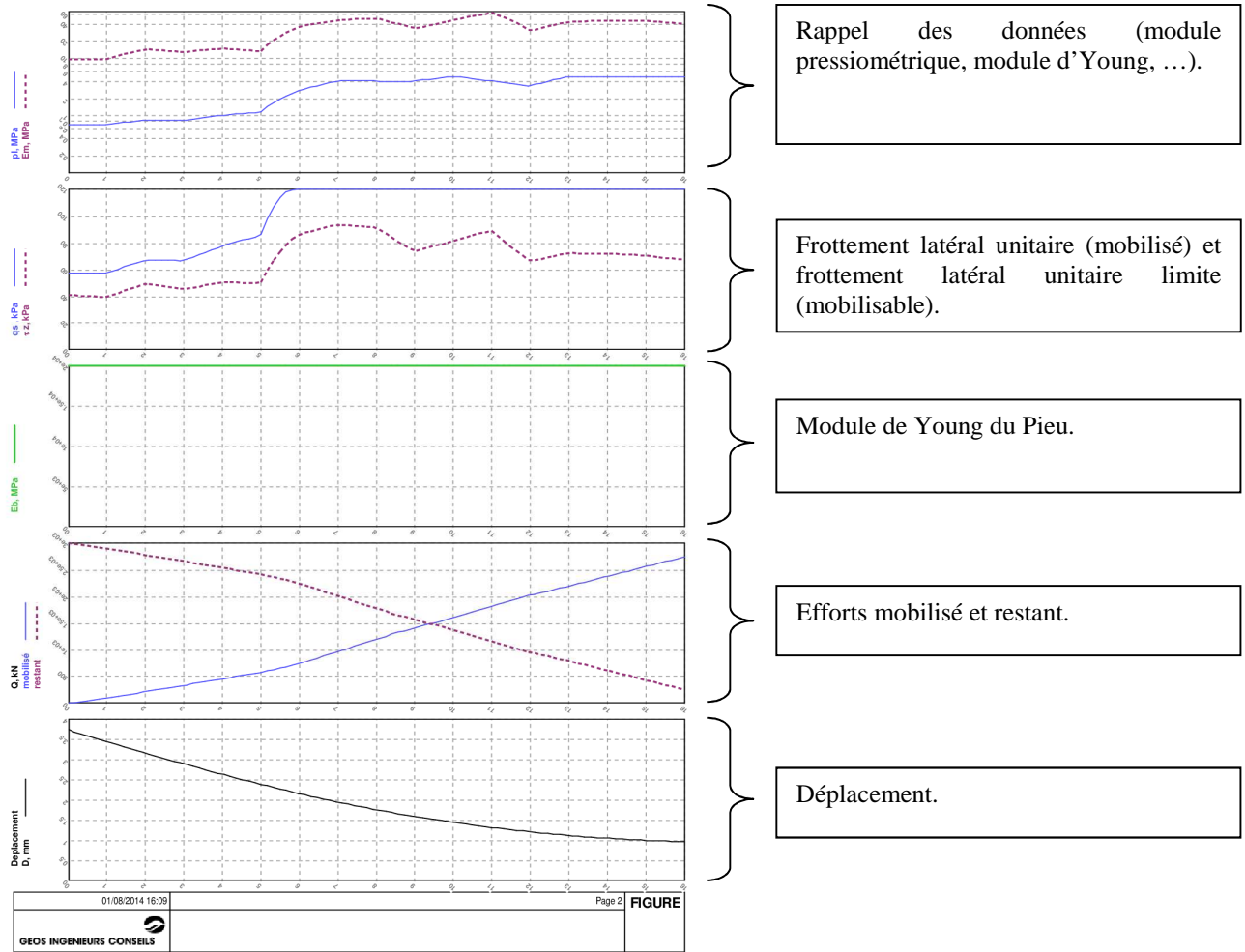
Qmax(ELU Fondamental) = 7.48 MN
Qmax(ELU Accidentel) = 8.72 MN
Qmax(ELS Rare) = 6.19 MN
Qmax(ELS Quasi Permanent) = 4.87 MN > 2.8 MN : Cond. vérifiée

Qmin(ELU Fondamental) = -5.64 MN
Qmin(ELU Accidentel) = -6.58 MN
Qmin(ELS Rare) = -5.03 MN
Qmin(ELS Quasi Permanent) = -3.95 MN

Résultats de calcul : Tassement
Sous une contrainte qref = 5.57042 MPa
Par la méthode de Frank & Zhao
ql(24) = 5.11e+003 kPa
qp(24) = 62 kPa
q'u(24) = 31.2 kN
Tassement D = 3.92 mm

Résultats de calcul : Frottement négatif
Sur un élément isolé
Fn(inf) = 1.12e+003 kN
h1 = 15.9 m et h2 = 10 m (défini dans les données) /TF

Sur un élément au sein d'un groupe
Fn(b) = 998 kN avec b=0.691 m et Fn(b) bornée = 60 kN
h1 = 12.9 m et h2 = 10 m (défini dans les données) /TF
Frottement négatif sur les éléments d'angle
Fna = 7/12 * Fn(b) + 5/12 * Fn(inf) = 503 kN
Frottement négatif sur les éléments de la frontière du groupe
Fne = 5/6 * Fn(b) + 1/6 * Fn(inf) = 237 kN
Frottement négatif sur les éléments intérieurs au groupe
Fni = Fn(b) = 60 kN



Les résultats de calcul détaillés sont présentés sur des feuilles supplémentaires. Tous les résultats de calcul intermédiaires y figurent, et les formules utilisées sont rappelées pour la capacité portante comme pour les tassements (cf. feuille ci-après).





Résultats détaillés : capacité portante

Par la méthode du Fascicule 62

$$Q_{su} = \int_0^D \alpha_s \cdot P_s \cdot Q_s(z) \cdot dz = 7.9 \text{ MN}$$

B = 0.8 m ; h = 0 m

a = max(0.5 ; B/2) = 0.5 m ; b = min(a ; h) = 0 m

$$P_{le}^* = 1 / (3 \cdot a + b) \int_{D-b}^{D+3a} P_{le}^*(z) \cdot dz = 4.26 \text{ MPa}$$

kp = 1.2 (d'après tableau)

qu = Kp · Ple* = 5.11

Qpu = αp · A · qu = 2.57 MN

Qu = Qpu + Qsu = 10.5 MN

Qc = 0.5 Qpu + 0.7 Qsu = 6.81 MN

Qtu = Qsu = 7.9 MN

Qtc = 0.7 Qsu = 5.53 MN

Qmax(ELU Fondamental) = Qu / 1.4 = 7.48 MN

Qmax(ELU Accidentel) = Qc / 1.4 = 8.72 MN

Qmax(ELS Rare) = Qc / 1.1 = 6.19 MN

Qmax(ELS QuasiPermanent) = Qc / 1.4 = 4.87 MN

Qmin(ELU Fondamental) = - Qtu / 1.4 = -5.64 MN

Qmin(ELU Accidentel) = - Qtu / 1.3 = -6.58 MN

Qmin(ELS Rare) = - Qtc / 1.4 = -5.03 MN

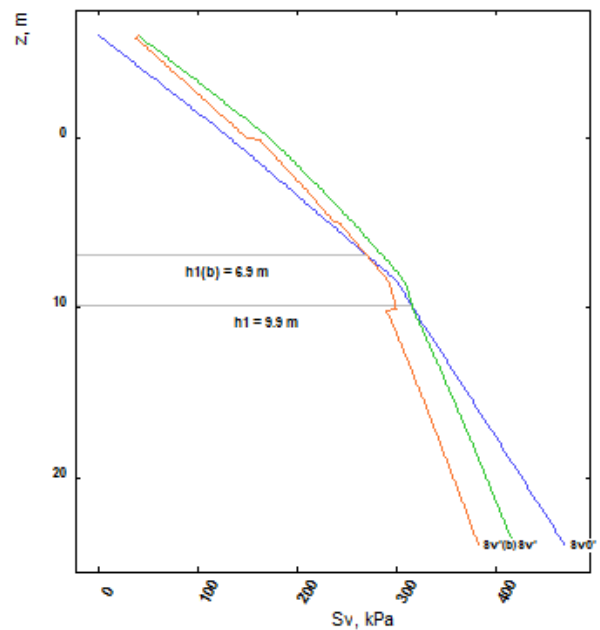
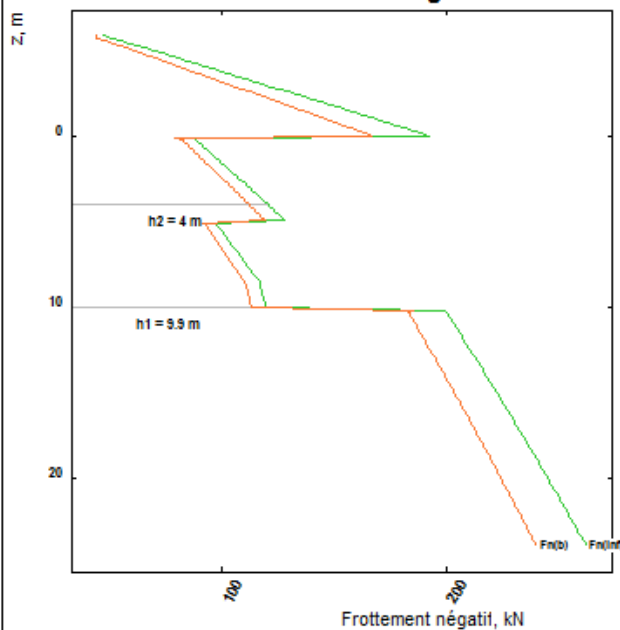
Qmin(ELS QuasiPermanent) = 0 MN

Résultats détaillés : tassement

Par la méthode de Frank et Zhao

Sf = 3.92 mm

Résultats détaillés : Frottement Négatif



31/10/2008 15:43	Pieux.Pressio20.06.1	page 3	ANNEXE
Geos Ingénieurs Conseils SA	Pieux injecté haute pression - largeur 0.6 Essais au pressiomètre		H6





GEOFOND FONDATIONS PROFONDES – COLONNES BALLASTEES ET INCLUSIONS RIGIDES

1. Introduction

Il est à présent possible dans GEOFOND-MODULE Fondations Profondes de calculer la capacité portante et le tassement de sol renforcés par des colonnes ballastées, et ce par différentes méthodes, telles que celles de PRIEBE, COPREC-SOFFONS, FHWA, ... Le calcul du tassement de sols renforcés par des inclusions rigides a également été ajouté.

Seuls les dimensionnements à partir des essais pressiométriques sont pour le moment disponibles pour ce type de calculs.

Il est toujours possible, tout comme dans GEOFOND-MODULE Fondations Superficielles, de réaliser des calculs paramétriques : tassement pour différentes mailles, etc...

Une approche des capacités portantes et des tassements par les méthodes probabilistes est également possible. Le logiciel fournit alors un résultat non pas sous forme d'une valeur déterministe, mais sous forme d'une distribution, afin de pouvoir retenir des valeurs de capacités portantes et de tassements en fonction d'une probabilité de dépassement.



2. Saisie des données

2.1 Choix du module

La saisie d'un problème de colonnes ballastées impose tout d'abord le passage à GEOFOND-MODULE Fondations Profondes.

Sur le tableau de bord, il faut ensuite obligatoirement sélectionner comme « Type d'essai » le « Pressiomètre », puis comme « Fondation » les « Colonnes ballastées » ou « Inclusions rigides ».

Méthodes de calcul	
Capacité portante	Tassement
Fascicule 62	Frank & Zhao

2.2 Saisie des colonnes ballastées

2.2.1 Les sols

Il est conseillé de saisir préalablement les valeurs pressiométriques. Celles-ci sont saisies de la même manière que pour les fondations profondes ou superficielles classiques, si ce n'est que l'utilisateur a deux colonnes supplémentaires à remplir :

- le poids volumique du sol,
- le coefficient Rem, qui est le coefficient d'amélioration des caractéristiques du sol en place dû à la réalisation des colonnes ballastées par refoulement (valeur décimale, un rapport de 1 indique que le sol n'évolue pas par l'ajout des colonnes ballastées, un rapport de 1.5 indique que le sol est amélioré de 50%).



Ces valeurs doivent être rentrées dans la fenêtre suivante :

Définition des valeurs pressiométriques

Nouvel élément

Profondeur (m)

Pression limite Pl (MPa)

Module E (MPa)

Alpha

Gamma (kN/m³)

Rem

Profondeur (m)	pl (MPa)	E (MPa)	Alpha	Gamma (kN/...	Rem
Aucun objet dans la vue					

Importer Fichier ...

Supprimer la sélection

Supprimer tout

Annuler

Terminer

Paramètre alpha identique pour tous les sols.

2.2.2 La fondation

La définition des colonnes ballastées se fait en cliquant sur le bouton « configuration » de la section « 3 : Fondation » du tableau de bord.

Colonnes ballastées

Diamètre (m) : 0 Variation en fonction de la profondeur

Longueur de la colonne (m) : 0

Encastrement fondation (m) : 0 (/ au TF)

Profondeur TF (m) : 0 (/ au TN)

Profondeur du substratum (m) : 0 (/ au TN)

Propriété de la Colonne

Module oedométrique (MPa) : 90 Module de Young (MPa) : 60

Coefficient de Poisson : 0.33333

Angle interne intergranulaire (*): 38

Pl* (MPa) : 0 coefficient rhéologique : 0

poids volumique matériau en place, saturé (kN/m³) : 21

Colonnes sous semelle Colonnes sous radier

Largeur (m) : 0

Longueur (m) : 0

nb. Colonnes : 1

Type d'implantation :

Colonne isolée Maille triangulaire

Maille hexagonale Maille carrée

Taille de la maille (m) : 0

Type de sol

Argiles et limons A, craies A

Argiles et limons B

Argiles C

Sables A

Sables et graves B

Sables et graves C

Craies B et C

Marnes, marno-calcaires, roches altérées

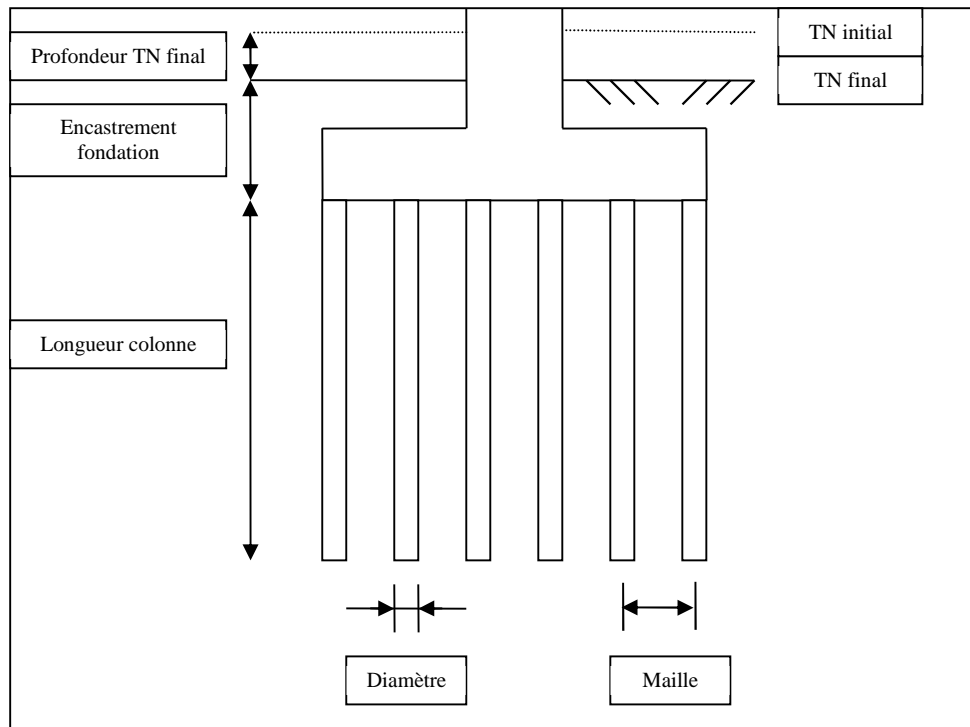
Voir la classification

Annuler

Terminer



Les différentes dimensions demandées figurent sur le schéma ci-dessous :



Cocher la case « Variation en fonction de la profondeur » provoque l'apparition d'une boîte de dialogue, où l'utilisateur doit saisir le diamètre de la colonne aux différentes profondeurs définies dans les essais pressiométriques (d'où l'importance de saisir le sondage avant les données concernant les colonnes ballastées).

Profondeur ...	PI (MPa)	E (MPa)	Gamma (kN...	Diamètre (m)
0	1	100	19	0
12	1.5	250	20	0
25	2	300	20	0

Terminer

2.2.3 Charge

Si le type de colonnes choisi est « Colonnes sous semelle », la fenêtre apparaissant lorsque l'utilisateur appuie sur le bouton « Charge » du tableau de bord est celle figurant ci-dessous. Si le champ « Contrainte » est saisi, le champ « Valeur de la charge » est mis à jour automatiquement, en fonction des dimensions de la semelle. De même, si le champ « Valeur de la charge » est saisi, le champ « Contrainte » est mis à jour. Si le type de colonnes choisi est « Colonnes sous radier », seul le champ « Contrainte » est disponible.

Charge sur colonnes ballastées

Contrainte (kPa) : 0

Valeur de la charge (kN) : 0

Annuler Terminer



2.3 Saisie des inclusions rigides.

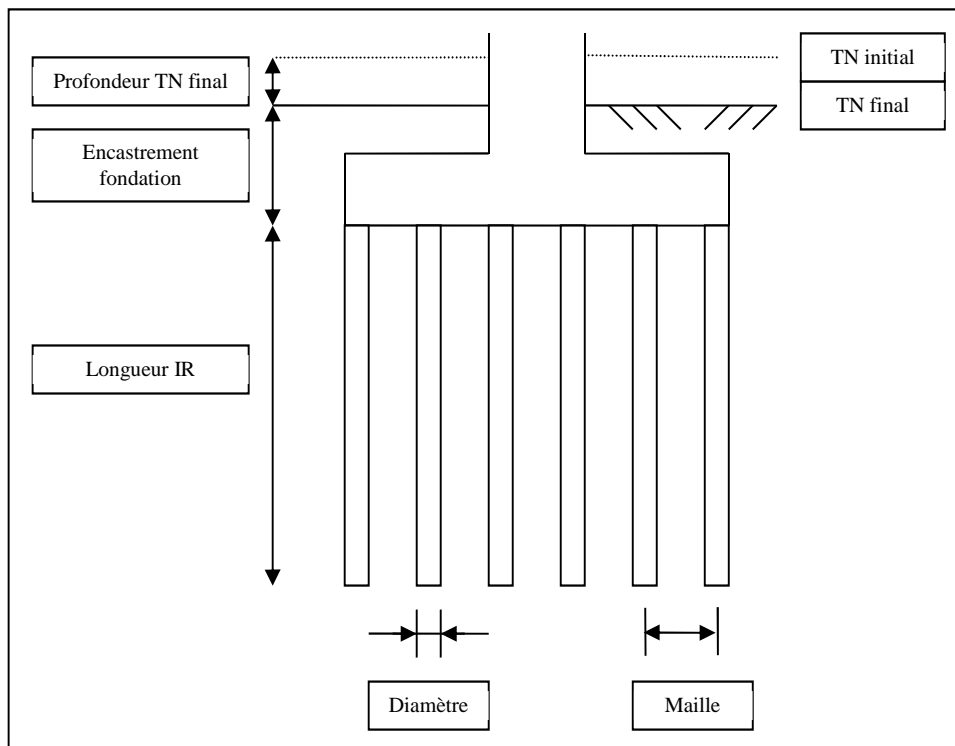
Comme pour les colonnes ballastées, le coefficient Rem est demandé (coefficient d'amélioration des caractéristiques du sol en place dû à la réalisation des inclusions rigides).

La définition des inclusions rigides se fait en cliquant sur le bouton « configuration » de la section « 3 : Fondation » du tableau de bord.

Diamètre (m) :	0.6	
Longueur de l'inclusion dans la couche compressible (m) :	12	
Encastrement fondation (m) :	0	(/ au TF)
Profondeur (m) :	0	(/ au TF)
Contrainte maximale en compression (MPa) :	2	
Taille de la maille (m) :	2	
Contrainte appliquée (kPa) :	120	

Annuler Terminer

Les différentes dimensions demandées figurent sur le schéma ci-dessous :





CONSIDERATIONS THEORIQUES

SEMELLES

1. Capacité portante : Essai pressiométrique

1.1 Fascicule 62 Titre V

1.1.1 Calcul de la contrainte de référence q'_{ref}

$$q'_{ref} = \frac{(3 \cdot q_{max} + q_{min})}{4}$$

Avec

$$q_{max} = \frac{Q_v}{B \cdot L} \cdot \left(1 + 6 \cdot \frac{e}{B}\right) \quad q_{min} = \frac{Q_v}{B \cdot L} \cdot \left(1 - 6 \cdot \frac{e}{B}\right)$$

Où :

- Q_v est la charge verticale appliquée à la fondation
- e est l'excentricité de la charge par rapport à l'axe central de la fondation

Si $e > B/6$

$$q_{max} = \frac{4 \cdot Q_v}{3 \cdot B' \cdot L} \quad q_{min} = 0 \quad \text{Avec } B' = \frac{3 \cdot (B - 2 \cdot e)}{2}$$

1.1.2 Calcul de la contrainte ultime σ_u :

$$\sigma_u = \frac{(q'_u + q'_0)}{\gamma_q} \cdot i_{\delta\beta} + q'_0$$

Où :

- q'_0 est la contrainte effective après travaux au niveau de la base de la fondation, en faisant abstraction de celle-ci
- q'_u la contrainte de rupture du sol
- γ_q le facteur de sécurité (2 à l'ELU, 3 à l'ELS).
- $i_{\delta\beta}$ un coefficient minorateur prenant en compte la pente du talus et l'inclinaison de la charge

1.1.3 Calcul de la contrainte effective q'_0 :

$$q'_0 = D \cdot \gamma - z_w \cdot \gamma_w$$

Où :

- D est la hauteur d'encastrement
- γ le poids volumique du sol au-dessus de la fondation
- z_w la hauteur d'eau au-dessus de la base de la fondation
- γ_w le poids volumique de l'eau

1.1.4 Calcul de la contrainte de rupture du sol q'_u :

$$q'_u = k_p \cdot p_{le}^* - q'_0$$

Où :

- p_{le}^* est la pression limite nette équivalente
- k_p est le facteur de portance



1.1.5 Calcul de la pression limite p_{le}^* :

$$\log(p_{le}^*) = \frac{1}{1,5 \cdot B} \cdot \int_D^{D+1,5 \cdot B} \log(p_l^*(z)) \cdot dz$$

Où :

- B est la largeur de la base de la fondation
- $P_l^*(z)$ les valeurs mesurées, interpolées linéairement sur une représentation logarithmique

1.1.6 Facteur de portance k_p :

<u>TYPES DE SOL</u>	<u>EXPRESSION DE k_p</u>
Argiles et limons A, craies A	$0,8 \cdot \left[1 + 0,25 \cdot \left(0,6 + 0,4 \cdot \frac{B}{L} \right) \cdot \frac{D_e}{B} \right]$
Argiles et limons B	$0,8 \cdot \left[1 + 0,35 \cdot \left(0,6 + 0,4 \cdot \frac{B}{L} \right) \cdot \frac{D_e}{B} \right]$
Argiles C	$0,8 \cdot \left[1 + 0,50 \cdot \left(0,6 + 0,4 \cdot \frac{B}{L} \right) \cdot \frac{D_e}{B} \right]$
Sables A	$\left[1 + 0,35 \cdot \left(0,6 + 0,4 \cdot \frac{B}{L} \right) \cdot \frac{D_e}{B} \right]$
Sables et graves B	$\left[1 + 0,50 \cdot \left(0,6 + 0,4 \cdot \frac{B}{L} \right) \cdot \frac{D_e}{B} \right]$
Sables et graves C	$\left[1 + 0,80 \cdot \left(0,6 + 0,4 \cdot \frac{B}{L} \right) \cdot \frac{D_e}{B} \right]$
Craies B et C	$1,3 \cdot \left[1 + 0,27 \cdot \left(0,6 + 0,4 \cdot \frac{B}{L} \right) \cdot \frac{D_e}{B} \right]$
Marnes, marno-calcaires, roches altérées	$\left[1 + 0,27 \cdot \left(0,6 + 0,4 \cdot \frac{B}{L} \right) \cdot \frac{D_e}{B} \right]$

1.1.7 Calcul de l'encastrement équivalent D_e :

$$D_e = \frac{1}{p_{le}^*} \cdot \int_d^D (p_l^*(z)) \cdot dz$$

Dans cette formule, d vaut en général 0, sauf si on souhaite ne pas tenir compte de couches de sol superficielles, de mauvaises caractéristiques.

1.1.8 Calcul du coefficient minorateur $i_{\delta\beta}$:

1.1.8.1 Pour les sols cohérents :

$$i_{\delta} = \left(1 - \frac{\delta}{90} \right)^2$$

Avec δ inclinaison de la charge.

L'annexe F1 paragraphe 3 du fascicule 62 n'évoque pas la prise en compte de l'influence du talus, dans le cas de sols cohérents.



GEOFOND utilise l'IN4470 de la SNCF où :

$$i_{\beta} = \left(1 - \frac{\theta_1}{90}\right)^2 \text{ avec } \theta_1 = 90 \cdot \left(1 - \sqrt{1 - c_{f(c)} \cdot \frac{\beta}{180} \cdot \left[\max\left\{\left(1 - \frac{d}{8 \cdot B \cdot c_{f(c)}}\right); 0\right\}\right]^2}\right)$$

$$c_{f(c)} = \max\left\{\left(1 - 0,4 \cdot \frac{B}{L}\right); 0,6\right\}$$

Où :

- d la distance entre l'arête aval de la fondation et le talus
- β l'angle de la pente par rapport à l'horizontale
- B la largeur de la fondation
- L la longueur de la fondation

Prise en compte simultanée du talus et de l'inclinaison de la charge

Si δ est « favorable » (inclinaison de la charge vers l'intérieur du talus)

$$i_{\delta\beta} = \max\{i_{\delta}; i_{\beta}\}$$

Si δ est « défavorable » (inclinaison de la charge vers l'extérieur du talus)

$$i_{\delta\beta} = i_{\delta} \cdot i_{\beta}$$

1.1.8.2 Pour les sols frottants :

Inclinaison de la charge vers l'extérieur du talus

$$i_{\delta\beta} = \Phi_2(\beta' + \delta)$$

Inclinaison de la charge vers l'intérieur du talus

$$i_{\delta\beta} = \Phi_2(|\beta' - \delta|)$$

Avec :

$$\beta' = 45 \cdot \left(1 - \sqrt{1 - 0,9 \cdot \tan \beta \cdot (2 - \tan \beta) \cdot \left[\max\left\{\left(1 - \frac{d_t}{2 \cdot B}\right); 0\right\}\right]^2}\right)$$

$$\Phi_2(x) = \left(1 - \frac{x}{90}\right)^2 \cdot \left(1 - e^{-\frac{D_e}{B}}\right) + \left[\max\left\{\left(1 - \frac{x}{45}\right); 0\right\}\right]^2 \cdot e^{-\frac{D_e}{B}}$$

Où :

- d_t la distance entre l'arête aval de la fondation et le talus
- β l'angle de la pente par rapport à l'horizontale

1.2 DTU 13.12

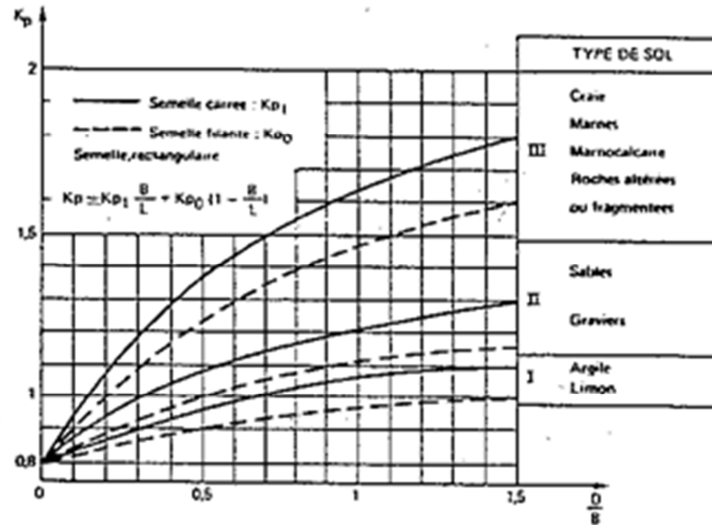
Les seules différences avec la méthode du Fascicule 62 exposée au paragraphe précédent concernent le calcul de la pression limite nette équivalente p_{le}^* , celui du facteur de portance k_p , et le coefficient minorateur $i_{\delta\beta}$.

La pression limite nette équivalente p_{le}^* est donnée par la formule suivante :

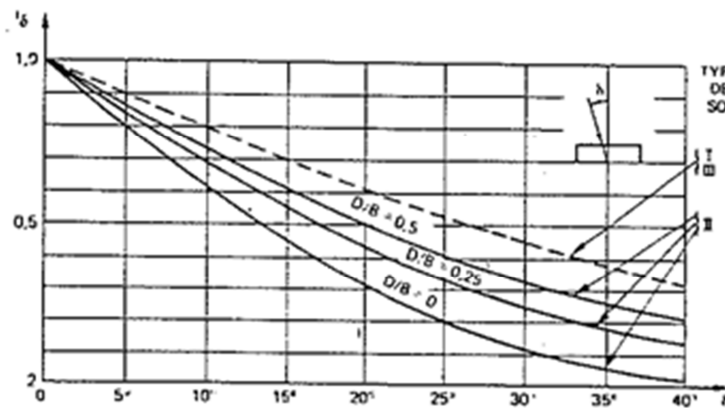
$$p_{le}^* = \frac{1}{1,5 \cdot B} \int_D^{D+1,5 \cdot B} p_l^*(z) \cdot dz$$

On écrête dans cette expression la courbe $p_l^*(z)$ à 1.5 fois sa valeur minimale sur l'intervalle considéré.

Le facteur de portance k_p est déterminé par l'abaque suivant :



Le coefficient minorateur i_s est déterminé par l'abaque suivant :



1.3 NF P 94-261 (Eurocode 7):

1.3.1 Vérification :

$$V_d \leq \frac{A' \cdot q_{net}}{\gamma_{R,v} \cdot \gamma_{R;d,v}} + A \cdot q_0$$

Avec :

- V_d descente de charge verticale à la base de la fondation (ELU fondamental et/ou accidentel)
- A' surface effective de la semelle (fonction de la géométrie de la fondation : cf. *NF P 94-261 Annexe Q*)
- A surface réelle de la semelle
- q_0 contrainte verticale totale à la base de la fondation après travaux en faisant abstraction de celle-ci.
- $\gamma_{R,v}$ facteur partiel de portance = 1.4 aux ELU fondamental et sismique
= 1.2 ELU accidentel
= 2.3 ELS
- q_{net} contrainte associée à la résistance nette du terrain
- $\gamma_{R;d,v}$ facteur partiel de modèle lié à la méthode ($\gamma_{R;d,v} = 1.2$ NF P 94-261 §D.1(2))



1.3.2 Calcul de la contrainte associée à la résistance nette du terrain :

$$q_{net} = k_p \cdot p_{le}^* \cdot i_\delta \cdot i_\beta$$

1.3.3 Calcul de la pression limite p_{le}^* :

$$\log(p_{le}^*) = \frac{1}{h_r} \cdot \int_D^{D+h_r} \log(p_l^*(z)) \cdot dz$$

Avec $p_l^*(z)$ les valeurs mesurées (cf. F62-V).

1.3.4 Détermination de h_r :

À l'ELS :

$$h_r = 1,5 \cdot B$$

À l'ELU : en fonction de la géométrie de la fondation et de l'excentricité de la charge

Pour les fondations filantes de largeur B :

$$h_r = 1,5 \cdot B \text{ si } 1 - \frac{2 \cdot e}{B} \geq \frac{1}{2}$$

$$h_r = 3 \cdot B - 6 \cdot e \text{ si } 1 - \frac{2 \cdot e}{B} < \frac{1}{2}$$

Pour les fondations circulaires de diamètre B :

$$h_r = 1,5 \cdot B \text{ si } 1 - \frac{2 \cdot e}{B} \geq \frac{9}{16}$$

$$h_r = \frac{8 \cdot B}{3} - \frac{16 \cdot e}{3} \text{ si } 1 - \frac{2 \cdot e}{B} < \frac{9}{16}$$

Pour les fondations rectangulaires de largeur B et de longueur L :

$$h_r = 1,5 \cdot B \text{ si } \left(1 - \frac{2 \cdot e_L}{B}\right) \cdot \left(1 - \frac{2 \cdot e_B}{B}\right) \geq \frac{1}{2}$$

$$h_r = \min\{3 \cdot B - 6 \cdot e_B; 3 \cdot B - 6 \cdot e_L\} \cdot e \text{ si } \left(1 - \frac{2 \cdot e_L}{B}\right) \cdot \left(1 - \frac{2 \cdot e_B}{B}\right) < \frac{1}{2}$$

1.3.5 Calcul de k_p :

Pour les fondations filantes de largeur $B/L = 0$ ou carrées $B/L = 1$:

$$k_p = k_{p0} + \left(a + b \frac{D_e}{B}\right) \cdot \left(1 - e^{-c \frac{D_e}{B}}\right)$$

Avec a , b , c et k_{p0} définis dans le tableau ci-après.

Pour les fondations rectangulaires

$$k_{p;\frac{B}{L}} = k_{p;\frac{B}{L}=0} \cdot \left(1 - \frac{B}{L}\right) + k_{p;\frac{B}{L}=1} \cdot \left(\frac{B}{L}\right)$$



Catégorie de sol		Expression de k_p			
		a	b	c	k_{p0}
Argiles et limons	Semelle filante	0,2	0,02	1,3	0,8
	Semelle carrée	0,3	0,02	1,5	0,8
Sables et graves	Semelle filante	0,3	0,05	2	1
	Semelle carrée	0,22	0,18	5	1
Craies	Semelle filante	0,28	0,22	2,8	0,8
	Semelle carrée	0,35	0,31	3	0,8
Marnes et Marno-calcaires ; Roches altérées	Semelle filante	0,2	0,2	3	0,8
	Semelle carrée	0,2	0,3	3	0,8

1.3.6 Calcul de D_e :

$$D_e = \frac{1}{p_{ie}^*} \int_d^D p_i^*(z) \cdot dz$$

Avec $d = 0$ sauf couches très mauvaises en surface, sauf si on souhaite ne pas tenir compte de couches de sol superficielles, de mauvaises caractéristiques.

1.3.7 Calcul du coefficient minorateur $i_{\beta\delta}$:

1.3.7.1 Sol purement cohérent (comportement non drainé (=argiles) ; $\phi=0$)

$$i_{\delta;c;D_e/B} = \left(1 - \frac{\delta_d}{90}\right)^2$$

Si $d < 8.B$

$$i_{\beta;c;D_e/B} = 1 - \frac{\beta}{180} \cdot \left(1 - \frac{d}{8B}\right)^2$$

Sinon

$$i_{\beta;c;D_e/B} = 1$$

1.3.7.2 Sol purement frottant (comportement drainé (= sables) ; $c'=0$)

Si $\delta_d < 45^\circ$

$$i_{\delta;f;D_e/B} = \left(1 - \frac{\delta_d}{90}\right)^2 - \frac{\delta_d}{90} \left(2 - 3 \frac{\delta_d}{90}\right) \cdot e^{-\frac{D_e}{B}}$$

Si $\delta_d > 45^\circ$

$$i_{\delta;f;D_e/B} = \left(1 - \frac{\delta_d}{90}\right)^2 - \left(1 - \frac{\delta_d}{90}\right)^2 \cdot e^{-\frac{D_e}{B}}$$



$$\text{Si } d + \frac{D_e}{\tan \beta} < 8B$$

$$i_{\beta;f;D_e/B} = 1 - 0.9 \cdot \tan \beta \cdot (2 - \tan \beta) \cdot \left(1 - \frac{d + \frac{D_e}{\tan \beta}}{8B}\right)^2$$

Sinon

$$i_{\beta;f;D_e/B} = 1$$

1.3.7.3 Sol frottant cohérent (sols intermédiaires, marnes, calcaires, roches altérées) ; $c' > 0$; $\phi' > 0$

$$i_{\delta;cf;D_e/B} = i_{\delta;f;D_e/B} + (i_{\delta;c;D_e/B} - i_{\delta;f;D_e/B}) \cdot \left(1 - e^{-\frac{\alpha c}{\gamma \cdot B \cdot \tan \phi}}\right)$$

- γ = poids volumique
- c = cohésion
- ϕ = angle de frottement
- $\alpha = 0.6$

$$i_{\beta;cf;\frac{D_e}{B}} = i_{\beta;f;\frac{D_e}{B}} + \left(i_{\beta;c;\frac{D_e}{B}} - i_{\beta;f;\frac{D_e}{B}}\right) \cdot \left(1 - e^{-\frac{\alpha c}{\gamma \cdot B \cdot \tan \phi}}\right)$$

- γ = poids volumique
- c = cohésion
- ϕ = angle de frottement
- $\alpha = 0.6$

1.3.7.4 Prise en compte simultanée de i_δ et de i_β :

Si l'inclinaison de l'effort est vers l'extérieur du talus, alors :

$$q_{\text{net}} = k_p \cdot p_{1e}^* \cdot i_\delta \cdot i_\beta$$

Si l'inclinaison de l'effort est vers l'intérieur du talus, alors :

$$q_{\text{net}} = k_p \cdot p_{1e}^* \cdot i_{\delta\beta}$$

Avec :

$$i_{\delta\beta} = \min\left(\frac{i_\beta}{i_\delta}; i_\delta\right)$$



2. Tassement : Essai pressiométrique

2.1 Fascicule 62 Titre V

Le tassement final S_f est calculé de la façon suivante :

$$S_f = S_c + S_d$$

$$S_c = \frac{\alpha}{9 \cdot E_c} \cdot (q'_{ref} - \sigma'_{v0}) \cdot \lambda_c \cdot B$$

$$S_d = \frac{2}{9 \cdot E_d} \cdot (q'_{ref} - \sigma'_{v0}) \cdot 0,6 \cdot \left(\lambda_d \cdot \frac{B}{0,6} \right)^\alpha$$

Où :

- α est le coefficient rhéologique, dépendant de la nature du sol
- σ'_{v0} est la contrainte verticale effective avant travaux
- λ_c et λ_d sont des coefficients de forme (voir tableau ci-dessous) :

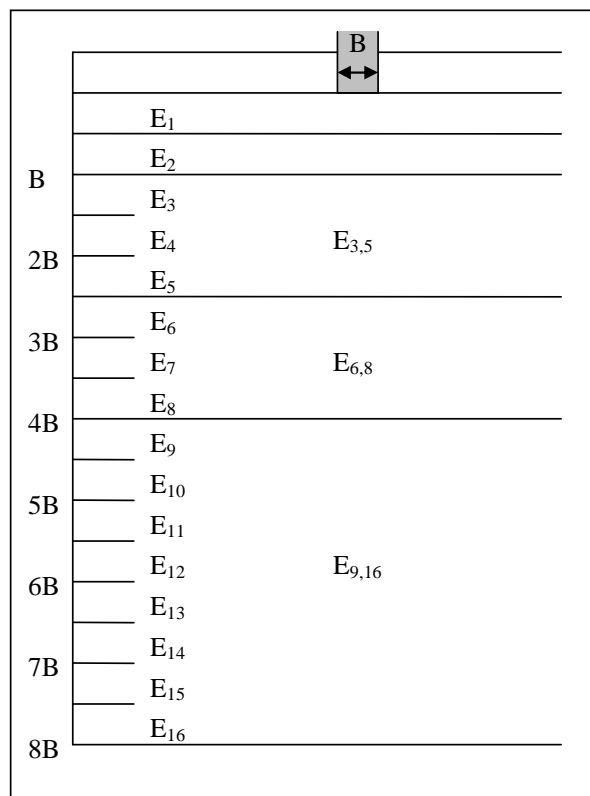
L/B	cercle	carré	2	3	5	20
λ_c	1.00	1.10	1.20	1.30	1.40	1.50
λ_d	1.00	1.12	1.53	1.78	2.14	2.65

E_c et E_d sont des modules pressiométriques

Le calcul des modules pressiométriques E_c et E_d nécessite la connaissance des E_i , valeurs moyennes harmoniques des modules pressiométrique $E(z)$ mesurés dans la $i^{\text{ème}}$ tranche d'épaisseur $B/2$ sous la base de la fondation.

On définit par ailleurs les $E_{i,j}$, par :

$$\frac{j-i+1}{E_{i,j}} = \sum_{k=i}^j \frac{1}{E_k}$$





On a :

$$E_c = E_1$$

$$\frac{4}{E_d} = \frac{1}{E_1} + \frac{1}{0,85 \cdot E_2} + \frac{1}{E_{3,5}} + \frac{1}{2,5 \cdot E_{6,8}} + \frac{1}{2,5 \cdot E_{9,16}}$$

Si on ne connaît pas les valeurs jusqu'à une profondeur suffisante, les formules suivantes sont utilisées :

$$\frac{3,6}{E_d} = \frac{1}{E_1} + \frac{1}{0,85 \cdot E_2} + \frac{1}{E_{3,5}} + \frac{1}{2,5 \cdot E_{6,8}}$$

Ou :

$$\frac{3,2}{E_d} = \frac{1}{E_1} + \frac{1}{0,85 \cdot E_2} + \frac{1}{E_{3,5}}$$

Le coefficient α peut soit être donné constant sur toute la hauteur du sol, soit saisi en fonction de la profondeur, au même titre que les modules pressiométriques et les pressions limites.

Dans ce dernier cas, un coefficient α moyen est calculé, exactement de la même manière que le coefficient E_d .

2.2 NF 94-261 (Eurocode 7)

Calcul idem que pour la méthode du fascicule 62 sauf pour le calcul de E_d :

$$\frac{1}{E_d} = \frac{0,25}{E_1} + \frac{0,3}{E_2} + \frac{0,25}{E_{3,5}} + \frac{0,1}{E_{6,8}} + \frac{0,1}{E_{9,16}}$$

Si les valeurs E_9 à E_{16} ne sont pas connues mais considérées comme supérieures aux valeurs sus-jacentes sur la base d'une connaissance géologique et géotechnique du site suffisante, E_d peut se calculer comme suit :

$$\frac{1}{E_d} = \frac{0,25}{E_1} + \frac{0,3}{E_2} + \frac{0,278}{E_{3,5}} + \frac{0,111}{E_{6,8}}$$

Si les valeurs E_6 à E_{16} ne sont pas connues, mais considérées comme supérieures aux valeurs sus-jacentes sur la base d'une connaissance géologique et géotechnique du site suffisante, E_d peut se calculer comme suit :

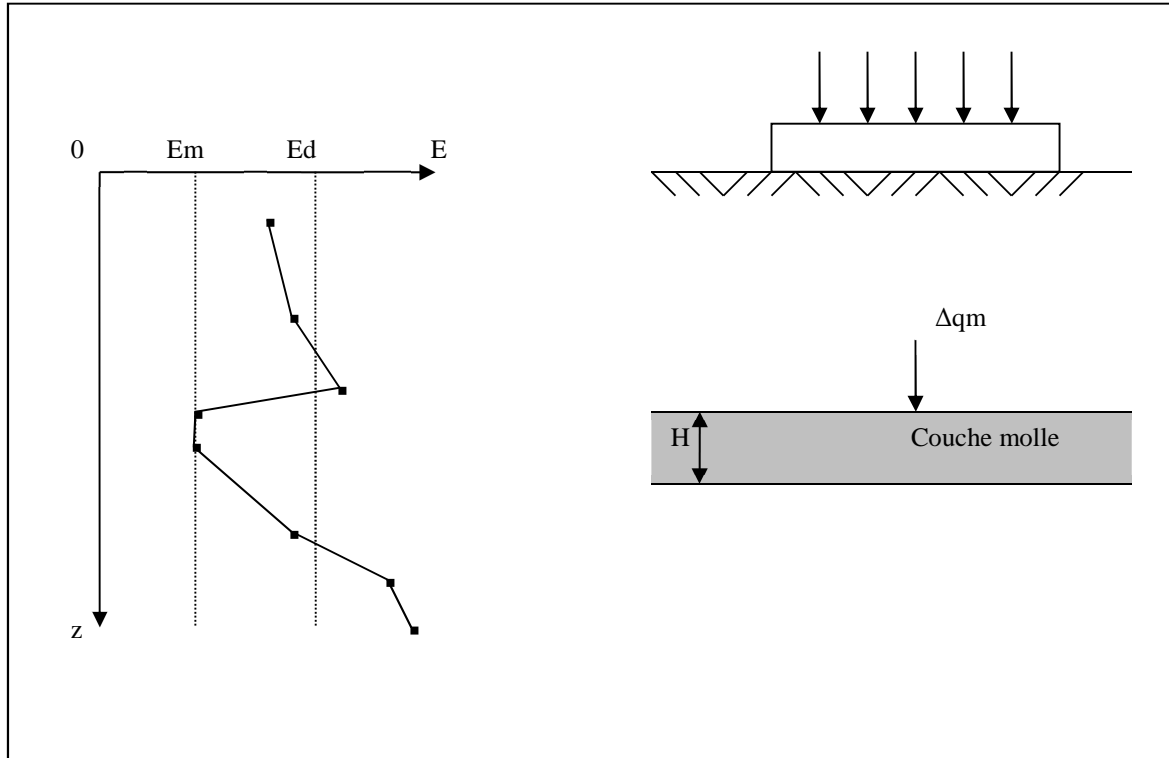
$$\frac{1}{E_d} = \frac{0,313}{E_1} + \frac{0,368}{E_2} + \frac{0,313}{E_{3,5}}$$

2.3 Prise en compte d'une couche molle

Lorsqu'une couche molle est définie, les caractéristiques pressiométriques saisies à l'intérieur de cette couche sont ignorées pour le calcul des tassements.

Elles sont remplacées par des valeurs interpolées linéairement.

On ajoute en revanche au tassement total un tassement S_m , tassement spécifique de la couche molle.



$$S_m = \alpha_m \left(\frac{1}{E_m} - \frac{1}{E_d} \right) \cdot \Delta q_m \cdot H$$

Où :

- α_m est la moyenne du coefficient rhéologique de la couche molle
- E_m est le module pressiométrique moyen de la couche molle
- E_d est calculé comme expliqué au paragraphe 6.1.1.2, mais en substituant aux valeurs de la couche molle des valeurs du même ordre de grandeur que pour les autres couches
- Δq_m est la valeur de la surcharge au niveau de la couche molle estimée en général au moyen des formules de Boussinesq
- H est l'épaisseur de la couche molle



3. Capacité portante : Essai pénétrométrique statique

3.1 Fascicule 62 Titre V

La formule générale permettant de calculer la capacité portante est similaire à celle des méthodes pressiométriques.

À la différence du calcul de la contrainte ultime q'_u

$$q'_u = k_c \cdot q_{ce} + q'_0$$

Où :

- q_{ce} est la résistance de pointe équivalente
- k_c est le facteur de portance

3.1.1 Facteur de portance k_c

TYPES DE SOL	EXPRESSION DE k_p
Argiles et limons	$0,32 \cdot \left[1 + 0,25 \cdot \left(0,6 + 0,4 \cdot \frac{B}{L} \right) \cdot \frac{D_e}{B} \right]$
Sables A	$0,14 \cdot \left[1 + 0,35 \cdot \left(0,6 + 0,4 \cdot \frac{B}{L} \right) \cdot \frac{D_e}{B} \right]$
Sables et graves B	$0,11 \cdot \left[1 + 0,50 \cdot \left(0,6 + 0,4 \cdot \frac{B}{L} \right) \cdot \frac{D_e}{B} \right]$
Sables et graves C	$0,08 \cdot \left[1 + 0,80 \cdot \left(0,6 + 0,4 \cdot \frac{B}{L} \right) \cdot \frac{D_e}{B} \right]$
Craies B	$0,17 \cdot \left[1 + 0,27 \cdot \left(0,6 + 0,4 \cdot \frac{B}{L} \right) \cdot \frac{D_e}{B} \right]$

3.1.2 Résistance de pointe équivalente q_{ce}

$$q_{ce} = \frac{1}{b + 3 \cdot a} \int_{D-b}^{D+3 \cdot a} q_{cc}(z) \cdot dz$$

Où :

- a est le maximum entre 0.5 et B/2
- b est le minimum entre a et h
- h est la hauteur de fondation contenue dans la formation porteuse
- $q_{cc}(z)$ est la résistance de pointe corrigée, que l'on obtient en écrêtant le diagramme des $q_c(z)$ mesurés à $1.3 q_{cm}$.
- q_{cm} est la valeur moyenne de la résistance de pointe, donnée par :

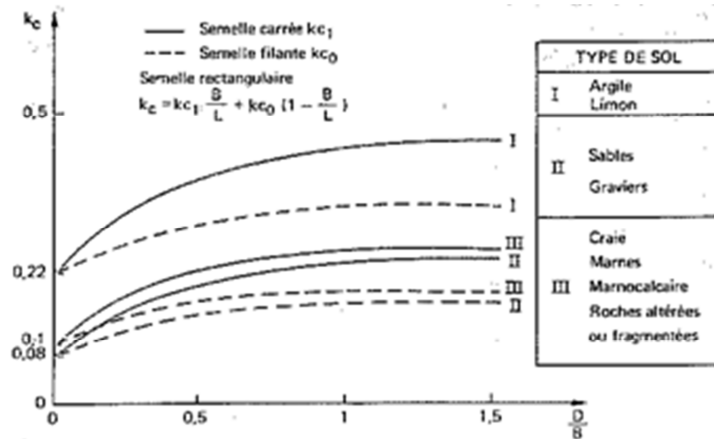
$$q_{cm} = \frac{1}{b + 3 \cdot a} \int_{D-b}^{D+3 \cdot a} q_c(z) \cdot dz$$

3.2 DTU 13.12

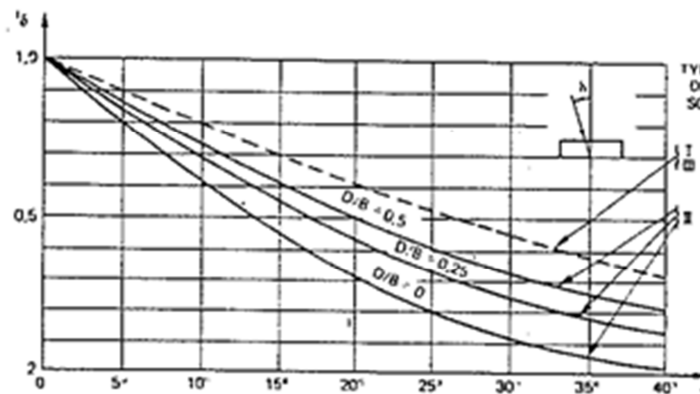
Seule différence avec le calcul précédent concernant la résistance de pointe q_{ce} , le facteur de portance k_c , et le coefficient minorateur $i_{\delta\beta}$.

La résistance de pointe équivalente q_{ce} est calculée de la même manière que celle décrite dans le fascicule 62. Le seul changement concerne les bornes d'intégration, qui deviennent respectivement D et $D + 1.5 B$.

Le facteur de portance k_c est déterminé par l'abaque suivant :



Le coefficient minorateur $i_{\delta\beta}$ est déterminé par l'abaque suivant :



3.3 NF P 94-261 :

3.3.1 Vérification :

Identique à la méthode pressiométrique

3.3.2 Calcul de la contrainte associée à la résistance nette du terrain :

$$q_{net} = k_c \cdot q_{ce} \cdot i_{\delta} \cdot i_{\beta}$$



3.3.3 Calcul de la pression limite q_{ce} :

$$q_{ce} = \frac{1}{h_r} \int_D^{D+h_r} q_{cc}(z) \cdot dz$$

Avec :

$q_{cc}(z)$ = résistance de pointe corrigée, obtenue en calculant la valeur moyenne q_{cm} de la résistance de pointe lissée entre D et $D+h_r$, et en écrêtant s'il y a lieu le diagramme $q_c(z)$ à la valeur $1.3 \cdot q_{cm}$

3.3.4 Détermination de h_r :

Identique à la méthode pressiométrique

3.3.5 Calcul de k_c :

Pour des semelles filantes ($B/L = 0$) ou carrées ($B/L=1$) :

$$k_c = k_{c0} + \left(a + b \frac{D_e}{B} \right) \cdot \left(1 - e^{-\frac{D_e}{B}} \right)$$

Avec a , b , c et k_{c0} définis ci-après.

Pour les fondations rectangulaires

$$k_{\frac{B}{L}} = k_{\frac{B}{L}=0} \left(1 - \frac{B}{L} \right) + k_{\frac{B}{L}=1} \left(\frac{B}{L} \right)$$

Catégorie de sol		Expression de k_c			
		a	b	c	k_{c0}
Argiles et limons	Semelle filante	0,07	0,007	1,3	0,27
	Semelle carrée	0,1	0,007	1,5	0,27
Sables et graves	Semelle filante	0,04	0,006	2	0,09
	Semelle carrée	0,03	0,02	5	0,09
Craies	Semelle filante	0,04	0,03	3	0,11
	Semelle carrée	0,04	0,04	3	0,11
Marnes et Marno-calcaires ; Roches altérées	Semelle filante	0,04	0,03	3	0,11
	Semelle carrée	0,05	0,04	3	0,11



3.3.6 Calcul de D_e :

$$D_e = \frac{1}{q_{ce}} \int_d^D q_{cc}(z) \cdot dz$$

Avec $d = 0$, sauf couches très mauvaises en surface, sauf si on souhaite ne pas tenir compte de couches de sol superficielles, de mauvaises caractéristiques.

3.3.7 Calcul du coefficient minorateur $i_{\beta\delta}$:

Identique à la méthode pressiométrique

3.4 Bowles

La formule donnant la capacité portante par la méthode de Bowles est dépendante du type de sol et de la forme de la semelle

	Argiles	Sables
Filantes	$q'_u = \frac{(2 + 0,28 \cdot q_{cm} \cdot 10)}{10}$	$q'_u = \frac{(28 + 0,0052 \cdot (300 - q_{cm} \cdot 10)^{1,5})}{10}$
Carrées	$q'_u = \frac{(5 + 0,34 \cdot q_{cm} \cdot 10)}{10}$	$q'_u = \frac{(48 + 0,009 \cdot (300 - q_{cm} \cdot 10)^{1,5})}{10}$

(Avec q'_u et q_{cm} en MPa).

Les capacités portantes à l'ELS et à l'ELU sont définies par respectivement $\frac{q'_u}{3}$ et $\frac{q'_u}{2}$.

Dans ces formules, la résistance de pointe moyenne q_{cm} est déterminée par :

$$q_{cm} = \frac{1}{0,6 \cdot B} \cdot \int_{D+0,5 \cdot B}^{D+1,1 \cdot B} q_c(z) \cdot dz$$

4. Tassement : Essai au pénétromètre statique

4.1 Méthode de Meyerhoff :

On calcule de nouveau une résistance de pointe moyenne q_{cm} , de la façon suivante :

$$q_{cm} = \frac{1}{B} \int_D^{D+B} q_c(z) \cdot dz$$

On détermine ensuite le tassement selon Meyerhoff par la formule suivante :

$$S_f = 1,27 \cdot \frac{(q_{ref} - q'_0)}{q_{cm}} \cdot \left(\frac{B}{B + 0.3048} \right)^2$$

(avec B en mètres).

4.2 Méthode de Schmertmann :

$$S_f = C_1 \cdot C_2 \cdot (q_{ref} - q'_0) \cdot \int_D^{D+2 \cdot B} \frac{I(z)}{a(z) \cdot q_c(z)} \cdot dz$$

Où C_1 et C_2 sont des coefficients donnés par les relations suivantes :

$$C_1 = 1 - 0,5 \cdot \frac{q'_0}{q_{ref} - q'_0}$$
$$C_2 = 1 + 0,2 \cdot \log \left(\frac{t}{0.1} \right)$$

Avec :

- t le temps considéré, en années
- I(z) la fonction de pondération définie par :

Si $z \in [D; D + B/2]$

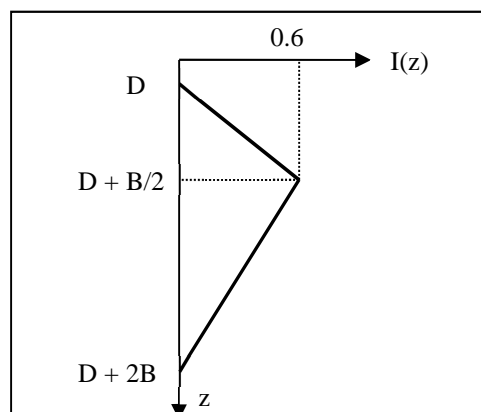
$$I(z) = 0,6 \cdot \frac{z - D}{B/2}$$

Si $z \in]D + B/2; D + 2 \cdot B]$

$$I(z) = 0,6 \cdot \left(1 - \frac{z - D - B/2}{2 \cdot B - B/2} \right)$$

Sinon

$$I(z) = 0$$





- $a(z)$ sont les rapports E/q_c définis par l'utilisateur, en fonctions des types de sols. Quelques valeurs sont proposées ci-dessous.

Types de sol	Rapport E/q_c
Sables	2
Limons	3
Argiles	4.5

4.3 Méthode de Schmertmann modifié :

Les modifications portent sur :

Le calcul de C_2 :

$$C_2 = 1,2 + 0,2 \cdot \log\left(\frac{t}{0,1}\right)$$

Avec t le temps considéré, en années

La fonction de pondération $I(z)$:

Si $z \leq Z_p$

$$I(z) = I_0 + (I_{zp} - I_0) \cdot \frac{z - D}{Z_p - D}$$

Si $z > Z_p$

$$I(z) = I_{zp} - \left(\frac{I_{zp}}{Z_{max} - Z_p}\right) \cdot (z - Z_p)$$

Avec :

$$I_{zp} = 0,5 + 0,1 \cdot \sqrt{\frac{q_{ref} - q'_0}{q'_{zp}}}$$

q'_{zp} contrainte initiale à la profondeur Z_p

Pour une semelle rectangulaire où $L \leq 10 \cdot B$:

$$Z_p = D + \frac{(L + 8 \cdot B)}{18}$$

$$Z_{max} = D + \frac{(2 \cdot L + 16 \cdot B)}{9}$$

$$I_0 = \frac{L}{B} + 8$$

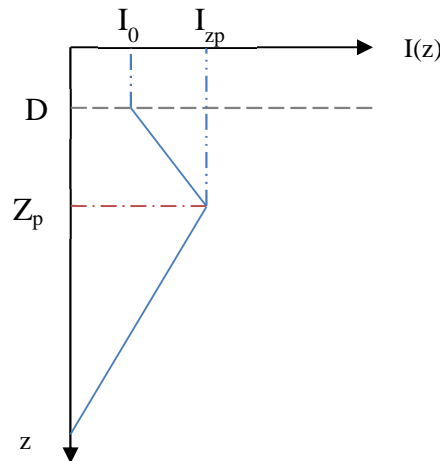


Pour une semelle filante e où $L > 10 \cdot B$

$$Z_p = D + B$$

$$Z_{max} = D + 4 \cdot B$$

$$I_0 = 0,2$$



4.4 Méthode de NF P 94-261 :

$$S_f = C_1 \cdot C_2 \cdot (q_{ref} - q'_0) \cdot \int_D^{D+2 \cdot B} \frac{I(z)}{C_3 \cdot E} \cdot dz$$

Où : C_1 et C_2 et C_3 sont des coefficients donnés par les relations suivantes :

$$C_1 = 1 - 0,5 \cdot \frac{q'_0}{q_{ref} - q'_0}$$

$$C_2 = 1,2 + 0,2 \cdot \log\left(\frac{t}{0,1}\right)$$

$$C_3 = 1,25 \text{ si fondations carrées}$$

$$C_3 = 1,75 \text{ si fondations filantes } L \leq 10 \cdot B$$

Avec :

- t le temps considéré, en années
- $I(z)$ la fonction de pondération définie par :

Si $z \leq Z_p$

$$I(z) = I_0 + (I_{zp} - I_0) \cdot \frac{z - D}{Z_p - D}$$

Si $z > Z_p$

$$I(z) = I_{zp} - \left(\frac{I_{zp}}{Z_{max} - Z_p} \right) \cdot (z - Z_p)$$

Avec :

$$I_{zp} = 0,5 + 0,1 \cdot \sqrt{\frac{q_{ref} - q'_0}{q'_{zp}}}$$

q'_{zp} contrainte initiale à la profondeur Z_p



Pour une semelle carrée :

$$\begin{aligned}Z_p &= D + B/2 \\Z_{max} &= D + 2 \cdot B \\I_0 &= 0,1\end{aligned}$$

Pour une semelle filante e où $L > 10 \cdot B$:

$$\begin{aligned}Z_p &= D + B \\Z_{max} &= D + 4 \cdot B \\I_0 &= 0,2\end{aligned}$$

5. Tassements fondées sur la déformation unidimensionnel des sols NF P 94-261

Le tassement peut être estimè en utilisant la formule suivante

$$s = q \cdot \int \frac{I_z(z)}{D(z)} \cdot dz$$

Où :

- I_z est le coefficient d'influence déterminé à partir de la théorie de Boussinesq ;
- $D(z)$ est le module du sol à la profondeur z qui est déterminé par
 - o essai pressiométrique : $D(z) = \frac{E_m(z)}{\alpha(z)}$
 - o essai pénétromètre $D(z) = q_c(z) \cdot \frac{E}{q_c}(z)$

6. Raideurs des sols NF P 94-261

6.1 Calcul de la raideur verticale K_v

Fondation circulaire de diamètre B	$K_v = \frac{E \cdot B}{1 - \nu^2}$
Fondation rectangulaire de dimension L et B	$K_v = \frac{E}{2 \cdot (1 - \nu^2)} \cdot \beta_v \cdot \sqrt{B \cdot L}$ $\beta_v = 1,55 \cdot \left(\frac{L}{B}\right)^{0,25} + 0,8 \cdot \left(\frac{B}{L}\right)^{0,5}$
Fondation carré de largeur B	$K_v = \frac{2,35 \cdot E \cdot B}{2 \cdot (1 - \nu^2)}$
Fondation filante de largeur B (par unité de longueur)	$K_v \approx \frac{0,73 \cdot E}{2 \cdot (1 - \nu^2)}$

Où :

- E Module d'Young caractéristique du massif de sol ;
- ν coefficient de Poisson du massif de sol ;



6.2 Calcul de la raideur en translation K_B et K_L

Fondation circulaire de diamètre B	$K_B = K_L = \frac{4 \cdot E \cdot B}{(2 - \nu) \cdot (1 + \nu)}$
Fondation rectangulaire de dimension L et B	$K_B = \frac{E}{2 \cdot (2 - \nu) \cdot (1 + \nu)} \cdot \beta_B \cdot \sqrt{B \cdot L}$ $\beta_B = 3,4 \cdot \left(\frac{L}{B}\right)^{0,15} + 1,2 \cdot \left(\frac{B}{L}\right)^{0,5}$ $K_L = \frac{E}{2 \cdot (2 - \nu) \cdot (1 + \nu)} \cdot \beta_L \cdot \sqrt{B \cdot L}$ $\beta_B = 3,4 \cdot \left(\frac{L}{B}\right)^{0,15} + 0,4 \cdot \left(\frac{L}{B}\right)^{0,5} + 0,8 \cdot \left(\frac{B}{L}\right)^{0,5}$
Fondation carré de largeur B	$K_v = \frac{2,3 \cdot E \cdot B}{(2 - \nu) \cdot (1 + \nu)}$
Fondation filante de largeur B (par unité de longueur)	$k_v \approx \frac{E}{(2 - \nu) \cdot (1 + \nu)}$

Où :

- E Module d'Young caractéristique du massif de sol ;
- ν coefficient de Poisson du massif de sol ;

6.3 Calcul de la raideur en rotation $K_{\theta;B}$ et $K_{\theta;L}$

Fondation circulaire de diamètre B	$K_{\theta;B} = K_{\theta;B} = \frac{B^2}{6} \cdot K_v$
Fondation rectangulaire de dimension L et B	$K_{\theta;B} \approx B^2 \cdot \frac{0,4 \cdot \left(\frac{L}{B}\right)^{0,5} + 0,1 \cdot \left(\frac{B}{L}\right)^{0,5}}{\beta_v} \cdot K_v$ $K_{\theta;L} \approx B^2 \cdot \frac{0,4 \cdot \left(\frac{L}{B}\right)^{1,9} + 0,034 \cdot \left(\frac{B}{L}\right)^{0,5}}{\beta_v} \cdot K_v$
Fondation carré de largeur B	$K_{\theta;B} = K_{\theta;L} \approx \frac{B^2}{2 \cdot \beta_v} \cdot K_v$
Fondation filante de largeur B (par unité de longueur)	$K_{\theta;L} \approx 2,15 \cdot B^2 \cdot K_v$

Où :

- E Module d'Young caractéristique du massif de sol ;
- ν coefficient de Poisson du massif de sol ;



7. Capacité portante : Essai laboratoire c et φ

7.1 DTU13.12

Calcul de la contrainte ultime q'_u

$$q'_u = i_c \cdot S_c \cdot N_c \cdot c + \frac{1}{2} \cdot S_\gamma \cdot \gamma \cdot B \cdot N_\gamma \cdot i_\gamma + S_q \cdot \gamma \cdot D \cdot N_q \cdot i_q$$

Où :

- S_c , S_γ et S_q sont des coefficients de forme, définis par :

$$S_c = 1 + 0,2 \cdot \frac{B}{L}$$

$$S_\gamma = 1 - 0,2 \cdot \frac{B}{L}$$

$$S_q = 1$$

- N_c , N_γ et N_q sont des paramètres sans dimension, dont les valeurs en fonction de φ sont données ci-dessous.

En cas d'excentrement e non nul de la charge, on considère, à la place de la largeur B, une largeur B' équivalente telle que $B' = B - 2e$

$$N_q = e^{\pi \cdot \tan \varphi} \cdot \left(\tan \left(\frac{\pi}{4} + \frac{\varphi}{2} \right) \right)^2$$

$$N_c = \frac{N_q - 1}{\tan \varphi}$$

φ	N_γ
0	0.00
5	0.10
10	0.50
15	1.40
20	3.50
25	8.10
30	18.10
35	41.10
40	100.00
45	254.00

- i_c , i_q et i_γ permettent la prise en compte de l'inclinaison δ de la charge par rapport à la verticale.

$$i_c = i_q = \left(1 - \frac{2 \cdot \delta}{\pi} \right)^2$$

$$i_\gamma = \left(1 - \frac{\delta}{\pi} \right)^2$$

En cas d'excentrement e non nul de la charge, on considère, à la place de la largeur B, une largeur B' équivalente telle que $B' = B - 2e$.

A l'ELS :

$$q'_{els} = \frac{q'_u - q'_0}{3} + q'_0$$

A l'ELU :

$$q'_{elu} = \frac{q'_u - q'_0}{2} + q'_0$$

7.2 NF P 94 – 261



Mêmes calculs qu'avec les essais pressiométrique, sauf calcul de q_{net} .

7.2.1 Conditions non drainées

$$q_{net} = (\pi + 2) \cdot c_u \cdot b_c \cdot s_c \cdot i_c + q$$

Avec :

- q pression de surcharge au niveau de la base de la fondation
- b_c coefficient d'inclinaison de la base :

$$b_c = 1 - \frac{2 \cdot \alpha}{\pi + 2}$$

- α est l'inclinaison de la base de la fondation par rapport à l'horizontal
- s_c coefficient de forme :

$$s_c = 1 + 0,2 \cdot \frac{B'}{L'}$$

- B' largeur effective de la semelle
- L' longueur effective de la semelle
- i_c coefficient d'inclinaison de la charge :

$$i_c = \frac{1}{2} \left(1 + \sqrt{1 - \frac{H}{A' \cdot c_u}} \right) \text{ Avec } H \leq A' \cdot c_u$$

- H est la valeur de calcul de l'effort parralléle au plan de la base de la semelle.

7.2.2 Conditions drainées

$$q_{net} = c' N_c b_c s_c i_c + (q'_0 + q) N_q b_q s_q i_q + 0,5 \gamma' N_\gamma b_\gamma s_\gamma i_\gamma - q'_0$$

Avec :

- γ' poids volumique effectif, compris entre γ ($\gamma_{sat} - \gamma_w$) (pour une nappe au niveau de la fondation) et (pour une nappe de profondeur supérieure à 1.5B)
- c' cohésion drainée



Facteurs / coefficients	Terme de surface ou de profondeur	Terme de cohésion	Terme de surface
Portance	$N_q = e^{\pi \cdot \tan \varphi} \cdot \left(\tan \left(\frac{\pi}{4} + \frac{\varphi}{2} \right) \right)^2$	$N_c = \frac{N_q - 1}{\tan \varphi}$	$N_\gamma = 2 \cdot (N_q - 1) \cdot \tan \varphi$
Forme	$S_q = 1 + \frac{B'}{L'} \cdot \sin \varphi$	$S_c = \frac{S_q \cdot N_q - 1}{N_q - 1}$	$S_\gamma = 1 + 0,3 \cdot \frac{B'}{L'}$
Inclinaison de la base	$b_q = (1 - \alpha \cdot \tan \varphi)^2$	$b_c = \frac{b_q \cdot (1 - b_q)}{N_c \cdot \tan \varphi}$	$b_\gamma = (1 - \alpha \cdot \tan \varphi)^2$
Inclinaison de la surcharge	$i_q = \left(1 - \frac{H}{V + A' \cdot c' / \tan \varphi} \right)^m$	$i_c = i_q - \frac{1 - i_q}{N_c \cdot \tan \varphi}$	$i_\gamma = \left(1 - \frac{H}{V + A' \cdot c' / \tan \varphi} \right)^{m+1}$

m est un paramètre défini dans les équations suivantes :

Si la composante horizontale de la charge agit dans la direction de B' :

$$m = m_B = \frac{2 + \frac{B'}{L'}}{1 + \frac{B'}{L'}}$$

Si la composante horizontale de la charge agit dans la direction de L' :

$$m = m_L = \frac{2 + \frac{L'}{B'}}{1 + \frac{L'}{B'}}$$

Si la composante horizontale de la charge agit selon une direction faisant un angle θ avec la direction de L' :

$$m = m_\theta = m_L \cdot \cos^2 \theta + m_B \cdot \sin^2 \theta$$

8. Capacité portante : SPT

8.1 Capacité portante par la méthode de Meyerhoff

Les deux méthodes de calcul de capacité portante (semelle et radier) impliquent le calcul d'une valeur moyenne N_m de N :

$$N_m = \frac{1}{2 \cdot B - 0,5 \cdot B} \cdot \int_{D+0,5 \cdot B}^{D+2 \cdot B} N(z) \cdot dz$$

8.1.1 Calcul pour une semelle

$$q'_u = \frac{3 \cdot N}{0,05} \cdot \left(1 + \frac{D}{3 \cdot B} \right)$$

Avec q'_u exprimé en kPa, et B et D en mètres.



8.1.2 Calcul pour un radier

$$q'_u = \frac{3 \cdot N}{0,08} \cdot \left(1 + \frac{D}{3 \cdot B}\right) \cdot \left(\frac{B + 0,3}{B}\right)^2$$

Avec q'_u exprimé en kPa, et B et D en mètres.

Les capacités portantes à l'ELS et à l'ELU sont données respectivement par $\frac{q'_u}{3}$ et $\frac{q'_u}{2}$.

9. Tassements : SPT

Pour toutes les méthodes suivantes, on utilise un N_m , moyenne des N, défini par la formule suivante.

$$N_m = \frac{1}{Z_i} \cdot \int_D^{D+Z_i} N(z) \cdot dz$$

$$\text{Avec } Z_i = 10^{0,7606 \cdot \log_{10}(B) - 0,0065}$$

9.1 Méthode de Burland

Si $q_{ref} \geq \sigma'_{v0}$

$$S_f = \frac{1,71 \cdot B^{0,7}}{N_m^{1,4}} \cdot f_1 \cdot f_2 \cdot f_3 \cdot \left(\frac{\sigma'_{v0}}{3} + q_{ref} - \sigma'_{v0}\right)$$

Sinon

$$S_f = \frac{1,71 \cdot B^{0,7}}{N_m^{1,4}} \cdot f_1 \cdot f_2 \cdot f_3 \cdot \left(\frac{q_{ref}}{3}\right)$$

Avec :

- S_f en mm
- B en m
- σ'_{v0} en kPa
- q_{ref} en kPa

Où les coefficients f_1 , f_2 et f_3 valent respectivement :

$$f_1 = \left(\frac{1,25 \cdot \frac{L}{B}}{\frac{L}{B} + 0,25}\right)^2$$

$$f_2 = 1,5$$

$$f_3 = 1,3 + 0,2 \cdot \log_{10}\left(\frac{t}{3}\right)$$

Avec t le temps considéré en années.



9.2 Méthode de Terzaghi & Peck

$$S_f = 0,000723 \cdot \frac{q_{ref}}{N_m - 3} \cdot \left(\frac{2 \cdot B}{B + 0,3048} \right)^2 \cdot C_w \cdot C_d$$

Avec :

- S_f en mm
- B en m
- q_{ref} en kPa

Le coefficient C_w , calculée au niveau de $D + B/2$, vaut :

$$C_w = \frac{\sigma_v}{\sigma'_v}$$

Le coefficient C_d vaut :

$$C_d = 1 - \frac{D}{4 \cdot B}$$

9.3 Méthode de Peck & Bazaraa

$$S_f = 0,000508 \cdot \frac{q_{ref}}{N^*} \cdot \left(\frac{2 \cdot B}{B + 0,3048} \right)^2 \cdot C_w \cdot C_d$$

Avec :

- S_f en mm
- B en m
- q_{ref} en kPa

C_w et C_d sont calculés de la même façon que pour la méthode précédente.

$$N^* = C_n \cdot N_m$$
$$C_n = 0,77 \cdot \log_{10} \left(\frac{100}{q'_0} \right)$$

9.4 Méthode de Alpan

$$S_f = \frac{L}{B} \cdot \left(\frac{2 \cdot B}{B + 0,3048} \right)^2 \cdot \frac{4,98054 \cdot N_m^{-1,8020}}{12} \cdot \frac{q_{ref} - q'_0}{95,76052} \cdot 24$$

Avec :

- S_f en mm
- B en m ;
- q_{ref} en kPa



10. Capacité portante : Pénétromètre dynamique

10.1 Méthode de Meyerhoff

On utilise ici la même méthode de calcul que pour le SPT en appliquant aux valeurs de R_d saisies la transformation suivante :

$$N(z) = \frac{R_d(z)}{785}$$

Avec R_d en kPa

10.2 Méthode DTU

On calcule N_m , valeur moyenne à partir des $N(z)$ calculé pour la méthode de Meyerhoff, de la façon suivante.

$$\log_{10}(N_m) = \frac{1}{2 \cdot B} \cdot \int_D^{D+2 \cdot B} \log_{10}(N(z)) \cdot dz$$

On pose alors :

$$\varphi = 0,00063 \cdot N_m^3 - 0,008379 \cdot N_m^2 + 0,586094 \cdot N_m + 27,084407$$

$$\varphi_{min} = \varphi - \Delta\varphi$$

$$\varphi_{max} = \varphi + \Delta\varphi$$

$$\Delta\varphi = 0,00000057 \cdot N_m^4 - 0,00011756 \cdot N_m^3 - 0,00858709 \cdot N_m^2 + 0,22725967 \cdot N_m + 4,70325694$$

On effectue enfin les calculs de capacité portante pour chacun des φ suivant les essais traditionnels –méthode DTU.

10.2.1 Tassements

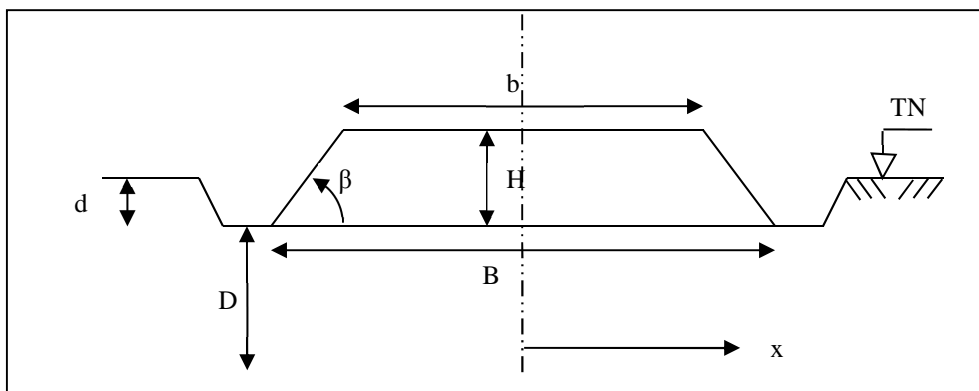
On utilise la même méthode de calcul que pour le SPT, en appliquant aux valeurs de R_d saisies la même transformation.

REMBLAIS

1. Capacité portante (Poinçonnement) : Essai pressiométrique

Dans les méthodes ci-dessous, on note :

- H la hauteur de remblai
- B la largeur de remblai à sa base
- b la largeur en crête
- d la profondeur de la base du remblai
- D l'épaisseur de la couche compressible
- γ le poids volumique du remblai
- β l'angle du talus du remblai par rapport à l'horizontale



Le calcul des facteurs de sécurité implique la connaissance de p_{le}^* et de c_u , définis comme suit :

- p_l est calculé comme p_{le}^* (Fascicule 62), mais les bornes d'intégration sont $[d ; d+(B+b)/2]$ au lieu de $[D ; D+1.5 B]$
- $c_u = 0,67 \cdot p_l^{0,75}$ (Corrélation de Baguelin, avec c_u et p_l en kPa)

1.1 Méthode de Cassan

$$Fs(Cassan) = \frac{0,8 \cdot p_l}{\gamma \cdot H}$$

1.2 Méthode de Terzaghi

$$Fs(Terzaghi) = \frac{(\pi + 2) \cdot c_u}{\gamma \cdot H}$$

1.3 Méthode de Cassan modifiée

$$Fs(Cassan \text{ mod}) = \left(\frac{1 + \pi}{H} + \frac{1}{D \cdot \tan \beta} \right) \cdot \frac{c_u}{\gamma}$$



1.4 Méthode de Silvestri

$$F_s(\text{Silvestri}) = \left(\frac{1 + \pi}{H} + \frac{2}{D \cdot \tan \beta} \right) \cdot \frac{c_u}{\gamma}$$

1.5 Méthode de Mandel & Salençon

$$F_s(M \& S) = \frac{c_u}{\gamma \cdot H} \cdot \max \left[\pi + 2; 4,44 + 0,47 \cdot \frac{B}{D} \right]$$

1.6 Méthode de Menard

$$F_s(\text{Menard}) = \frac{0,8 \cdot p_t}{\frac{\gamma \cdot H}{2} \cdot \left(1 + \frac{b}{B} \right)}$$

2. Tassement : Essais pressiométriques

2.1 Calcul par moyenne harmonique

$$S_f(x, y) = 1,2 \cdot \alpha \cdot \frac{D}{E_m} \cdot \gamma \cdot H(x, y) \cdot \max \left[\frac{2 \cdot F_s(\text{Menard})}{3 \cdot (F_s(\text{Menard}) - 1)}; 1 \right]$$

Les valeurs de α et E_m sont déterminées par la même méthode que pour les semelles, mais sur une profondeur de B, et avec des épaisseurs de tranches de B/16.

Le coefficient de 1,2 provient de la notice D61/67 de Menard, pour les ouvrages de grande emprise.

2.2 Calcul par couches

$$S_f(x, y) = 1,2 \cdot \sum_{i=0}^n \left[\frac{h_i \cdot \Delta \sigma_i(x, y) \cdot \alpha_i}{E_i} \right]$$

Avec :

- H_i épaisseur de la couche
- $\Delta \sigma_i(x, y)$ accroissement de contrainte dû au remblai (diffusion de contraintes selon Boussinesq)
- α_i coefficient rhéologique de la couche
- E_i le module de Menard de la couche



3. Tassement : Essais œdométriques

3.1 Calcul du tassement final

Discretisation en n couches élémentaires :

$$S_f(x, y) = \sum_{i=0}^n [\Delta H_i(x, y)]$$

Calcul de ΔH_i tassement de la couche i :

$$\Delta H_i(x, y) = H_0 \cdot \frac{\Delta e(x, y)}{1 + e_0}$$

Avec :

- H_0 épaisseur initiale de la couche i
- e_0 indice des vides initial de la couche i
- $\Delta e(x, y)$ variation de l'indice des vides de la couche i à la position (x, y)

Sol normalement consolidé $\sigma'_{v0} = \sigma'_p$

$$\Delta e(x, y) = C_c \cdot \log_{10} \left(\frac{\sigma'_{v0} + \Delta \sigma_v(x, y)}{\sigma'_{v0}} \right)$$

Sol surconsolidé $\sigma'_{v0} < \sigma'_p$

Soit $\sigma'_{v0} + \Delta \sigma_v(x, y) \leq \sigma'_p$

$$\Delta e(x, y) = C_s \cdot \log_{10} \left(\frac{\sigma'_{v0} + \Delta \sigma_v(x, y)}{\sigma'_{v0}} \right)$$

Soit $\sigma'_{v0} + \Delta \sigma_v(x, y) > \sigma'_p$

$$\Delta e(x, y) = C_s \cdot \log_{10} \left(\frac{\sigma'_p}{\sigma'_{v0}} \right) + C_c \cdot \log_{10} \left(\frac{\sigma'_{v0} + \Delta \sigma_v(x, y)}{\sigma'_p} \right)$$

Avec :

- σ'_{v0} contrainte effective verticale initiale à la profondeur de la couche i
- σ'_p contrainte de préconsolidation à la profondeur de la couche i
- $\Delta \sigma'_v(x, y)$ accroissement de contraintes apporté par le remblai à la profondeur de la couche i
- C_s indice de gonflement
- C_c indice de compression

3.2 Calcul de la durée de consolidation – Essais œdométriques

Le calcul est réalisé par différences finies, la loi de comportement pour la consolidation est :

$$\frac{\partial u}{\partial t} = C_v \frac{\partial^2 u}{\partial z^2}$$

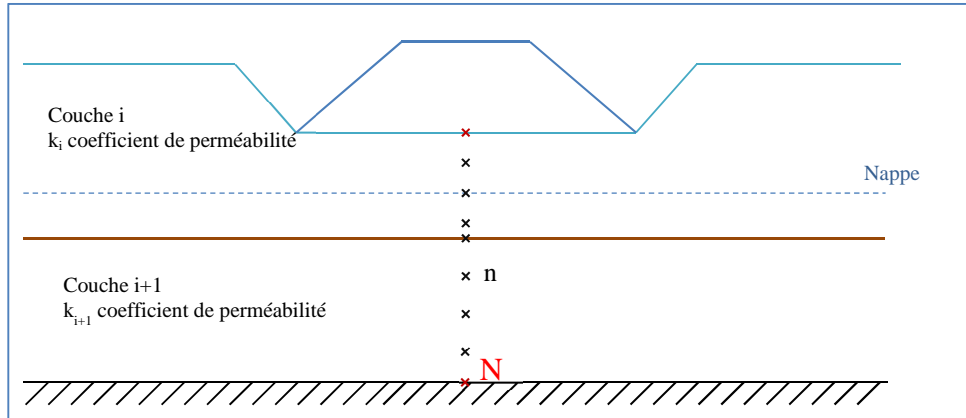
Où u est la pression interstitielle en un point à la profondeur z et à l'instant t.



Avec les même couche que calculé précédemment, nous allons résoudre le problème précédent.

Si on pose à l'instant $t = 0$:

- $u_{0,t=0} = 0$
- $u_{n,t=0} = 0$ si point est au-dessus de la nappe
- $u_{n,t=0} = \Delta\sigma_v(z_i)$ si en-dessous de la nappe
- $u_{N,t=0} = \Delta\sigma_v(z_R)$ si substratum est imperméable
- $u_{N,t=0} = 0$ si substratum est drainant



On pose :

$$Z_r = \sum_{i=0}^N h_i$$

$$U_r = \frac{q}{100}$$

Avec q contrainte maximum apportée par le remblai

$$\Delta \bar{t}_i = \frac{C_{vi} \cdot \Delta t}{Z_r^2}$$

$$\Delta \bar{z} = \frac{\Delta z}{Z_r}$$

$$\bar{u}_n = \frac{u_n}{U_r}$$

- h_i épaisseur de chaque couche
- C_{vi} coefficient de consolidation verticale de la couche i (m^2/s)
- k_i coefficient de perméabilité de la couche i , soit donné par l'utilisateur, soit calculé :

$$k_i = \frac{c_{vi} \cdot \gamma_w \cdot \Delta e}{(1 + e_0) \cdot \Delta \sigma}$$

- Δt pas de calcul pour le temps
- Δz pas de calcul pour la profondeur

Les pas de temps et de profondeur sont calculés automatiquement par le logiciel pour respecter :

$$\frac{\Delta \bar{t}_i}{\Delta \bar{z}^2} < 0,5$$



Pour l'instant suivant, on a :

$$u_{0,\bar{t}+\bar{\Delta t}} = 0$$

Pour tous les points situés au-dessus de la nappe on a :

$$\bar{u}_{n,\bar{t}+\bar{\Delta t}} = 0$$

Pour les autres points dans les couches on a :

$$\bar{u}_{n,\bar{t}+\bar{\Delta t}} = \frac{\Delta \bar{t}_i}{\Delta \bar{z}^2} \cdot (\bar{u}_{n-1,\bar{t}} + \bar{u}_{n+1,\bar{t}} - 2 \cdot \bar{u}_{n,\bar{t}}) + \bar{u}_{n,\bar{t}}$$

Pour un point à l'interface entre deux couches, on a :

$$\bar{u}_{n,\bar{t}+\bar{\Delta t}} = \frac{1 + \frac{k_{i+1}}{k_i}}{1 + \frac{k_{i+1}}{k_i} \cdot \frac{C_{vi}}{C_{vi+1}}} \cdot \frac{\Delta \bar{t}_i}{\Delta \bar{z}^2} \cdot \left(\frac{2 \cdot k_i}{k_i + k_{i+1}} \cdot \bar{u}_{n-1,\bar{t}} + \frac{2 \cdot k_{i+1}}{k_i + k_{i+1}} \cdot \bar{u}_{n+1,\bar{t}} - 2 \cdot \bar{u}_{n,\bar{t}} \right) + \bar{u}_{n,\bar{t}}$$

Pour le point situé au substratum on a :

S'il est drainant

$$\bar{u}_{N,\bar{t}+\bar{\Delta t}} = 0$$

Sinon

$$\bar{u}_{N,\bar{t}+\bar{\Delta t}} = \frac{\Delta \bar{t}_i}{\Delta \bar{z}^2} \cdot (2 \cdot \bar{u}_{n-1,\bar{t}} - 2 \cdot \bar{u}_{n,\bar{t}}) + \bar{u}_{n,\bar{t}}$$

PIEUX

1. Capacité portante : Essais pressiométriques

1.1 Selon le Fascicule 62-Titre V

En compression, la charge limite Q_u et la charge de fluage Q_c sont respectivement définies par les formules suivantes :

$$Q_u = Q_{pu} + Q_{su}$$

Pour un pieu mis en place sans refoulement du sol :

$$Q_c = 0,5 \cdot Q_{pu} + 0,7 \cdot Q_{su}$$

Pour un pieu mis en place avec refoulement du sol :

$$Q_c = 0,7 \cdot Q_{pu} + 0,7 \cdot Q_{su}$$

En traction, ces valeurs, respectivement Q_{tu} et Q_{tc} sont données par :

$$Q_{tu} = Q_{su}$$
$$Q_{tc} = 0,7 \cdot Q_{su}$$

Dans ces formules, Q_{pu} est l'effort limite mobilisable dû au terme de pointe, et Q_{su} est l'effort limite mobilisable par frottement latéral sur la hauteur du fût.

Dans le cas de micropieu la résistance de pointe Q_{pu} est négligée.

Q_{pu} est calculé de la manière suivante :

$$Q_{pu} = \rho_p * A * q_u$$

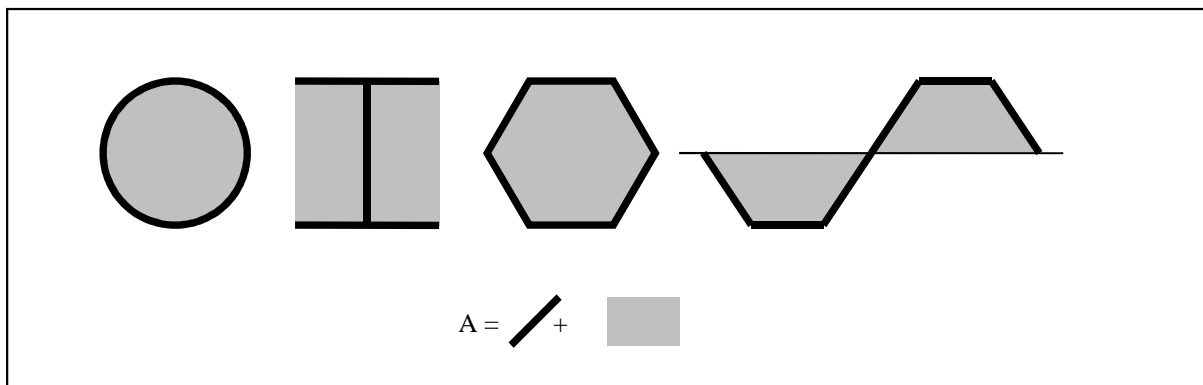
Avec :

- ρ_p un coefficient réducteur, défini par le tableau ci-dessous :

Type de pieu	Argiles	Sables
Tubulaire ouvert	0,50	0,50
Pieu H	0,50	0,75
Palplanches	0,50	0,30

ρ_p vaut 1 pour les pieux classiques pleins.

- A est la section à considérer en pointe, telle que représentée ci-dessous.



- q_u est la contrainte de rupture relative au terme de pointe, donnée par la formule suivante :

$$q_u = k_p \cdot p_{le}^*$$

Avec :

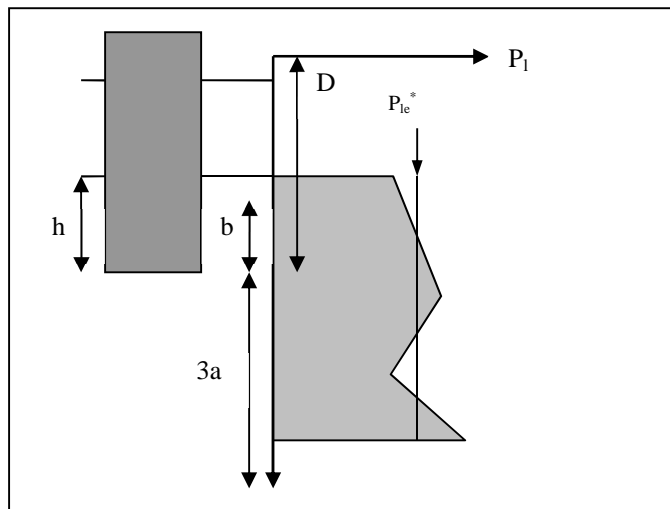
- k_p le facteur de portance, dont la valeur est définie par le tableau ci-dessous :

Nature des terrains		Eléments mis en œuvre sans refoulement du sol	Eléments mis en œuvre avec refoulement du sol
Argiles - Limons	A	1,1	1,4
	B	1,2	1,5
	C	1,3	1,6
Sables - Graves	A	1,0	4,2
	B	1,1	3,7
	C	1,2	3,2
Craies	A	1,1	1,6
	B	1,4	2,2
	C	1,8	2,6
Marnes, Marno-Calcaires		1,8	2,6
Roches altérées		1,1 à 1,8	1,8 à 3,2

(Les valeurs de k_p retenues par défaut pour les roches altérées dans GEOFOND sont 1,1 pour les éléments mis en œuvre sans refoulement du sol, et 1,8 pour les éléments mis en œuvre avec refoulement du sol.)

- p_{le}^* est la limite nette équivalente, calculée comme suit :

$$p_{le}^* = \frac{1}{b + 3 \cdot a} \cdot \int_{D-b}^{D+3 \cdot a} p_l^*(z) \cdot dz$$



Avec :

- $a = \max\left\{\frac{B}{2}; 0,5\right\}$ où B est la largeur de l'élément de fondation
- $b = \min\{a; h\}$ où h est la hauteur de l'élément de fondation contenue dans la formation porteuse

Q_{su} est l'effort limite mobilisable par frottement latéral sur la hauteur du fût.

$$Q_{su} = \rho_s \cdot \int_0^h q_s(z) \cdot dz$$

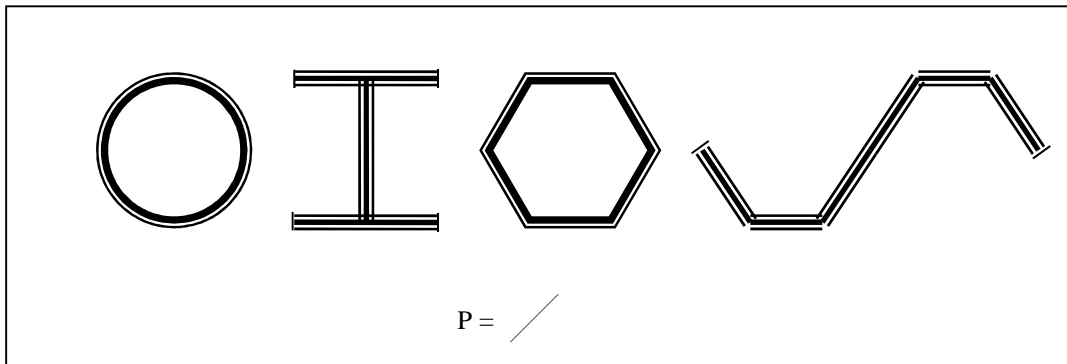
Où :

- ρ_s est un coefficient réducteur, défini par le tableau ci-dessous :

Type de pieu	Argiles	Sables
Tubulaire ouvert	1,00	1,00
Pieu H	1,00	1,00
Palplanches	1,00	0,50

ρ_s vaut 1 pour les pieux classiques pleins.

P est le périmètre à considérer, tel que représenté ci-dessous :



- $q_s(z)$ est le frottement latéral unitaire limite à la profondeur z, calculé selon le tableau suivant :

	Argiles - Limons			Sables - Graves			Craies			Marnes		Roches
	A	B	C	A	B	C	A	B	C	A	B	
Foré simple	Q1	Q1, Q2 ⁽¹⁾	Q2, Q3 ⁽¹⁾	-			Q1	Q3	Q4, Q5 ⁽¹⁾	Q3	Q4, Q5 ⁽¹⁾	Q6
Foré boue	Q1	Q1, Q2 ⁽¹⁾		Q1	Q2, Q1 ⁽²⁾	Q3, Q2 ⁽²⁾	Q1	Q3	Q4, Q5 ⁽¹⁾	Q3	Q4, Q5 ⁽¹⁾	Q6
Foré tubé (tube récupéré)	Q1	Q1, Q2 ⁽³⁾		Q1	Q2, Q1 ⁽²⁾	Q3, Q2 ⁽²⁾	Q1	Q2	Q3, Q4 ⁽³⁾	Q3	Q4	-
Foré tubé (tube perdu)	Q1			Q1	Q2	(4)			Q2	Q3	-	
Puits	Q1	Q2	Q3	-			Q1	Q2	Q3	Q4	Q5	Q6
Métal battu fermé	Q1	Q2		Q2	Q3	(4)			Q3	Q4	Q4	
Battu préfabriqué béton	Q1	Q2		Q3			(4)			Q3	Q4	Q4
Battu moulé	Q1	Q2		Q2	Q3	Q1	Q2	Q3	Q3	Q4	-	
Battu enrobé	Q1	Q2		Q3	Q4	(4)			Q3	Q4	-	
Injecté basse pression	Q1	Q2		Q3			Q2	Q3	Q4	Q5		-
Injecté haute pression	-	Q4	Q5	Q5	Q6	-	Q5	Q6	Q6		Q7	

(1) Réalésage et rainurage en fin de forage,

(2) Pieux de grande longueur (supérieure à 30 m),

(3) Forage à sec, tube non louvoyé,

(4) Dans le cas des craies, le frottement latéral peut être très faible pour certains types de pieux, il convient d'effectuer une étude spécifique dans chaque cas.



Les courbes Q_1 à Q_7 , donnant q_s en fonction de p_l , sont données par les expressions analytiques suivantes :

- Courbes Q_1 à Q_4 (avec n le numéro de la courbe) :

$$\text{Si } \frac{p_l}{p_n} \leq 1$$

$$q_s = q_{sn} \cdot \frac{p_l}{p_n} \cdot \left(2 - \frac{p_l}{p_n} \right)$$

$$\text{Si } \frac{p_l}{p_n} > 1$$

$$q_s = q_{sn}$$

Avec :

$$q_{sn} = 0,04 \cdot n \text{ (MPa)}$$

$$p_n = (1 + 0,5 \cdot n) \text{ (MPa)}$$

- Courbe Q_5 :

$$q_s = \min \left(\frac{p_l - 0,2}{9}; \frac{p_l + 3,3}{32} \right)$$

- Courbe Q_6 :

$$q_s = \min \left(\frac{p_l + 0,4}{10}; \frac{p_l + 4,0}{30} \right)$$

- Courbe Q_7 :

$$q_s = \frac{p_l + 0,4}{10}$$

Le logiciel vérifie finalement les inégalités suivantes :

- En compression :

$$Q_{ELU \text{ Fondamental}} \leq \frac{Q_u}{1,4}$$

$$Q_{ELU \text{ Accidental}} \leq \frac{Q_u}{1,2}$$

$$Q_{ELS \text{ Rare}} \leq \frac{Q_c}{1,1}$$

$$Q_{ELS \text{ Quasi-permanent}} \leq \frac{Q_c}{1,4}$$

- En traction :

$$Q_{ELU \text{ Fondamental}} \leq \frac{Q_{tu}}{1,4}$$

$$Q_{ELU \text{ Accidental}} \leq \frac{Q_{tu}}{1,3}$$

$$Q_{ELU \text{ Rare}} \leq \frac{Q_{tc}}{1,1}$$

$$Q_{ELS \text{ Quasi-permanent}} \leq 0$$

1.2 Selon le DTU 13.2

Dans le cas de micropieux la résistance de pointe est négligée.

Le calcul du terme de pointe, q_p , se fait par la formule :

$$q_p - q_0 = k \cdot (p_{le} - p_0)$$

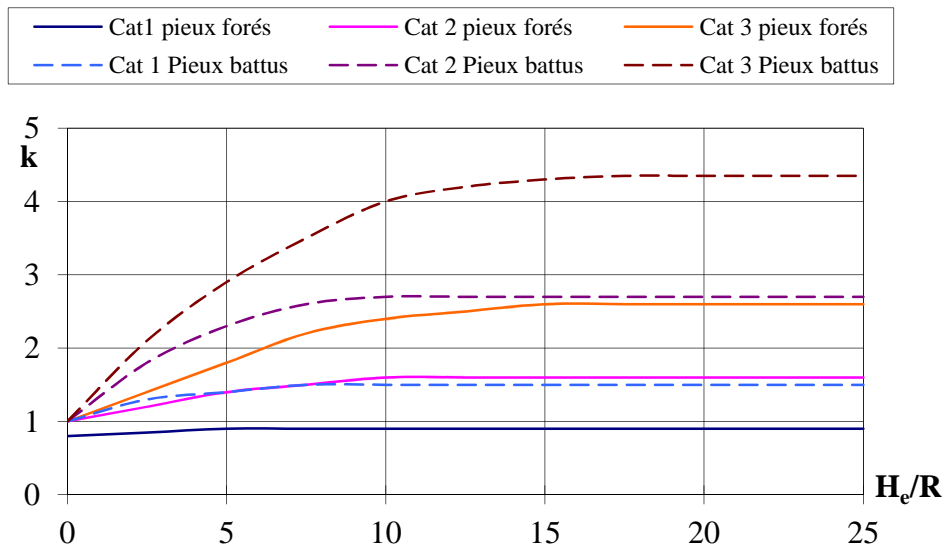
Où :

- q_0 et p_0 sont les pressions horizontales et verticales totales des terres, ces termes sont négligés dans le GEOFOND.
- P_{le} est la pression limite équivalente qui est calculé par :

$$p_{le} = \sqrt[3]{p_{l1} \cdot p_{l2} \cdot p_{l3}}$$

Avec p_{l1} , p_{l2} et p_{l3} les pressions limites mesurées un mètre au-dessus de la pointe du pieu, au niveau de la pointe et un mètre en-dessous.

- k est le facteur de portance celui-ci est déterminé par les courbes suivantes :



Ces courbes ont été interpolées par des fonctions numériques sur GEOFOND.

Les sols sont classés en trois catégories définies dans le tableau suivant, incluant la nature et la pression limite du sol. Pour les sols intermédiaires, il est recommandé d'interpoler :

Pression limite P_l (MPa)	Nature des sols	Catégorie
<0,7 <0,8 <0,7	Argile molle Limon et craie molle Sable argileux et limoneux ou vaseux lâche	1
1,0 à 1,8 1,2 à 3,0 1,5 à 4,0 1,0 à 2,5 2,5 à 4,0 > 3,0 >4,5	Sable et grave moyennement compacts Argile et limon compacts Marne et marno-calcaire Craie Altérée Roche Altérée Craie fragmentée Marne très compacte	2
>2,5 >4,5	Sable et gravier compacts à très compacts Roche fragmentée	3



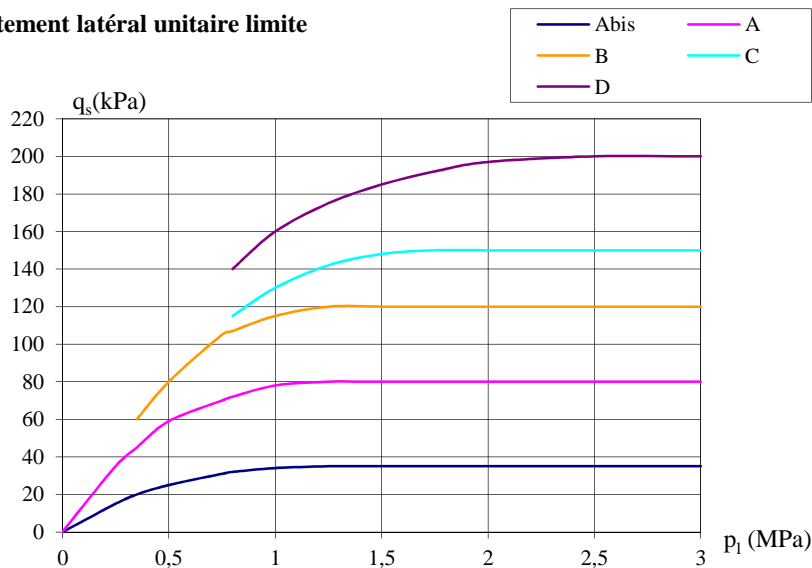
He/R représente l'encastrement relatif de la fondation, He pour un sol homogène est la longueur de la fondation, R est la demi-dimension transversale.

Le frottement latéral unitaire q_s est obtenu à partir de la pression limite par les courbes suivantes :

Nature du Sol	Pression limite P_l (MPa)	Mise en œuvre et nature du pieu					Injectés	
		Foré Béton	Foré-Tubé Béton	Battu Métal	Béton	Métal	Faible pression	Haute pression
Argile molle, limon et sable lâche, craie molle	0 à 0,7	Abis	Abis	Abis	Abis	Abis	A	-
Argile moyennement consistante et limon	1,2 à 2,0	(A)* Abis	(A)* Abis	Abis	(A)* Abis	Abis	A	D
Argile raide à très raide	>2,0	(A)* Abis	(A)* Abis	Abis	(A)* Abis	Abis	A	D
Sable et grave moyennement compacts	1 à 2	(B)* A	(A)* Abis	Abis	(B)* A	A	B	$\geq D$
Sable et grave compacts à très compacts	>2,5	(C)* B	(B)* A	A	(C)* B	B	C	$\geq D$
Craie altérée à fragmentée	>1	(C)* B	(B)* A	A	(C)* B	B	C	$\geq D$
Marne et marno-calcaire	1,5 à 4	(E)* C	(C)* B	B	E	E	E	F
Marne très compacte	>4,5	E	-	-	-	-	F	> F
Roche altérée	2,5 à 4	F	F	-	F	F	$\geq F$	> F
Roche fragmentée	> 4,5	F	-	-	-	-	$\geq F$	> F

* Les valeurs entre parenthèse correspondent, pour les pieux forés, à une exécution soignée du pieu et une technologie de mise en œuvre susceptible de remanier au minimum le sol au contact du fût. Pour les pieux battus, par contre, elles correspondent à un resserrement du sol sur le pieu après battage.

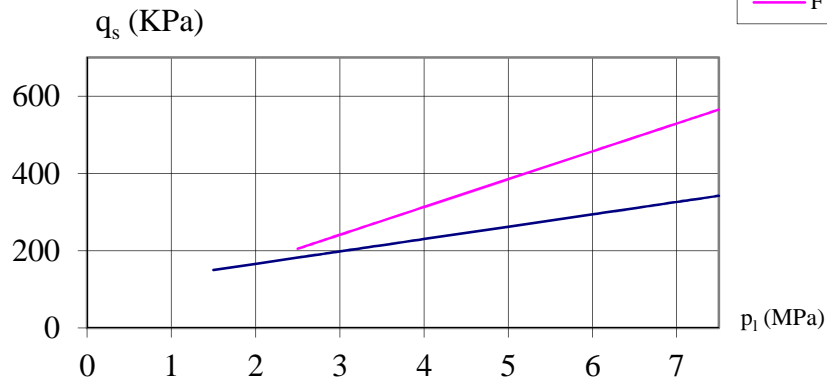
Frottement latéral unitaire limite



Ces courbes ont été interpolées par des fonctions numériques sur GEOFOND.



Frottement latéral unitaire limite



Ces courbes correspondent aux fonctions suivantes :

- Pour E : $q_s = 0,032 p_l + 1,02 \cdot 10^5 \text{ Pa}$
- Pour F : $q_s = 0,072 p_l + 0,25 \cdot 10^5 \text{ Pa}$

Pour finir, le logiciel vérifie les inégalités suivantes :

$$Q_{ELU} = 0,5 \cdot Q_{pr} + 0,75 \cdot Q_s$$

$$Q_{ELS} = 0,33 \cdot Q_{pr} + 0,5 \cdot Q_s$$

1.3 Selon la NF P 94-262

1.3.1 Calcul de la résistance de pointe :

$$R_b = A_b \cdot q_b$$

Avec :

- A_b surface de base de la fondation
- q_b valeur pression de rupture du terrain à la base du pieu

1.3.2 Pression de rupture :

$$q_b = k_p \cdot p_{le}^*$$

Avec :

- k_p facteur de portance pressiométrique
- p_{le}^* pression limite nette équivalente

1.3.3 Facteur de portance k_p

Si $D_{ef}/B \geq 5$

$$k_p(D_{ef}/B) = k_{pmax}$$

Si $D_{ef}/B < 5$

$$k_p(D_{ef}/B) = 1 + \frac{(k_{pmax} - 1) \cdot \left(\frac{D_{ef}}{B}\right)}{5}$$



Avec :

- B largeur de la base du pieu
- D_{ef} hauteur d'encastrement effective :

$$D_{ef} = \frac{1}{p_{le}^*} \cdot \int_{D-h_D}^D p_l^*(z) \cdot dz$$

Avec h_D qui désigne une longueur égale à 10.B.

Valeur du facteur de portance pressiométrique maximum (k_{pmax}) :

Terrain	Argile Limon	Sols intermédiaires Sable Grave	Craie	Marne et calcaire- marneux	Roche altérée et fragmentée
Classe de pieu	Sols intermédiaires				
1	1,15 (2)	1,1 (2)	1,45 (2)	1,45 (2)	1,45 (2)
2	1,3	1,65	1,6	1,6	2,0
3	1,55	3,2	2,35	2,10	2,10
4	1,35	3,10	2,30	2,30	2,30
5 (1)	1,0	1,9	1,4	1,4	1,2
6 (1)	1,20	3,10	1,70	2,20	1,50
7 (1)	1,0	1,0	1,0	1,0	1,2
8	1,15 (2)	1,1 (2)	1,45 (2)	1,45 (2)	1,45 (2)

(1) pour les pieux de type battu ouvert, profil H battu et palplanche battue, mise en œuvre par vibrofonçage, un abattement de 50 % est fait sur la valeur du k_p
(2) Pour les micropieux, la résistance de pointe est négligée

1.3.4 Pression limite nette équivalente :

$$p_{le}^* = \frac{1}{b + 3 \cdot a} \cdot \int_{D-b}^{D+3 \cdot a} p_l^*(z) \cdot dz$$

Avec :

- $p_l^*(z)$ profil des pressions limites nettes
- D profondeur de la fondation
- $a = \max\left\{\frac{B}{2}; 0,5\right\}$
- $b = \min\{a; h\}$ avec h hauteur du pieu contenue dans la formation porteuse
- B largeur du pieu

1.3.5 Résistance de frottement axial :

$$R_s = P_s \cdot \int_0^D q_s(z) \cdot dz$$

Avec :

- P_s périmètre du fût du pieu
- $q_s(z)$ frottement axial unitaire limite à la cote z
- D longueur de la fondation contenue dans le terrain



1.3.6 Frottement axial unitaire q_s :

$$q_s(z) = \alpha_{\text{pieu-sol}} \cdot f_{\text{sol}}[p_i^*(z)]$$

Avec $\alpha_{\text{pieu-sol}}$ paramètre adimensionnel qui dépend du type de pieu et du type de sol. Ce paramètre est défini dans le tableau suivant :

N°	Abréviation	Technique de mise en œuvre	Argile Limons Sols intermédiaires	Sols intermédiaires Sable Grave	Craie	Marne et Calcaire- Marneux	Roche altérée ou fragmentée
1	FS	Foré simple (pieux et barrettes)	1,1	1	1,8	1,5	1,6
2	FB	Foré boue (pieux et barrettes)	1,25	1,4	1,8	1,5	1,5
3	FTP	Foré tubé (virole perdue)	0,7	0,6	0,5	0,9	-
4	FTR	Foré tubé (virole récupérée)	1,25	1,4	1,7	1,4	-
5	FSR, FBR, PU	Foré simple ou boue avec rainurage ou puits	1,3	-	-	-	-
6	FTC, FTCD	Foré tarière continue simple rotation ou double rotation	1,5	1,8	2,1	1,6	1,6
7	VM	Vissé moulé	1,9	2,1	1,7	1,7	-
8	VT	Vissé tubé	0,6	0,6	1	0,7	-
9	BPF, BPR	Battu béton préfabriqué ou précontraint	1,1	1,4	1	0,9	-
10	BE	Battu enrobé (béton, mortier, coulis)-	2	2,1	1,7	1,7	-
11	BM	Battu moulé	1,2	1,4	2,1	1	-
12	BAF	Battu acier ouvert	0,8	1,2	0,4	0,9	-
13	BAO (1)	Battu acier ouvert	1,2	0,7	0,5	1	1
14	HB (1)	H battu	1,1	1	0,4	1	0,9
15	HBi	H battu injecté IGU ou IRS	2,7	2,9	2,4	2,4	2,4
16	PP (1)	Palplanches battues	0,9	0,8	0,4	1,2	1,2
17	M1	Micropieu type I	-	-	-	-	-
18	M2	Micropieu type II	-	-	-	-	-
19	PIGU, MIGU	Pieu ou micropieu injecté (type III)	2,7	2,9	2,4	2,4	2,4
20	PIRS, MIRS	Pieu ou micropieu injecté (type IV)	3,4	3,8	3,1	3,1	3,1

(1) les pieux de type BAO, HB et PP mise en œuvre par vibrofonçage un abattement de 30 % est fait sur le q_s .

(2) Pour les pieux de grande longueur (pieu > 25 m) un abattement de 50% est fait sur la partie située à 25 m ou plus au-dessus de la pointe.



$f_{sol}[p_l^*(z)]$ est fonction du type de pieu et des valeurs de p_l^* à la profondeur z :

$$f_{sol}[p_l^*(z)] = (a \cdot p_l^*(z) + b) \cdot (1 - e^{-c \cdot p_l^*(z)})$$

a, b et c sont définis dans le tableau suivant :

Type de sol	Argile Limons Sols intermédiaires	Sols intermédiaire Sable Grave	Craie	Marne et Calcaire Marneux	Riche altérée ou fragmentée
a	0,003	0,01	0,007	0,008	0,01
b	0,04	0,06	0,07	0,08	0,08
c	3,5	1,2	1,3	3	3

q_s est limité par les valeurs maximales q_{smax} définies dans le tableau suivant :

N°	Abréviation	Technique de mise en œuvre	Valeurs q_{smax} en kPa					
			Argile Limons	Sols intermédiaires	Sable Grave	Craie	Marne et Calcaire- Marneux	Roche altérée ou fragmentée
1	FS	Foré simple (pieux et barrettes)	90	90	90	20	170	200
2	FB	Foré boue (pieux et barrettes)	90	90	90	200	170	200
3	FTP	Foré tubé (virole perdue)	50	50	50	50	90	-
4	FTR	Foré tubé (virole récupérée)	90	90	90	170	170	-
5	FSR, FBR, PU	Foré simple ou boue avec rainurage ou puits	90	90	-	-	-	-
6	FTC, FTCD	Foré tarière continue simple rotation ou double rotation	90	90	170	200	200	200
7	VM	Vissé moulé	130	130	200	170	170	-
8	VT	Vissé tubé	50	50	90	90	90	-
9	BPF, BPR	Battu béton préfabriqué ou précontraint	130	130	130	90	90	-
10	BE	Battu enrobé (béton, mortier, coulis)-	170	170	260	200	200	-
11	BM	Battu moulé	90	90	130	260	200	-
12	BAF	Battu acier ouvert	90	90	90	50	90	-
13	BAO (1)	Battu acier ouvert	90	90	50	50	90	90
14	HB (1)	H battu	90	90	130	50	90	90
15	HBi	H battu injecté IGU ou IRS	200	200	380	320	320	320
16	PP (1)	Palplanches battues	90	90	50	50	90	90
17	M1	Micropieu type I	-	-	-	-	-	-
18	M2	Micropieu type II	-	-	-	-	-	-
19	PIGU, MIGU	Pieu ou micropieu injecté (type III)	200	200	380	320	320	320
20	PIRS, MIRS	Pieu ou micropieu injecté (type IV)	200	200	440	440	440	500





1.3.7 Procédure « modèle de terrain » :

1.3.7.1 Résistance de frottement axial caractéristique $R_{s;k}$

$$R_{s;k} = \frac{R_s}{\gamma_{R;d1} \cdot \gamma_{R;d2}}$$

Avec :

- R_s résistance de frottement axial (cf. calcul précédent)
- $\gamma_{R;d1}$ coefficient partiel de modèle lié à la dispersion du modèle de calcul
- $\gamma_{R;d2}$ coefficient partiel lié au calage des méthodes de calcul

1.3.7.2 Résistance de pointe caractéristique $R_{b;k}$

$$R_{b;k} = \frac{R_b}{\gamma_{R;d1} \cdot \gamma_{R;d2}}$$

Avec :

- R_b résistance de pointe (cf. calcul précédent)
- $\gamma_{R;d1}$ coefficient partiel de modèle lié à la dispersion du modèle de calcul
- $\gamma_{R;d2}$ coefficient partiel lié au calage des méthodes de calcul

	$\gamma_{R;d1}$ Compression	$\gamma_{R;d1}$ Traction	$\gamma_{R;d2}$ Compression	$\gamma_{R;d2}$ Traction
Pieux non ancrés dans la craie de classe 1 à 7 (hors pieux de catégorie 10 et 15)	1,15	1,4	1,1	
Pieux ancrés dans la craie de classe 1 à 7 (hors pieux de catégorie 10 et 15, 17, 18, 19 et 20)	1,4	1,7		
Pieux de catégorie 10, 15, 17, 18, 19 et 20	2,0	2,0		

1.3.7.3 Calcul de portance en compression de la fondation profonde à l'état-limite ultime :

$$R_{c;d} = \frac{R_{b;k}}{\gamma_b} + \frac{R_{s;k}}{\gamma_s}$$

Avec :

- γ_b facteur partiel pour la résistance de pointe
- γ_s facteur partiel pour la résistance de frottement axial

Situations durables et transitoires ou situations sismiques	
γ_b	1,1
γ_s	1,1
Situations accidentelles	
γ_b	1,0
γ_s	1,0



1.3.7.4 Calcul de la résistance en traction de la fondation profonde à l'état-limite ultime :

$$R_{t;d} = \frac{R_{t;k}}{\gamma_{s;t}}$$

Avec :

- $R_{t;k}$: valeur caractéristique de la résistance en traction du pieu
- $\gamma_{s;t}$: facteur partiel pour la résistance en traction.

Situations durables et transitoires ou situations sismiques	
$\gamma_{s;t}$	1,15
Situations accidentelles	
$\gamma_{s;t}$	1,05

1.3.7.5 Calcul de la charge de fluage en compression à l'état-limite de service :

$$R_{c;cr;d} = \frac{R_{c;cr;k}}{\gamma_{cr}}$$

Avec :

- γ_{cr} : facteur partiel sur la charge de fluage de compression :

ELS – Combinaisons caractéristiques	
γ_{cr}	0,9
ELS – Combinaisons quasi-permanentes	
γ_{cr}	1,1

- $R_{c;cr;k}$: valeur caractéristique de la charge de fluage en compression :

Sans refoulement de sol :

$$R_{c;cr;k} = 0,5 \cdot R_{b;k} + 0,7 \cdot R_{s;k}$$

Avec refoulement de sol

$$R_{c;cr;k} = 0,7 \cdot R_{b;k} + 0,7 \cdot R_{s;k}$$

1.3.7.6 Calcul de la charge de fluage en traction à l'état-limite de service :

$$R_{t;cr;d} = \frac{R_{t;cr;k}}{\gamma_{s;cr}}$$

Avec :

- $\gamma_{s;cr}$: facteur partiel sur la charge de fluage en traction :

ELS – Combinaisons caractéristiques	
$\gamma_{s;cr}$	1,1
ELS – Combinaisons quasi-permanentes	
$\gamma_{s;cr}$	1,5

- $R_{t;cr;k}$: valeur caractéristique de la charge de fluage en traction :

$$R_{t;cr;k} = 0,7 \cdot R_{s;k}$$



1.3.8 Procédure « modèle de pieu » :

1.3.8.1 Calcul de valeur caractéristique de la portance $R_{c;k}$:

$$R_{c;k} = \frac{1}{\gamma_{R;d1}} \cdot \min \left\{ \frac{(R_c)_{moyen}}{\xi_3}; \frac{(R_c)_{min}}{\xi_4} \right\}$$

Avec :

- $\gamma_{R;d1}$ coefficient partiel de modèle lié à la dispersion du modèle de calcul :

	$\gamma_{R;d1}$ Compression	$\gamma_{R;d1}$ Traction
Pieux non ancrés dans la craie de classe 1 à 7 (hors pieux de catégorie 10 et 15)	1,15	1,4
Pieux ancrés dans la craie de classe 1 à 7 (hors pieux de catégorie 10 et 15, 17, 18, 19 et 20)	1,4	1,7
Pieux de catégorie 10, 15, 17, 18, 19 et 20	2,0	2,0

- $(R_c)_{moyen}$ est la valeur moyenne de la portance de chaque essai
 $(R_c)_{moyen} = (R_b + R_s)_{moyen} = (R_b)_{moyen} + (R_s)_{moyen}$
- $(R_c)_{min}$ est la valeur minimale de la portance calculée pour chaque essai
 $(R_c)_{min} = (R_b + R_s)_{min}$
- ξ_3 et ξ_4 facteurs de corrélation qui dépendent de la surface d'investigation et du nombre d'essais :

$$\xi_i(N, S) = 1 + [\xi'_i(N) - 1] \cdot \sqrt{\frac{S}{S_{réf}}}$$

Avec ξ'_3 et ξ'_4 coefficients partiels dépendant du nombre d'essais :

N (Nombre d'essais)	1	2	3	4	5 à 6	7 à 9	>=10
ξ'_3	1,40	1,35	1,33	1,31	1,29	1,27	1,25
ξ'_4	1,40	1,27	1,23	1,20	1,15	1,12	1,08

S est la surface d'investigations géotechniques

$S_{réf}$ correspond à une surface de référence prise égale à 2500 m².

1.3.8.2 Calcul de valeur caractéristique de la résistance en traction $R_{t;k}$:

$$R_{t;k} = \frac{1}{\gamma_{R;d1}} \cdot \min \left\{ \frac{(R_s)_{moyen}}{\xi_3}; \frac{(R_s)_{min}}{\xi_4} \right\}$$

Avec :

- $\gamma_{R;d1}$: coefficient partiel de modèle lié à la dispersion du modèle de calcul (cf. paragraphe précédent)
- ξ_3 et ξ_4 : facteurs de corrélation qui dépendent de la surface d'investigation et du nombre d'essais (cf. paragraphe précédent)



1.3.8.3 Résistance de frottement axial caractéristique $R_{s;k}$

$$R_{s;k} = \frac{(R_s)_{moy}}{(R_c)_{moy}} * R_{c;k}$$

Avec :

- $(R_s)_{moy}$: résistance moyenne de frottement axial
- $(R_c)_{moy}$: résistance moyenne en compression (cf. paragraphes précédent)
- $R_{c;k}$: résistance en compression caractéristique (cf. paragraphes précédent)

1.3.8.4 Résistance de pointe caractéristique $R_{b;k}$

$$R_{b;k} = \frac{(R_b)_{moy}}{(R_c)_{moy}} * R_{c;k}$$

Avec :

- $(R_s)_{moy}$: résistance moyenne de la pointe
- $(R_c)_{moy}$: résistance moyenne en compression (cf. paragraphes précédent)
- $R_{c;k}$: résistances en compression caractéristique (cf. paragraphes précédent)

1.3.8.5 Calcul de portance en compression de la fondation profonde à l'état-limite ultime :

$$R_{c;d} = \frac{R_{c;k}}{\gamma_t}$$

Avec :

- γ_b facteur partiel pour la résistance de pointe
- γ_s facteur partiel pour la résistance de frottement axiale

Situations durables et transitoires ou situations sismiques	
γ_t	1,1
Situations accidentelles	
γ_t	1,0

1.3.8.6 Calcul de la résistance en traction de la fondation profonde à l'état-limite ultime :

$$R_{t;d} = \frac{R_{t;k}}{\gamma_{s;t}}$$

Avec :

- $R_{t;k}$: valeur caractéristique de la résistance en traction du pieu
- $\gamma_{s;t}$: facteur partiel pour la résistance en traction

Situations durables et transitoires ou situations sismiques	
$\gamma_{s;t}$	1,15
Situations accidentelles	
$\gamma_{s;t}$	1,05



1.3.8.7 Calcul de la charge de fluage en compression à l'état-limite de service :

$$R_{c;cr;d} = \frac{R_{c;cr;k}}{\gamma_{cr}}$$

Avec :

- γ_{cr} : facteur partiel sur la charge de fluage de compression :

ELS – Combinaisons caractéristiques	
γ_{cr}	0,9
ELS – Combinaisons quasi-permanentes	
γ_{cr}	1,1

- $R_{c;cr;k}$: valeur caractéristique de la charge de fluage en compression :

Sans refoulement de sol :

$$R_{c;cr;k} = 0,5 \cdot R_{b;k} + 0,7 \cdot R_{s;k}$$

Avec refoulement de sol

$$R_{c;cr;k} = 0,7 \cdot R_{b;k} + 0,7 \cdot R_{s;k}$$

1.3.8.8 Calcul de la charge de fluage en traction à l'état-limite de service :

$$R_{t;cr;d} = \frac{R_{t;cr;k}}{\gamma_{s;cr}}$$

Avec :

- $\gamma_{s;cr}$ facteur partiel sur la charge de fluage en traction :

ELS – Combinaisons caractéristiques	
$\gamma_{s;cr}$	1,1
ELS – Combinaisons quasi-permanentes	
$\gamma_{s;cr}$	1,5

- $R_{t;cr;k}$ valeur caractéristique de la charge de fluage en traction :

$$R_{t;cr;k} = 0,7 \cdot R_{s;k}$$

2. Capacité portante : Essai au pénétromètre

2.1 Par la méthode du Fascicule 62

La méthode employée est la même que celle de la méthode pressiométrique. Seuls les calculs de la contrainte de rupture relative q_u et le frottement latéral unitaire limite $q_s(z)$ diffèrent d'une méthode à l'autre.

La contrainte de rupture relative q_u est exprimée par :

$$q_u = k_c \cdot q_{ce}$$

Avec :

- k_c le facteur de portance, donné par le tableau suivant :

Nature des terrains		Eléments mis en œuvre sans refoulement du sol	Eléments mis en œuvre avec refoulement du sol
ARGILES - LIMONS	A	0.40	0.55
	B		
	C		
SABLES – GRAVES	A	0.15	0.50
	B		
	C		
CRAIES	A	0.20	0.30
	B	0.30	0.45

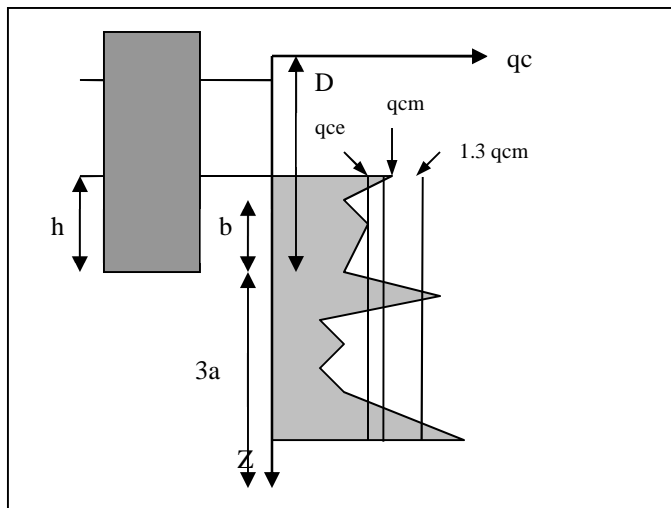
- q_{ce} la résistance de pointe équivalente, calculée comme pour les fondations superficielles :

$$q_{ce} = \frac{1}{b + 3 \cdot a} \cdot \int_{D-b}^{D+3 \cdot a} q_{cc}(z) \cdot dz$$

Avec :

- a est le maximum entre 0.5 et B/2
- b est le minimum entre a et h
- h est la hauteur de fondation contenue dans la formation porteuse
- $q_{cc}(z)$ est la résistance de pointe corrigée, que l'on obtient en écrêtant le diagramme des $q_c(z)$ mesurés à $1.3 q_{cm}$.
- q_{cm} est la valeur moyenne de la résistance de pointe, donnée par :

$$q_{cm} = \frac{1}{b + 3 \cdot a} \cdot \int_{D-b}^{D+3 \cdot a} q_c(z) \cdot dz$$



Le frottement latéral unitaire limite q_s est déterminé par l'expression suivante :

Si $q_c(z) > 1MPa$:

$$q_s(z) = \min \left\{ \frac{q_c(z)}{\beta}; q_{s \max} \right\}$$

Sinon :

$$q_s(z) = 0$$



Le coefficient β et la valeur de q_{smax} sont déterminés par le tableau suivant :

		Argiles - Limons					Sables - Graves			Craies	
		A	B		C		A	B	C	A	B
Foré	β	-	-	75 ⁽¹⁾	-	-	200	200	200	125	80
	q_{smax} (kPa)	15	40	80 ⁽¹⁾	40	80 ⁽¹⁾	-	-	120	40	120
Foré tubé (tube non récupéré)	β	-	100	100 ⁽²⁾	-	100 ⁽²⁾	250	250	300	125	100
	q_{smax} (kPa)	15	40	60 ⁽²⁾	40	80 ⁽²⁾	-	40	120	40	80
Métal battu fermé	β	-	150		150		300	300	300	(3)	
	q_{smax} (kPa)	15	40		80		-	-	120		
Battu préfabriqué béton	β	-	75		-		150	150	150	(3)	
	q_{smax} (kPa)	15	80		80		-	-	120		

(1) Réalésage et rainurage en fin de forage.
(2) Forage à sec, tube non louvoyé.
(3) Dans le cas des craies, le frottement latéral peut être très faible pour certains types de pieux. Il convient d'effectuer une étude spécifique dans chaque cas.

2.2 Par la méthode du DTU 13.2

Le calcul de la résistance de pointe est donné par la relation :

$$Q_p = A \cdot q_p$$

Avec :

- A l'aire de la section droite de la pointe du pieu.
- q_p est la contrainte limite donnée par la relation :

$$q_p = k_c \cdot q_c$$

Les valeurs de k_c sont données par les tableaux suivants (en fonction de l'option choisie) ;

Le frottement total mobilisable à la rupture Q_s est donné par la formule :

$$Q_s = P \cdot \int_0^h q_s(z) \cdot dz$$

Avec :

- P périmètre de la fondation profonde ;
- q_s frottement latéral unitaire déduit par la relation :

$$q_s(z) = \frac{q_c(z)}{\alpha}$$

Le facteur α dépend de la nature du sol et du type de pieu (cf tableaux suivants)

Les valeurs de q_s sont limitées par la valeur de q_{smax} (cf tableaux suivants)



Nature du sol	q_c (KPa)	Facteur de portance k_c $q_p = k_c \cdot q_c$		Coefficient α $q_s = q_c / \alpha$				Valeur maximale de q_s^{**} (kPa)					
		Pieu foré	Pieu battu	Pieu foré		Pieu battu		Pieu foré		Pieu battu		Pieu injecté	
				Fût béton	Tubé	Fût béton	Fût métal	Fût béton	Tubé	Fût béton	Fût métal	Faible pression	Haute pression
Argile molle et vase	0 à 2000	0,4	0,5	30	30	30	30	15	15	15	15	35	
Argile moyennement consistante	2000 à 5000	0,35	0,45	40	80	40	80	(80)* 35	(80)* 35	(80)* 35	35	80	≥ 120
Argile raide à très raide	>5000	0,45	0,55	60	120	60	120	(80)* 35	(80)* 35	(80)* 35	35	80	≥ 200
Limon ou sable lâche	0 à 2500	0,4	0,5	(60)* 120	150	(60)* 80	(120)* 160	35	35	35	35	80	
Sable moyennement compact	2500 à 10000	0,4	0,5	(100)* 120	(200)* 250	100	(200)* 250	(120)* 80	(80)* 35	(120)* 80	80	120	≥ 200
Sable compact à très compact	>10000	0,3	0,4	150	(300)* 200	150	(300)* 200	(150)* 120	(120)* 80	(150)* 120	120	150	≥ 200
Craie molle	≤ 5000	0,2	0,3	100	120	100	120	35	35	35	35	80	
Craie altérée fragmentée	>5000	0,2	0,4	60	80	60	80	(150)* 120	(120)* 80	(150)* 120	120	150	≥ 200

* Les valeurs entre parenthèse correspondent, pour les pieux forés, à une exécution soignée du pieu et une technologie de mise en œuvre susceptible de remanier au minimum le sol au contact du fût. Pour les pieux battus, par contre, elles correspondent à un resserrement du sol sur le pieu après battage.
** Pour les pieux forés $\varnothing \geq 1.50m$, les puits coulés à pleine fouille, les barrettes, un abattement de 15% est fait sur ces valeurs.

DTU13.2 : Tableau IV Valeurs des coefficients k_c et α (d'après M. Bustamante et L. Gianceselli)

Nature du fût		Fût en béton			Fût métallique		
Mode de mise en place		Battu ou injecté faible pression	Foré	Foré en grand diamètre*	Profilé H battu	Battu	Foré
Valeur maximale de q_{si} (kPa)		120	100 dans la craie	80 dans la craie	120	50	25
Nature du sol	Facteur de portance k_c $q_p = k_c \cdot q_c$	Coefficient α $q_s = q_c / \alpha$					
Argile et craie	0,50	40	60	70	45	80	160
Limon et sols intermédiaire	0,45	50	70	80	55	100	200
Sable lâche $q_c \leq 5MPa$	0,40	80	120	140	90	160	320
Sable moyen $5 \leq q_c < 20 MPa$	0,40	120	180	200	140	250	500
Sable dense $q_c \geq 20 MPa$	0,40	160	240	270	180	330	660
Graves	0,35	160	240	270	180	330	660

* Cette colonne concerne les pieux forés $\varnothing \geq 1.50m$, les puits coulés à pleine fouille.

DTU13.2 : Tableau IVbis Valeurs des coefficients k_c et α et de q_{si} (d'après la commission de concertation des bureaux de contrôle.)



Pour finir le logiciel vérifie les inégalités suivantes :

$$Q_{ELU} \leq (0.5 \cdot Q_{pr} + 0.75 \cdot Q_s)$$

$$Q_{ELS} \leq (0.33 \cdot Q_{pr} + 0.5 \cdot Q_s)$$

2.3 Selon la NF P 94-262

2.3.1 Calcul de la résistance de pointe :

$$R_b = A_b \cdot q_b$$

Avec :

- A_b : surface de base de la fondation
- q_b : valeur de la pression de rupture du terrain à la base du pieu

2.3.2 Pression de rupture :

$$q_b = k_c \cdot q_{ce}$$

Avec :

- k_c : facteur de portance au pénétromètre
- q_{ce} : résistance à la pénétration équivalente

2.3.3 Facteur de portance k_c

Si $D_{ef}/B \geq 5$

$$k_c(D_{ef}/B) = k_{cmax}$$

Si $D_{ef}/B < 5$

Pour les argiles et limons :

$$k_c(D_{ef}/B) = 0,3 + \frac{(k_{cmax} - 0,3) \cdot \left(\frac{D_{ef}}{B}\right)}{5}$$

Pour les sols intermédiaires :

$$k_c(D_{ef}/B) = 0,2 + \frac{(k_{cmax} - 0,2) \cdot \left(\frac{D_{ef}}{B}\right)}{5}$$

Pour les sables et graves :

$$k_c(D_{ef}/B) = 0,1 + \frac{(k_{cmax} - 0,1) \cdot \left(\frac{D_{ef}}{B}\right)}{5}$$

Pour la craie, les marnes et les roches altérées ou fragmentées :

$$k_c(D_{ef}/B) = 0,15 + \frac{(k_{cmax} - 0,15) \cdot \left(\frac{D_{ef}}{B}\right)}{5}$$

Avec :

- B largeur de la base du pieu
- D_{ef} hauteur d'encastrement effective

$$D_{ef} = \frac{1}{q_{ce}} \cdot \int_{D-h_D}^D q_c(z) \cdot dz$$



Avec h_D qui désigne une longueur égale à 10.B.

Valeur du facteur de portance pénétrométrique maximum (k_{cmax}) :

Terrain	Argile Limon	Sols intermédiaires	Sable Grave	Craie	Marne et calcaire- marneux	Roche altérée et fragmentée
Classe de pieu						
1	0,4(2)	0,3(b)	0,2(b)	0,3(b)	0,3(b)	0,3(b)
2	0,45	0,3	0,25	0,3	0,3	0,3
3	0,5	0,5	0,5	0,4	0,35	0,35
4	0,45	0,4	0,4	0,4	0,4	0,4
5 (1)	0,35	0,3	0,25	0,15	0,15	0,15
6 (1)	0,4	0,4	0,4	0,35	0,2	0,2
7 (1)	0,35	0,25	0,15	0,15	0,15	0,15
8	0,45(2)	0,3(2)	0,2(2)	0,3(2)	0,3(2)	0,25(2)

(1) pour les pieux de type battu ouvert, profil H battu et palplanche battue, mise en œuvre par vibrofonçage, un abattement de 50 % est fait sur la valeur du k_c
(2) Pour les micropieux, la résistance de pointe est négligée par défaut.

2.3.4 Résistance de pénétration équivalente :

$$q_{ce} = \frac{1}{b + 3 \cdot a} \cdot \int_{D-b}^{D+3 \cdot a} q_{cc}(z) \cdot dz$$

Avec :

- $q_{cc}(z)$: profil des valeurs pénétrométriques corrigé (valeur écrêtée * 1.3 q_{cm})
- D : profondeur de la fondation
- $a = \max\left\{\frac{B}{2}; 0,5\right\}$
- $b = \min\{a; h\}$
- h : hauteur du pieu contenue dans la formation porteuse
 B : largeur du pieu

2.3.5 Résistance de frottement axial :

$$R_s = P_s \cdot \int_0^D q_s(z) \cdot dz$$

Avec :

- P_s : périmètre du fût du pieu
- $q_s(z)$: frottement axial unitaire limite à la cote z
- D : longueur de la fondation contenue dans le terrain

2.3.6 Frottement axial unitaire q_s :

$$q_s(z) = \alpha_{pieu-sol} \cdot f_{sol}[q_c(z)]$$



Avec :

- $\alpha_{\text{pieu-sol}}$ paramètre adimensionnel qui dépend du type de pieu et du type de sol. Ce paramètre est défini dans le tableau suivant :

N°	Abréviation	Technique de mise en œuvre	Argile Limons	Sols intermédiaires	Sable Grave	Craie	Marne et Calcaire-Marneux	Roche altérée ou fragmentée
1	FS	Foré simple (pieux et barrettes)	0,55	0,65	0,70	0,80	1,40	1,50
2	FB	Foré boue (pieux et barrettes)	0,65	0,80	1,00	0,80	1,40	1,50
3	FTP	Foré tubé (virole perdue)	0,35	0,40	0,40	0,25	0,85	-
4	FTR	Foré tubé (virole récupérée)	0,65	0,80	1,00	0,75	0,13	-
5	FSR, FBR, PU	Foré simple ou boue avec rainurage ou puits	0,70	0,85	-	-	-	-
6	FTC, FTCD	Foré tarière continue simple rotation ou double rotation	0,75	0,90	1,25	0,95	1,50	1,50
7	VM	Vissé moulé	0,95	1,15	1,45	0,75	1,60	-
8	VT	Vissé tubé	0,30	0,35	0,40	0,45	0,65	-
9	BPF, BPR	Battu béton préfabriqué ou précontraint	0,55	0,65	1,00	0,45	0,85	-
10	BE	Battu enrobé (béton, mortier, coulis)-	1,00	1,20	1,45	0,85	1,50	-
11	BM	Battu moulé	0,60	0,70	1,00	0,95	0,95	-
12	BAF	Battu acier fermé	0,40	0,50	0,85	0,20	0,85	-
13	BAO (1)	Battu acier ouvert	0,60	0,70	0,50	0,25	0,95	0,95
14	HB (1)	H battu	0,55	0,65	0,70	0,20	0,95	0,85
15	HBi	H battu injecté IGU ou IRS	1,35	1,60	2,00	1,10	2,25	2,25
16	PP (1)	Palplanches battues	0,45	0,55	0,55	0,20	1,25	1,15
17	M1	Micropieu type I	-	-	-	-	-	-
18	M2	Micropieu type II	-	-	-	-	-	-
19	PIGU, MIGU	Pieu ou micropieu injecté (type III)	1,35	1,60	2,00	1,10	2,25	2,25
20	PIRS, MIRS	Pieu ou micropieu injecté (type IV)	1,70	2,05	2,65	1,40	2,90	2,90

(1) les pieux de type BAO, HB et PP mise en œuvre par vibrofonçage un abattement de 30 % est fait sur le q_s

(2) Pour les pieux de grande longueur (pieu > 25 m) un abattement de 50% est fait sur la partie située à 25m ou plus au-dessus de la pointe

- $f_{\text{sol}}[q_c(z)]$ est fonction du type de pieu et des valeurs de q_c à la profondeur z :

$$f_{\text{sol}}[q_c(z)] = (a \cdot q_c(z) + b) \cdot (1 - e^{-c \cdot q_c(z)})$$



a, b et c sont définis dans le tableau suivant :

Type de sol	Argile Limons	Sols intermédiaires	Sols intermédiaire Sable Grave	Craie	Marne et Calcaire Marneux	Riche altérée ou fragmentée
a	0,0018	0,0015	0,0012	0,0015	0,0015	0,0015
b	0,1	0,1	0,1	0,1	0,1	0,1
c	0,4	0,25	0,15	0,25	0,25	0,25

q_s est limité par les valeurs maximales q_{smax} définies dans le tableau suivant :

N°	Abréviation	Technique de mise en œuvre	Valeurs q_{smax} en kPa					Roche altérée ou fragmentée
			Argile Limons	Sols intermédiaires	Sable Grave	Craie	Marne et Calcaire-Marneux	
1	FS	Foré simple (pieux et barrettes)	90	90	90	20	170	200
2	FB	Foré boue (pieux et barrettes)	90	90	90	200	170	200
3	FTP	Foré tubé (virole perdue)	50	50	50	50	90	-
4	FTR	Foré tubé (virole récupérée)	90	90	90	170	170	-
5	FSR, FBR, PU	Foré simple ou boue avec rainurage ou puits	90	90	-	-	-	-
6	FTC, FTCD	Foré tarière continue simple rotation ou double rotation	90	90	170	200	200	200
7	VM	Vissé moulé	130	130	200	170	170	-
8	VT	Vissé tubé	50	50	90	90	90	-
9	BPF, BPR	Battu béton préfabriqué ou précontraint	130	130	130	90	90	-
10	BE	Battu enrobé (béton, mortier, coulis)-	170	170	260	200	200	-
11	BM	Battu moulé	90	90	130	260	200	-
12	BAF	Battu acier fermé	90	90	90	50	90	-
13	BAO (1)	Battu acier ouvert	90	90	50	50	90	90
14	HB (1)	H battu	90	90	130	50	90	90
15	HBi	H battu injecté IGU ou IRS	200	200	380	320	320	320
16	PP (1)	Palplanches battues	90	90	50	50	90	90
17	M1	Micropieu type I	-	-	-	-	-	-
18	M2	Micropieu type II	-	-	-	-	-	-
19	PIGU, MIGU	Pieu ou micropieu injecté (type III)	200	200	380	320	320	320
20	PIRS, MIRS	Pieu ou micropieu injecté (type IV)	200	200	440	440	440	500

2.3.7 Procédure « modèle de terrain » :

Même procédure qu'avec les essais pressiométriques

2.3.8 Procédure « pieu modèle » :

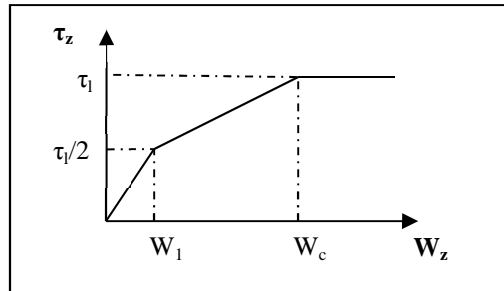
Même procédure qu'avec les essais pressiométriques

3. Tassement : Essais pressiométriques

3.1 Selon l'article de Frank et Zhao Bulletin du LCPC n°119 :

La longueur du pieu est discrétisée en un certain nombre d'éléments, de manière à ce que pour chacun de ceux-ci, la valeur du frottement latéral unitaire τ_z puisse être considérée comme constante.

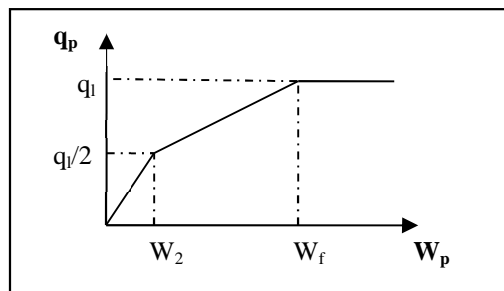
Pour chaque couche, on définit une loi tri linéaire (τ_z, W_z), liant l'enfoncement du pieu à la profondeur z , W_z , au frottement latéral unitaire, de la façon suivante :



Où : - τ_l est le frottement latéral unitaire limite, calculé de la même façon que pour la capacité portante ($\tau_l = q_s$).

$$W_1 = \frac{\tau_l}{2 \cdot B}$$
$$W_c = \frac{3 \cdot \tau_l}{B}$$

On définit de même une loi tri linéaire (q_p, W_p) en pointe, permettant de lier l'enfoncement en pointe de pieu et l'effort axial unitaire en pointe.



Où : - q_l est l'effort axial unitaire limite en pointe ($q_l = q_p$).

$$W_2 = \frac{q_l \cdot D}{2 \cdot R}$$
$$W_f = \frac{3 \cdot q_l \cdot D}{R}$$



Dans ces lois, les paramètres B et R sont des fonctions linéaires du module pressiométrique E_m , définis par les formules suivantes :

$$\begin{aligned} B(kPa/m) &= 2,5 \cdot E_m \\ R &= 11,0 \cdot E_m \end{aligned}$$

Si on connaît le tassement W_h au sommet de la couche située à la profondeur h, on peut déterminer la valeur du frottement latéral unitaire, ainsi que les valeurs des paramètres A_0 et B_0 , vérifiant l'équation $\tau_h = A_0 + B_0 \cdot W_h$ sur la portion de la loi concernée.

On peut ensuite calculer le tassement $W_{h'}$ au sommet de la couche suivante, à la profondeur h' .

Pour cela, on définit les vecteurs d'état

$$V_h = \begin{bmatrix} W_h \\ N_h \\ 1 \end{bmatrix}$$

$$V_{h'} = \begin{bmatrix} W_{h'} \\ N_{h'} \\ 1 \end{bmatrix}$$

où N_h et $N_{h'}$ sont les efforts axiaux aux profondeurs h et h' .

On passe de V_h à $V_{h'}$ par la relation :

$$V_{h'} = [T_{h'}] \cdot V_h$$

$[T_{h'}]$ est une matrice définie par :

Si $\tau_z < \tau_l$

$$[T_{h'}] = \begin{bmatrix} ch(\mu \cdot z') & \frac{-sh(\mu \cdot z')}{\mu \cdot E_b \cdot S} & \frac{A_0}{B_0} \cdot (ch(\mu \cdot z') - 1) \\ -E_b \cdot S \cdot \mu \cdot sh(\mu \cdot z') & ch(\mu \cdot z') & -\frac{E_b \cdot S \cdot A_0 \cdot \mu}{B_0} \cdot sh(\mu \cdot z') \\ 0 & 0 & 1 \end{bmatrix}$$

Si $\tau_z = \tau_l$

$$[T_{h'}] = \begin{bmatrix} 1 & \frac{-z'}{E_b \cdot S} & \frac{\pi \cdot D \cdot \tau_l \cdot z'^2}{2 \cdot E_b \cdot S} \\ 0 & 1 & -\pi \cdot D \cdot \tau_l \cdot z' \\ 0 & 0 & 1 \end{bmatrix}$$

Avec :

- E_b le module d'Young du pieu à la profondeur considérée
- μ un paramètre défini par :

$$\mu = \sqrt{\frac{\pi \cdot D \cdot B_0}{E_b \cdot S}}$$

- S la section du pieu
- D le diamètre du pieu
- z' la différence de profondeur : $z' = h' - h$

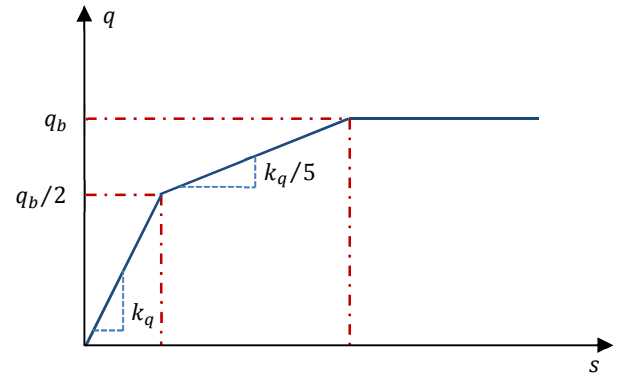
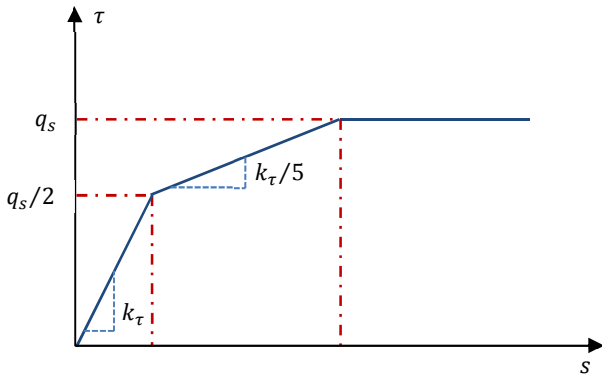
On calcule donc ainsi, à partir d'un tassement supposé W_0 en tête de pieu, le frottement latéral le long du pieu. Puisqu'on a pu calculer également le tassement en pointe, on détermine à l'aide de la loi (q_p , W_p) l'effort en pointe.

Trois cas peuvent alors se présenter :

- si la somme des efforts est supérieure à l'effort appliqué en tête de pieu, alors le tassement initial a été surévalué. On recommence le calcul avec un tassement plus faible ;
- si la somme des efforts est inférieure à l'effort appliqué en tête de pieu, alors le tassement initial a été sous-évalué. On recommence le calcul avec un tassement plus important ;
- si la somme des efforts est égale à l'effort appliqué en tête, le tassement a été correctement évalué.

3.2 Selon la NF P 94-262 :

Le calcul sera identique que précédemment, la différence porte sur les lois de mobilisation du frottement axial et de l'effort de pointe.



Evaluation de la rigidité axiale d'un pieu à partir de la loi de mobilisation du frottement axial

- s déplacement vertical
- q effort sur la pointe
- q_s frottement latéral limite
- q_b effort de pointe limite

Evaluation de la rigidité axiale d'un pieu à partir de la loi de mobilisation de l'effort de pointe

Pour les sols fins (Argiles, limons, et sols intermédiaires) :

$$k_{\tau} = \frac{2,0 \cdot E_m}{B}$$

$$k_q = \frac{11,0 \cdot E_m}{B}$$

Pour les sols granulaires (Sables, graves, sols intermédiaires, craie ...) :

$$k_{\tau} = \frac{0,8 \cdot E_m}{B}$$

$$k_q = \frac{4,8 \cdot E_m}{B}$$

4. Tassement : Essai pénétrométrique

Le tassement est calculé de la même façon que pour le pressiomètre.

Il est en fait demandé une corrélation entre le module pressiométrique E_m et la résistance de pointe q_c , de la forme $E_m = \alpha q_c$, afin de disposer de tous les paramètres nécessaires à la méthode. Les coefficients sont à définir par l'utilisateur lors de la saisie du sondage, mais des valeurs typiques sont données ci-dessous :

Type de sol	α
Argiles	6
Limons	3
Sables	1.5
Graves	1.0



5. Capacité portante : Essai laboratoire (c et φ)

Utilisation du DTU 13.2

5.1 Résistance de pointe

Lorsque l'ancrage D est supérieur ou égal à l'ancrage critique ($D_c = 3 \cdot B$) la contrainte limite de pointe q_{pl} est calculée de la manière suivante

Pour les sols pulvérulents et sols intermédiaires :

$$q_{pl} = a \cdot N_{qmax} + \lambda \cdot c \cdot N_{cmax}$$

Pour les sols purement cohérents ($\varphi_{uu} = 0$) :

$$q_{pl} = 7 \cdot \lambda \cdot c_{uu}$$

Avec :

- a = terme constant ayant les dimensions d'une pression $a = 0.05$ MPa.
- λ est le coefficient de forme :
 - $\lambda = 1.3$ pour les pieux à section circulaire ou carrée
 - $\lambda = 1 + 0,3 \cdot (B/L)$ pour les barrettes et parois de forme allongée (L est la plus grande dimension de la section horizontale de la fondation)
- c et c_{uu} correspondent la cohésion du sol de la couche d'ancrage
- N_{qmax} et N_{cmax} sont les facteurs de force portante sans dimension pour la fondation profonde, fonction de l'angle de frottement interne φ' :

φ' en degré	0	5	10	15	20	25	30	35	40	45
N_{qmax}	1	1,8	3,4	6,5	13	26	57	134	355	1096
N_{cmax}	7	9,6	13,8	20,6	32	54	97	190	421	1095

Pour les valeurs angles de frottement intermédiaires les valeurs de N_{qmax} et N_{cmax} sont extrapolées linéairement.

Lorsque D est inférieur à D_c , la résistance de pointe q_{pr} est déterminée par la formule :

$$q_{pr} = a \cdot \frac{D}{D_c} \cdot N_{qmax} + \lambda \cdot c \cdot \left[N_{cmin} + \frac{D}{D_c} \cdot (N_{cmax} - N_{cmin}) \right]$$

Avec N_{cmin} facteur de cohésion minimal :

φ' en degré	0	5	10	15	20	25	30	35	40	45
N_{cmin}	5,14	6,5	8,5	11	15	21	30	46	75	135



5.2 Frottement latéral

Q_s est le frottement total mobilisable à la rupture, donné par la formule :

$$Q_s = P \cdot \int_0^h q_s(z) \cdot dz$$

q_s est le frottement latéral unitaire, estimé :

Pour les sols purement cohérents ou cohérents prédominant par la formule :

$$q_s = \beta \cdot c_{uu}$$

Avec β coefficient généralement ≤ 1 :

Type de pieu	Nature du fût	β
Puits et pieux forés de gros diamètre	Fût en béton	0,6
Pieux forés	Fût en béton	0,7
	Fût en métal	0,5
Pieux battus	Fût en béton	0,7
	Fût en métal	0,5
Pieux injectés	Faible pression	1
	Forte pression	1,5

Les valeurs de q_s données par la formule précédente sont bornées supérieurement par les limites fixées par les tableaux IV et IVbis qui figurent dans le paragraphe 2.2 de cette même partie (Pieux – Considération théoriques).

Pour les sols purement pulvérulents ou pulvérulents prédominant :

Les valeurs prises sont les valeurs maximales de q_s données par les tableaux IV et IVbis qui figurent dans le paragraphe 2.2.

Pour finir, le logiciel vérifie les inégalités suivantes :

$$Q_{ELU} \leq (0.5 \cdot Q_{pr} + 0.75 \cdot Q_s)$$

$$Q_{ELS} \leq (0.33 \cdot Q_{pr} + 0.5 \cdot Q_s)$$

6. Frottement négatifs

6.1 Calcul sur un pieu isolé

La méthode est celle du Fascicule 62 Titre V, Annexe G2 et de la NF P 94-262 Annexe H.

Tout d'abord, il est nécessaire de calculer le long du pieu :

$\sigma'_1(z)$, qui désigne la contrainte verticale effective « non perturbée » correspondant à celle qui régnerait dans le sol en l'absence de l'élément de fondation.

Elle est calculée dans l'axe du pieu en tenant compte de p_0 (surcharge uniforme) :

$$\sigma'_1(z) = p_0 + \int_0^z \gamma(z) \cdot dz$$

Avec γ le poids volumique des sols éventuellement déjaugés.



La longueur du pieu est ensuite discrétisée en un certain nombre d'éléments, de manière à ce que pour chacun de ceux-ci, la valeur de $d\sigma'_v/dz$ le long de l'axe du pieu est considérée comme constante.

La contrainte verticale effective à long terme à la profondeur z , $\sigma'_v(z)$, est ensuite calculée tenant compte de la perturbation engendrée par l'accrochage du sol autour du pieu pour chaque couche : Ce calcul s'effectue de proche en proche à chaque couche en partant de la valeur en tête du pieu $\sigma'_v(0)$, est égale à la surcharge p_0 . En utilisant la valeur $\sigma'_v(z_j)$ valeur de $\sigma'_v(z)$ au sommet de la couche j , on peut déterminer la valeur de $\sigma'_v(z_{j+1})$ valeur au sommet de la couche suivante $j+1$.

Si $\mu(\lambda) \neq 0$

$$\sigma'_v(z_{j+1}) = \sigma'_v(z_j) + \left(L_0 \cdot \frac{d\sigma'_v}{dz} - \sigma'_v(z_j) \right) \cdot \left(1 - e^{-\frac{\Delta z_j}{L_0}} \right)$$

Si $\mu(\lambda) = 0$

$$\sigma'_v(z_{j+1}) = \sigma'_v(z_j) + \Delta z_j \cdot \frac{d\sigma'_v}{dz}$$

Où :

- Δz_j représente l'épaisseur de la couche considérée, soit $\Delta z_j = z_{j+1} - z_j$
- $\mu(\lambda)$ et L_0 sont des paramètres caractéristiques de l'équation, données par :

$$\mu(\lambda) = \frac{\lambda^2}{1 + \lambda}$$

$$L_0 = \frac{R}{\mu(\lambda) \cdot k \cdot \tan \delta}$$

Où :

- R : rayon équivalent du pieu $R = \frac{P}{2 \cdot \pi}$ avec P : périmètre du pieu
- λ : coefficient caractérisant l'amplitude de l'accrochage du sol autour de la fondation

Si $k \cdot \tan \delta \leq 0,150$

$$\lambda = \frac{1}{0,5 + 25 \cdot k \cdot \tan \delta}$$

Si $0,150 \leq k \cdot \tan \delta \leq 0,385$

$$\lambda = 0,385 - k \cdot \tan \delta$$

Si $k \cdot \tan \delta > 0,385$

$$\lambda = 0$$

Le terme $k \cdot \tan \delta$ est donné par l'utilisateur, il peut être déduit du tableau ci-dessous, extrait du Fascicule 62 Titre V Annexe G2 i2.2 ou NF P 94-262 tableau H2.2.1:

		Pieux forés tubés	Pieux forés	Pieux battus
TOURBES	Sols organiques	0.10	0.15	0.20
ARGILES LIMONS	mous	0.10	0.15	0.20
	Fermes à durs	0.15	0.20	0.30
SABLES GRAVES	Très lâches	0.35		
	lâches	0.45		
	autres	1.00		

Nous obtenons donc la valeur du frottement négatif au milieu de la couche i :

$$G_{nj} \text{ ou } F_n(z_j) = P \cdot k \tan \delta \cdot \left(\frac{\sigma'_v(z_j) + \sigma'_v(z_{j+1})}{2} \right)$$

Nous comparons $\sigma'_{v(z_{j+1})}$ à la contrainte effective préexistante dans le terrain avant exécution de la fondation $\sigma'_{v0(z_{j+1})}$.

Si $\sigma'_{v(z_{j+1})}$ est inférieure à celle-ci, cela permet de déterminer la valeur de h_1 , où l'effet de la surcharge provoque l'apparition du frottement disparaît.

Et pour finir, le frottement négatif total F_n ou G_{sn} est calculé :

$$G_{sn} \text{ ou } F_n(\infty) = \sum_n^{i=h} F_{nj}(z_i) \cdot \Delta z_i$$

Le calcul sera limité par la plus faible des hauteurs h_1 et h_2 .

- h_2 correspond au niveau où le tassement restant à acquérir par le sol après exécution de la fondation, calculé sans tenir compte de celle-ci, devient égal à $B/100$.
- h_1 est à saisir par l'utilisateur, il peut être calculé à l'aide du module de calcul sous remblai, qui se trouve dans le module fondation superficielle.

6.2 Calcul sur un élément de fondation au sein d'un groupe

Pour cela il faut calculer un $F_n(b)$ ou $G_{sn}(b)$ qui représente la valeur du frottement négatif sur l'élément considéré, supposé au sein d'un groupe illimité d'éléments identiques.

Le principe de calcul est le même que pour un pieu isolé. Les expressions de $F_n(b)$ et de la contrainte $\sigma'_{v(z)}$ correspondante sont celles relatives à l'élément isolé, dans lesquelles $\mu(\lambda)$ est remplacé par $\mu(\lambda, b)$ dont la valeur est la suivante :

Si $\lambda \neq 0$

$$\mu(\lambda, b) = \frac{\lambda^2}{1 + \lambda - \left(1 + \frac{\lambda \cdot b}{R}\right) \cdot e^{-\lambda \frac{b-R}{R}}}$$

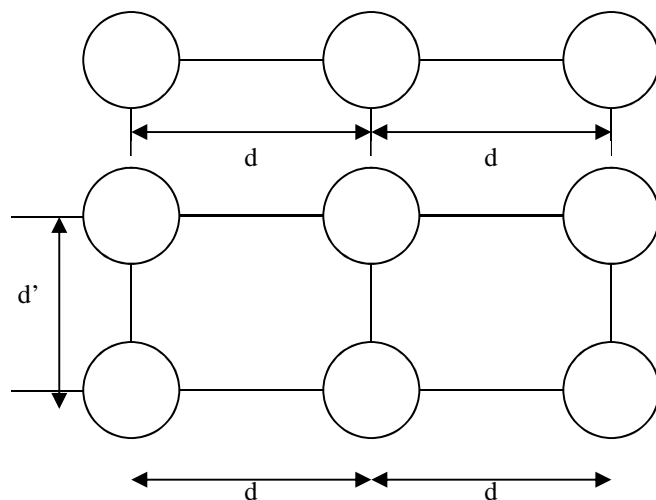
Si $\lambda = 0$

$$\mu(\lambda, b) = \frac{2}{\left(\frac{b}{R}\right) - 1}$$

Avec b rayon du volume cylindrique de sol entourant le pieu défini de la façon suivante :

File unique : $b = \frac{d}{\sqrt{\pi}}$

Plusieurs files : $b = \sqrt{\frac{d \cdot d'}{\pi}}$



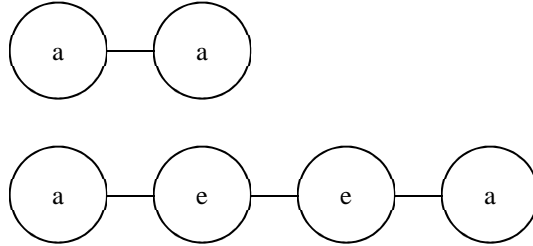
Avec :

- d , entraxe des éléments de fondation d'une même file.
- d' , entraxe des éléments de fondations des files voisines.

La valeur de $F_n(b)$ est bornée supérieurement par $\pi \cdot b^2 \cdot q_0$ où q_0 est la surcharge uniforme à la surface du TN.

6.2.1 File unique

Les éléments d'extrémité de la file sont repérés par l'indice a, les autres éléments portent l'indice e, suivant le schéma suivant :



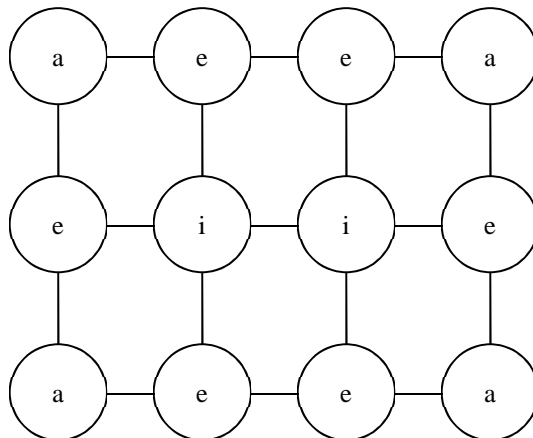
La valeur du frottement négatif sur chaque type d'éléments est donnée par :

$$F_{na} = \frac{1}{3} \cdot F_n(b) + \frac{2}{3} \cdot F_n(\infty)$$

$$F_{ne} = \frac{2}{3} \cdot F_n(b) + \frac{1}{3} \cdot F_n(\infty)$$

6.2.2 Plusieurs files

Les éléments d'angle sont repérés par l'indice a, ceux de la frontière du groupe par l'indice e et les éléments intérieurs au groupe par l'indice selon le schéma ci-dessous.



La valeur du frottement négatif sur chaque type d'éléments est donnée par :

$$F_{na} = \frac{7}{12} \cdot F_n(b) + \frac{5}{12} \cdot F_n(\infty)$$

$$F_{ne} = \frac{5}{6} \cdot F_n(b) + \frac{1}{6} \cdot F_n(\infty)$$

$$F_{ni} = F_n(b)$$



7. Vérification des caractéristiques du béton :

7.1 Selon le fascicule 62 Titre V :

Calcul de la résistance conventionnelle:

$$f_c = \frac{\min\{f_{c28}; f_{clim}\}}{k_1 \cdot k_2}$$

Avec :

- f_{c28} résistance caractéristique du béton à 28 jours (donnée par l'utilisateur)
- f_{clim} résistance limite du béton donnée par la tableau ci-après
- k_1 coefficient tenant compte du mode de mise en place dans le sol cf. la tableau ci-après :

Groupe A	f_{clim}	k_1
Pieux ou parois préfabriqués mise en place par forage	f_{c28}	1,00
Pieux tubulaires précontraints	30 MPa	1,15
Pieux préfabriqués battus en béton armé	30 MPa	1,15
Puits avec béton vibré	f_{c28}	1,00
Puits avec béton non vibré	f_{c28}	1,20

Groupe B		f_{clim}	k_1
Pieux battus pilonnés		25 MPa	1,20
Pieux battus moulés		25 MPa	1,20
Pieux et barrettes forés simples		25 MPa	1,20
Pieux forés tubés	Bétonnés à sec	25 MPa	1,10
	Bétonnés sous l'eau	25 MPa	1,20
Pieux forés à la tarière creuse	Type 1	25 MPa	1,50
	Type 2	25 MPa	1,20
	Type 3	25 MPa	1,05
Pieux et barrettes bétonnées sous boue, parois moulées		25 MPa	1,20

- k_2 coefficient tenant des difficultés de bétonnage liées à la géométrie :

Eléments du groupe A :

$$k_2 = 1,00$$

Eléments du groupe B :

- dont le rapport de la plus petite dimension nominale d (m) à la longueur est inférieur à 1/20:
 $k_2 = 1,05$

- dont la plus petite dimension nominale d est inférieure à 0,60 m :
 $k_2 = 1,30 - (d/2)$

- réunissant les deux conditions précédentes :
 $k_2 = 1,35 - (d/2)$

- autres cas :

$$k_2 = 1,00$$



Résistance à la traction :

$$f_t = 0,6 + 0,06 \cdot f_c$$

Modules de déformation longitudinale du béton :

- Instantanée :

$$E_{ij} = 11000 \cdot \sqrt[3]{f_c}$$

- Différé :

$$E_{vj} = 3700 \cdot \sqrt[3]{f_c}$$

Contrainte moyenne de compression du béton sur la surface comprimée à l'ELS :

$$\sigma_{moy\ ELS} = 0,3 \cdot f_c$$

Contrainte maximale de compression du béton sur la surface comprimée à l'ELS :

$$\sigma_{max\ ELS} = 0,6 \cdot f_c$$

Effort maximal de compression :

$$N_{ELS} = \sigma_{moy\ ELS} \cdot A$$

Avec A aire de la section du pieu.



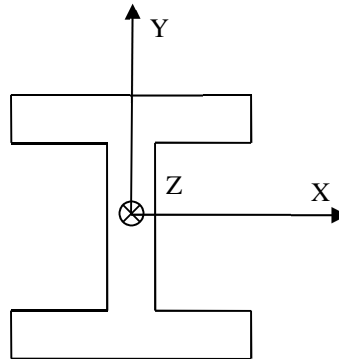
GRUPE DE PIEUX

1. Calcul de la matrice de Rigidité S

Dans un premier temps, il faut calculer la matrice de rigidité de chaque pieu pour chaque cas de charge.

La matrice de rigidité est donnée dans le repère lié au pieu (X,Y,Z) et se présente comme suit :

$$S = \begin{bmatrix} \frac{P_z}{\delta_z} & 0 & 0 & 0 & 0 & 0 \\ 0 & \frac{P_y}{\delta_y} & 0 & 0 & 0 & \frac{P'_y}{\theta_x} \\ 0 & 0 & \frac{P_x}{\delta_x} & 0 & -\frac{P'_x}{\theta_y} & 0 \\ 0 & 0 & 0 & \frac{2,5 \cdot G' \cdot I_t}{L} & 0 & 0 \\ 0 & 0 & -\frac{M'_y}{\delta'_x} & 0 & \frac{M_y}{\theta_y} & 0 \\ 0 & \frac{M'_x}{\delta'_y} & 0 & 0 & 0 & \frac{M_x}{\theta_x} \end{bmatrix}$$



Avec :

- P_x, P_y et P_z : efforts appliqués sur la tête du pieu respectivement suivant les axes X, Y et Z
- M_x et M_y : moments appliqués en tête du pieu respectivement autour des axes X et Y
- δ_z : déplacement vertical de la tête du pieu, sous l'effort P_z .
- δ_x et δ_y : déplacements horizontaux respectivement suivant les axes X et Y de la tête du pieu, sous les efforts P_x, P_y : lorsque les rotations en tête sont nulles.
- θ_x et θ_y : rotations de la tête du pieu respectivement autour des axes X et Y, pour les Moments M_x et M_y , lorsque les déplacements en tête sont nuls.
- P'_x et P'_y : efforts appliqués sur la tête du pieu respectivement suivant l'axe X et Y produits par les moments M_x et M_y : avec des déplacements nuls en tête du pieu
- M'_x et M'_y : moments appliqués en tête du pieu respectivement autour des axes X et Y produits par les efforts P_x et P_y : avec des rotations nulles en tête du pieu.

Les efforts P_x, P_y et P_z et les moments M_x et M_y sont estimés par le calcul de la matrice de rigidité en divisant les efforts et moments de la combinaison par le nombre de pieux du groupe et en prenant en compte l'excentrement et les différents angles du pieu.

Les efforts sont en kN et les moments kN.m.



G' module de cisaillement :

$$G' = \frac{E}{2 \cdot (1 + \mu)}$$

Avec :

- E (kPa) : module de Young du pieu
- μ : coefficient de poisson du pieu

Normalement, les coefficients M'_x/δ_y et P'_y/θ_x respectivement M'_y/δ_x M'_y/δ_x et P'_x/θ_y doivent être égaux, la moyenne des deux valeurs calculées est donc retenue.

1.1 Calcul du déplacement axial δ_z dans l'axe du pieu:

Pour cela nous calculons le tassement en utilisant la méthode de Frank et Zhao (cf. paragraphe sur le tassement). S'il n'y a pas convergence de la méthode de Frank et Zhao, la rigidité axiale du pieu correspond à l'élément [1,1] = P_z/δ_z de la matrice de rigidité S, qui sera calculée :

$$S[1,1] = \frac{\lambda \cdot A \cdot E}{L}$$

Avec :

- λ : facteur de forme, entré par l'utilisateur
- A : aire du pieu (m²)
- L : longueur de pieu (m)
- E : module de Young (kPa)

Pour un pieu « élastique » $\lambda = 1$.

1.2 Calcul des déplacements horizontaux δ_y et δ_x :

Pour le calcul des déplacements en tête, nous utilisons une méthode de calcul aux différences finis de pieu avec prise en compte de loi de mobilisation de réaction frontale non-linéaire.

Il est nécessaire de donner l'effort en tête suivant l'axe X ou Y, ainsi que les moments d'inertie en X et Y.

Pour ce calcul, il est nécessaire de donner le comportement transversal du sol pour chaque couche.

Ce comportement transversal est décomposé en une réaction frontale et réaction tangentielle.



• Réaction frontale

Pour chaque couche de sol une loi de mobilisation de la réaction frontale en fonction du déplacement latéral δ du pieu définie par le diagramme ci-dessous :

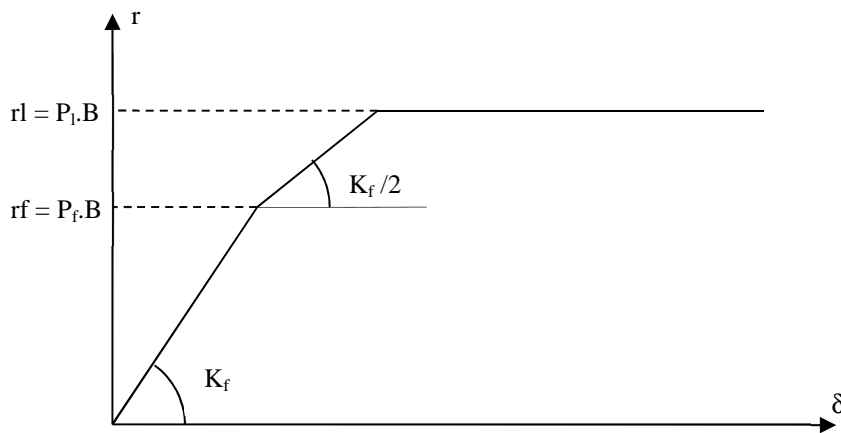


Diagramme d'interaction de la loi de mobilisation par des sollicitations de courte durée.

Avec :

- p_l pression limite définie par les données du sol
- p_f pression de fluage définie par les données du sol
- K_f module de réaction du sol donné dans le fascicule 62 Titre V Annexe C5 pour des sollicitations de courte durée :

Si $B \geq 0,6$ m

$$K_f = \frac{12 \cdot E_m}{\frac{4}{3} \cdot \frac{0,6}{B} \cdot (2,65 \cdot \frac{B}{0,6})^\alpha + \alpha}$$

Si $B \leq 0,6$ m

$$K_f = \frac{12 \cdot E_m}{\frac{4}{3} \cdot (2,65)^\alpha + \alpha}$$

Avec :

- α est un coefficient caractérisant le sol, donné par les tableaux suivants
- E_m est le module pressiométrique
- B est le diamètre du pieu.

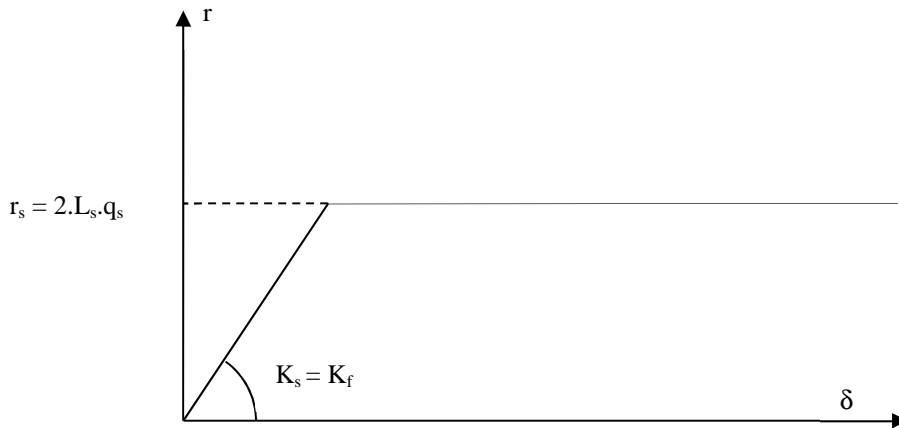
TYPE	Tourbe		Argile			Limon		Sable		Grave	
	α	E_M/p_l	α								
Surconsolidé ou très serré	-	>16	1	>14	2/3	>12	1/2	>10	1/3		
Normalement consolidé ou normalement serré	1	9-16	2/3	8-14	1/2	7-12	1/3	6-10	1/4		
Sous-consolidé altéré et remanié ou lâche	-	7-9	1/2	5-8	1/2	5-7	1-3				

Rocher	
TYPE	α
Très peu fracturé	2/3
Normal	1/2
Très fracturé	1/3
Très altéré	2/3

Si les sollicitations sont de longue durée alors la valeur de K_f sera divisée par deux.

- Réaction tangentielle :

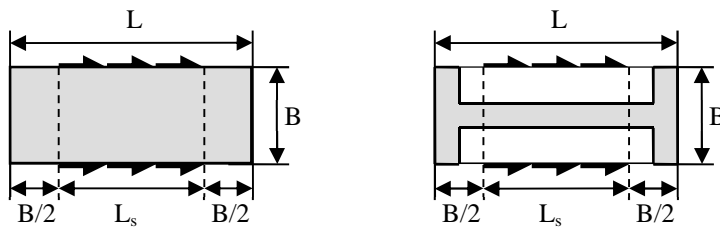
La loi de mobilisation de la réaction tangentielle est définie par le diagramme ci-dessous :



Avec :

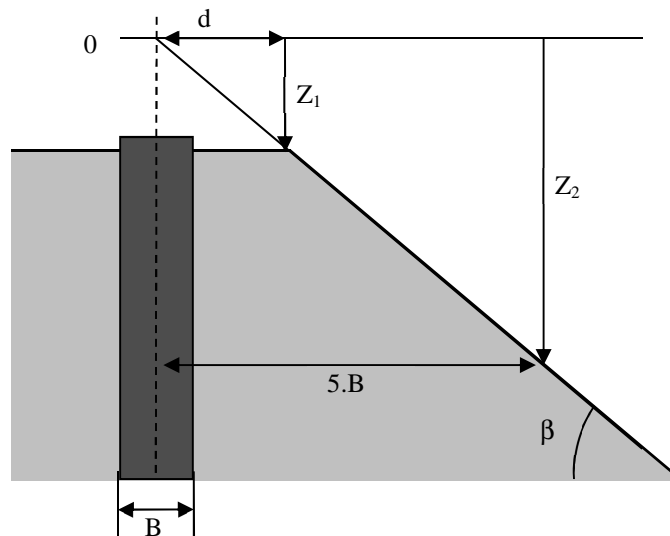
- q_s : frottement latéral unitaire limite.
- L_s : longueur sur laquelle est calculé le frottement latéral, selon les schémas ci-dessous :

$$L_s = L - B$$



- K_s : module de réaction du sol, égal au module de réaction frontale K_f .

Dans le cas de présence d'un talus les valeurs de r_s , r_f et r_1 seront pondérées comme suit :



Entre Z_1 et Z_2 les paliers plastiques varient linéairement de la façon suivante :

$$r_s = \frac{r_s}{Z_2} \cdot (Z_1 + z)$$



- Réaction globale (réaction frontale + réaction tangentielle) :

La loi de mobilisation de la réaction globale est la somme de la réaction frontale et de la réaction tangentielle définie ci-dessous :

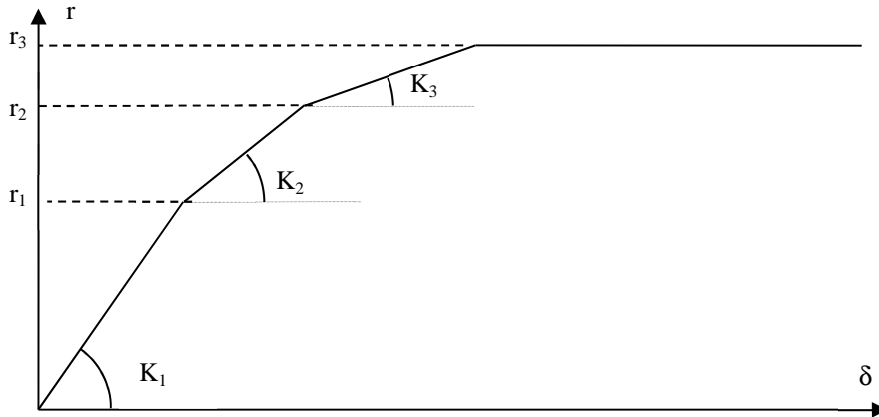


Diagramme global résultant pour des sollicitations de courte durée.

3 cas sont donc possibles :

Cas 1 : $r_s \leq r_f$

$$\begin{aligned} K_1 &= 2 \cdot K_f & r_1 &= 2 \cdot r_s \\ K_2 &= K_f & r_2 &= r_s + r_f \\ K_3 &= \frac{1}{2} \cdot K_f & r_3 &= r_s + r_l \end{aligned}$$

Cas 2 : $r_f < r_s$ et $\frac{r_s}{K_f} \leq \frac{r_l}{K_f}$

$$\begin{aligned} K_1 &= 2 \cdot K_f & r_1 &= 2 \cdot r_f \\ K_2 &= \frac{3}{2} \cdot K_f & r_2 &= \frac{1}{2} \cdot r_f + \frac{3}{2} \cdot r_s \\ K_3 &= \frac{1}{2} \cdot K_f & r_3 &= r_s + r_l \end{aligned}$$

Cas 2 : $r_f < r_s$ et $\frac{r_s}{K_f} > \frac{r_l}{K_f}$

$$\begin{aligned} K_1 &= 2 \cdot K_f & r_1 &= 2 \cdot r_f \\ K_2 &= \frac{3}{2} \cdot K_f & r_2 &= \frac{1}{2} \cdot r_f + \frac{3}{2} \cdot r_l \\ K_3 &= \frac{1}{2} \cdot K_f & r_3 &= r_s + r_f \end{aligned}$$

Pour les zones proches de la surface, le module de réaction du sol et la valeur de palier sont minorés sur une profondeur Z_c .

$Z_c = 2 \cdot B$ si le sol sous la fondation est cohérent et $Z_c = 4 \cdot B$ si le sol est frottant.

Quand $z < Z_c$ alors les paliers seront :

$$r = 0,5 \cdot \left(1 + \frac{z}{Z_c} \right)$$

1.3 Calcul des rotations θ_x et θ_y :

On utilise la même méthode que précédemment en imposant les moments en tête.

2. Calcul de la décomposition des efforts.

On pose :

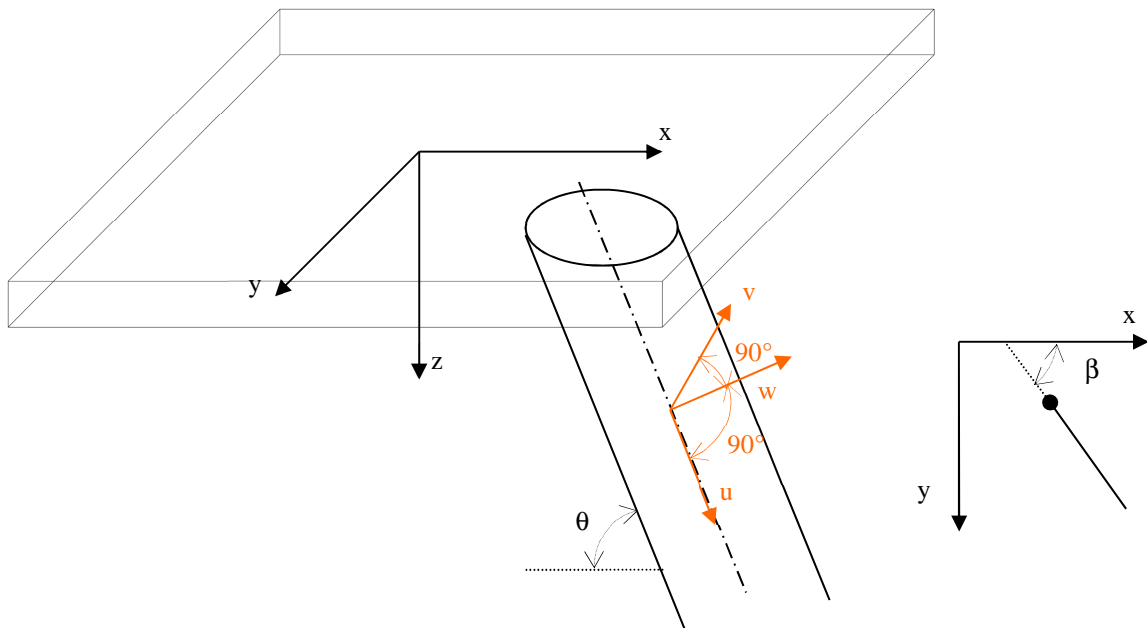
- [F] : torseur des efforts dans le repère global xyz
- [P] : torseur des efforts dans le repère local du pieu uvw
- [A] : matrice de transfert entre chaque repère pour chaque pieu
- [e] : matrice représentant le déplacement du pieu dans le repère local du pieu uvw
- [X] : matrice représentant le déplacement dans le repère global xyz

$$[P] = \begin{bmatrix} P'_x \\ P'_y \\ P'_z \\ M'_x \\ M'_y \\ M'_z \end{bmatrix} = [A] \cdot [F]$$

$$= \begin{bmatrix} \cos \theta \cdot \cos \beta & \sin \beta & \sin \theta \cdot \cos \beta & 0 & 0 & 0 \\ \cos \theta \cdot \sin \beta & -\cos \beta & \sin \theta \cdot \sin \beta & 0 & 0 & 0 \\ \sin \theta & 0 & -\cos \theta & 0 & 0 & 0 \\ Y \cdot \sin \theta - Z \cdot \cos \theta \cdot \sin \beta & Z \cdot \cos \beta & Y \cdot \cos \theta - Z \cdot \sin \theta \cdot \sin \beta & \cos \theta \cdot \cos \beta & \sin \beta & \sin \theta \cdot \cos \beta \\ Z \cdot \cos \theta \cdot \cos \beta - X \cdot \sin \theta & Z \cdot \sin \beta & Z \cdot \sin \theta \cdot \cos \beta + X \cdot \cos \theta & \cos \theta \cdot \sin \beta & -\cos \beta & \sin \theta \cdot \sin \beta \\ X \cdot \cos \theta \cdot \sin \beta - Y \cdot \cos \theta \cdot \cos \beta & -Y \cdot \sin \beta - X \cdot \cos \beta & X \cdot \sin \theta \cdot \sin \beta - Y \cdot \sin \theta \cdot \cos \beta & \sin \theta & 0 & -\cos \theta \end{bmatrix}$$

Avec :

- θ est l'angle que fait le pieu avec l'horizontale
- β est l'angle du pieu projeté sur l'axe x
- X, Y et Z sont les coordonnées de la position de la tête du pieu dans le repère global xyz





On a :

$$[e] = [A]^T \cdot [X]$$

$$[F] = [S] \cdot [e] = [S] \cdot [A]^T \cdot [X]$$

$$[P] = [S] \cdot [A]^T \cdot [S] \cdot [X]$$

Ce qui va permettre de calculer le déplacement en tête de chaque pieu selon le calcul matriciel.

$$[e] = [A] \cdot ([S] \cdot [A]^T \cdot [S])^{-1} \cdot [P]$$

Et les efforts en tête de pieu :

$$[F] = [S] \cdot [e]$$



COLONNES BALLASTEES

1. Capacité portante

1.1 Recommandations COPREC-SOFFONS :

La contrainte de rupture par expansion latérale (q_{re}) est donnée par :

$$q_{re} = \tan^2 \left(\frac{p_i}{4} + \frac{\varphi'}{2} \right) \cdot p_{le}^*$$

Avec :

- φ'_c est l'angle de frottement inter granulaire de la colonne
- p_{le}^* est la pression limite nette équivalente, calculée comme pour les semelles, sur une profondeur égale à 1.5 fois le diamètre de la colonne.
-

Les contraintes admissibles à l'ELS et à l'ELU sont ensuite calculées de la façon suivante :

$$q_{aELS} = \min \left(0,8 \text{ MPa}; \frac{q_{re}}{2} \right)$$

$$q_{aELU} = \frac{q_{re}}{1,5}$$

1.2 Méthode du modèle homogène équivalent (colonnes sous semelle) :

Les valeurs des données du modèle (E_{Me} , P_{le}^* , α_e), à chaque profondeur, sont déterminées par :

$$E_{Me} = \frac{A_s \cdot E_{Ms} \cdot R_{Em} + A_c \cdot E_{Mc}}{A}$$

$$P_{le}^* = \frac{A_s \cdot P_{ls}^* \cdot R_{Em} + A_c \cdot P_{lc}^*}{A}$$

$$\alpha_e = \frac{A_s \cdot \alpha_s + A_c \cdot \alpha_c}{A}$$

Avec :

- A, l'aire totale de la maille comprenant la colonne
- A_c , la section de la colonne
- A_s , l'aire du sol dans la maille ($= A - A_c$)
- E_{Ms} , le module pressiométrique du sol
- E_{Mc} , le module pressiométrique de la colonne
- p_{ls}^* , la pression limite du sol
- p_{lc}^* , la pression limite de la colonne
- α_s , le coefficient rhéologique du sol
- α_c , le coefficient rhéologique de la colonne

A partir de ce modèle homogène équivalent, la capacité portante est calculée par la méthode du DTU pour les essais pressiométriques (cf. modules fondations superficielles).



1.3 Méthode FHWA

Calcul de la contrainte maximale dans la colonne avec la formule suivante (celle-ci sera comparé à la contrainte admissible q_{aELS} calculée précédemment) :

$$\sigma_c(z) = \Delta\sigma(z) \cdot \frac{N(z)}{1 + (N(z) - 1) \cdot A_s}$$

Avec :

- $N(z)$ le coefficient de concentration des contraintes

$$N(z) = \frac{E_{coedo}}{1,6 \cdot R_{Em} \cdot \frac{E_m(z)}{\alpha(z)}}$$

- E_{coedo} module œdométrique de la colonne
- R_{Em} coefficient d'amélioration des caractéristiques du sol en place dû à la réalisation des colonnes ballastées par refoulement.
- $E_m(z)$ module pressiométrique du sol à la profondeur z
- α coefficient rhéologique du sol à la profondeur z
- A_s aire du sol dans la maille :

$$A_s = A - A_c$$

- A l'aire totale de la maille comprenant la colonne
- A_c section de la colonne
- $\Delta\sigma(z)$ accroissement de la contrainte à la profondeur z dû à la surcharge.

La contrainte dans le sol sera calculée par la formule :

$$\sigma_s(z) = \Delta\sigma(z) \cdot \frac{1}{1 + (N(z) - 1) \cdot A_s}$$

1.4 Méthode de Priebe (Colonne sous radier)

On cherche à vérifier dans cette méthode que la contrainte dans la colonne σ_c est inférieure à la contrainte admissible q_{aELS} calculée précédemment.

La valeur de la contrainte dans la colonne est donnée par :

$$\sigma_c = \frac{\sigma \cdot A - \sigma/n_0 \cdot A_s}{A_c}$$

Avec :

- A , l'aire totale de la maille comprenant la colonne
- A_c , la section de la colonne
- A_s , l'aire du sol dans la maille $A_s = A - A_c$
- σ , la contrainte appliquée en tête de la colonne,
- n_0 , le facteur d'amélioration moyen de la colonne :

$$n_0 = 1 + \frac{A_c}{A} \cdot \left[\left(\frac{0,5 + f(v_c, A_c/A)}{K_{ac} \cdot f(v_c, A_c/A)} - 1 \right) \right]$$

Avec K_{ac} coefficient de poussée de la colonne sur le sol :

$$K_{ac} = \tan^2 \left(\frac{\pi}{4} - \frac{\varphi_c}{2} \right)$$

$$f(v_c, A_c/A) = \frac{(1 - v_c) \cdot (1 - A_c/A)}{1 - 2 \cdot v_c + A_c/A}$$

- v_c coefficient de poisson de la colonne
- φ_c angle de frottement inter granulaire de la colonne



Pour les radiers, l'aire A de la maille comprenant la colonne est déterminée suivant le type de maillage, et la taille m de la maille, comme suit :

- maille triangulaire :

$$A = \frac{\pi \cdot (1,05 \cdot m)^2}{4}$$

- maille carrée :

$$A = \frac{\pi \cdot (1,13 \cdot m)^2}{4}$$

- maille hexagonale :

$$A = \frac{\pi \cdot (1,29 \cdot m)^2}{4}$$

2. Tassements

2.1 Calcul des tassements pour des colonnes sous radier

2.1.1 Tassements avant traitement

Le tassement avant traitement S_0 est donné par :

$$S_0 = \sigma \cdot \int_D^{D+h_c} \frac{\alpha(z)}{E_M(z)} \cdot dz$$

Avec :

- σ : contrainte appliquée
- α : coefficient rhéologique
- E_M : module pressiométrique
- h_c : hauteur de la colonne
- D encastrement de la colonne

Dans le cas de colonnes flottantes, il est calculé aussi le tassement entre la base de la colonne et le substratum de la même manière, le tassement total sera ainsi la somme des deux tassements calculés.

2.1.2 Tassements par la méthode de Priebe

Le tassement S_f calculé par la méthode de Priebe est donné par :

$$S_f = \sigma \cdot \int_D^{D+h_c} \frac{\alpha(z)}{E_M(z) \cdot n_1(z) \cdot f_z(z)} \cdot dz$$

Avec :

- σ : contrainte appliquée
- $\alpha(z)$: coefficient rhéologique
- $E_M(z)$: module pressiométrique du sol amélioré
- h_c : hauteur de la colonne
- $n_1(z)$: facteur d'amélioration
- $f_z(z)$: facteur de profondeur



Le facteur d'amélioration n_1 est calculé comme suit, pour une couche donnée :

$$n_1 = 1 + \frac{\overline{A_c}}{A} \cdot \left[\left(\frac{0,5 + f(v_c, \overline{A_c/A})}{K_{ac} \cdot f(v_c, \overline{A_c/A})} - 1 \right) \right]$$

Avec :

$\overline{A_c/A}$, le rapport des sections corrigé, donné par :

$$\frac{\overline{A_c}}{A} = \frac{1}{A/A_c + \Delta(A/A_c)}$$

- $\Delta(A/A_c)$ accroissement de la section de la colonne, donné par
 $\Delta(A/A_c) = (A/A_c)_1 - 1$
- $(A/A_c)_1$ est déterminé de manière itérative pour que le rapport n_0 (facteur d'amélioration basique) soit égal au rapport E_{coedo} / E_{soedo}

K_{ac} , le coefficient de poussée du ballast, donné par :

$$K_{ac} = \tan^2 \left(\frac{\pi}{4} - \frac{\varphi_c}{2} \right)$$

f : fonction du coefficient de Poisson ν_s et du rapport des sections corrigé, définie par :

$$f(v_c, \overline{A_c/A}) = \frac{(1 - \nu_c) \cdot (1 - \overline{A_c/A})}{1 - 2 \cdot \nu_c + \overline{A_c/A}}$$

La valeur du facteur de profondeur f_z à la profondeur z est quant à elle donnée par :

$$f_z(z) = \frac{1}{1 - y \cdot \frac{\sigma'_{v0}(z)}{\sigma}}$$

Avec : y , le coefficient d'influence, donné par :

$$y = \frac{1 - K_{0c}}{K_{0c}} \cdot \frac{\overline{A_c/A} + (f(v_c, \overline{A_c/A}) \cdot K_{ac} \cdot (1 - \overline{A_c/A}))}{0,5 + f(v_c, \overline{A_c/A})}$$

$$K_{0c} = 1 - \sin \varphi_c$$

σ , la contrainte appliquée

σ'_{v0} , la contrainte effective du sol à la profondeur z

On s'assure en outre que :

$$1 \leq f_z(z) \leq \frac{0,5 + f(v_c, \overline{A_c/A})}{K_{ac} \cdot f(v_c, \overline{A_c/A})} \cdot \frac{E_{coedo}}{E_{soedo}}$$

Avec E_{coedo} le module œdométrique de la colonne

E_{soedo} le module œdométrique du sol, après amélioration

On s'assure aussi que

$$n_1 \cdot f_z(z) \leq 1 + \frac{A_c}{A} \cdot \left(\frac{E_{coedo}}{E_{soedo}} - 1 \right)$$



2.1.3 Tassements par la méthode du modèle homogène équivalent

Ici, on détermine le tassement S_f simplement par la formule :

$$S_f = \sigma \cdot \int_D^{D+h_c} \frac{\alpha_e(z)}{E_{Me}(z)} \cdot dz$$

Avec :

- σ , la contrainte appliquée
- α_e , le coefficient rhéologique du modèle équivalent
- E_{Me} , le module pressiométrique du modèle équivalent (cf paragraphe ci-dessus)
- h_c , hauteur de la colonne

2.1.4 Tassement par la méthode FHWA

Dans cette méthode, pour chaque couche i , on calcule :

$N(z)$, le coefficient de concentration des contraintes, donné par :

$$N(z) = \frac{E_{coedo}}{1,6 \cdot R_{Em} \cdot \frac{E_m(z)}{\alpha(z)}}$$

Où :

- E_{coedo} est le module œdométrique de la colonne
- R_{Em} est le coefficient d'amélioration des caractéristiques du sol en place dû à la réalisation des colonnes ballastées par refoulement
- $E_m(z)$ est le module pressiométrique du sol à la profondeur z
- α est le coefficient rhéologique du sol à la profondeur z

$\mu_s(z)$, la proportion de la contrainte transmise au sol, donnée par :

$$\mu_s(z) = \frac{1}{1 + (N(z) - 1) \cdot A_c}$$

avec A_c la section de la colonne.

$s_t[z]/s[z]$, le rapport du tassement après amélioration sur le tassement avant amélioration, pour la couche considérée :

$$\frac{s_t(z)}{s(z)} = \frac{\log_{10} \left(\frac{\sigma'_{v0}(z) + \mu_s(z) \cdot \sigma}{\sigma'_{v0}(z)} \right)}{\log_{10} \left(\frac{\sigma'_{v0}(z) + \sigma}{\sigma'_{v0}(z)} \right)}$$

$s(z)$, le tassement sans prise en compte de la colonne ballastée :

$$s(z) = \frac{\Delta\sigma(z) \cdot \alpha(z) \cdot h}{E_M(z)}$$

Où :

- $\Delta\sigma$ est l'accroissement de contrainte à la profondeur considérée
- h est l'épaisseur de la couche
- E_M est le module pressiométrique du sol, après amélioration
- $S_t(z)$, le tassement avec prise en compte de la colonne, pour la couche considérée

Le tassement final S_f est obtenu par :

$$S_f = \int_D^{D+h_c} \frac{s_t(z)}{s(z)} \cdot s(z) \cdot dz$$



2.2 Calcul des tassements pour des colonnes sous une semelle

Pour chacun des cas, le tassement sous la base de la colonne. Ce tassement sera ajouté à toutes les méthodes décrites ci-dessous.

Ce tassement est calculé par la méthode du modèle homogène équivalent, en deux phases :

- calcul en considérant toute la hauteur de sol
- calcul sans considérer le sol sous la colonne.

Le tassement sous la colonne sera donc la différence entre ces deux valeurs.

2.2.1 Tassements par la méthode du modèle homogène équivalent

Identique au calcul sous radier

2.2.2 Tassements par la méthode COPREC-SOFFONS

Dans cette méthode, on commence par calculer le tassement sans traitement S_{f0} , de la même façon que pour les fondations superficielles avec essais pressiométriques.

On détermine ainsi la raideur du sol k_s , par :

$$k_s = \frac{\sigma}{S_{f0}}$$

Avec σ la charge appliquée.

On calcule ensuite la raideur de la colonne k_c , par :

$$k_c = \frac{E_{col}}{H}$$

Avec :

- $H = \min(1,5 \cdot B ; L_c)$
- Où B est la largeur de la semelle
- L_c est la longueur de la colonne
- E_{col} le module de Young de la colonne

On peut alors calculer la raideur de l'ensemble k grâce à la formule suivante :

$$k = \frac{k_s \cdot A_s + k_c \cdot A_c}{B \cdot L}$$

Avec :

- A_s , l'aire de sol
- A_c , la section de la colonne
- B, la largeur de la semelle
- L, la longueur de la semelle

On en déduit finalement la contrainte dans la colonne q_{col} :

$$q_{col} = \frac{\sigma}{k} \cdot k_c$$

Ainsi que le tassement de la colonne S_{col} :

$$S_{col} = \frac{q_{col} \cdot H}{E_{col}}$$



2.2.3 Tassements par la méthode FHWA

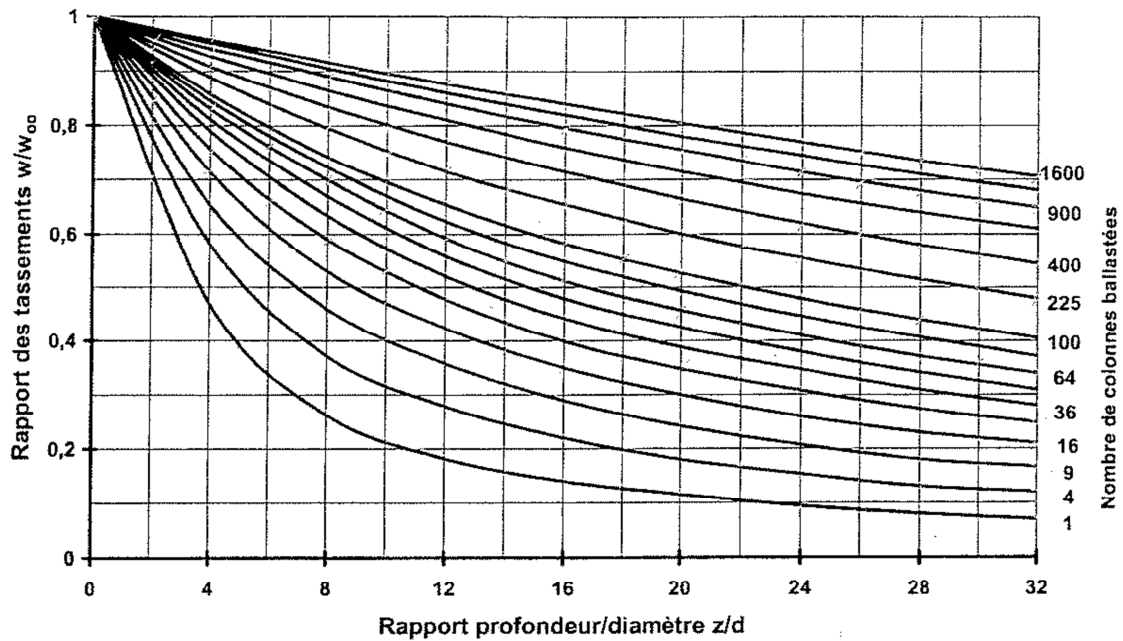
La méthode utilisée est la même que celle pour les colonnes sous radier.

2.2.4 Tassements par la méthode de Priebe

La méthode de calcul est la même que celle de Priebe pour les radiers, au facteur R_w près, soit la formule suivante :

$$S_{fc} = \sigma \cdot \int_D^{D+h_c} \frac{\alpha(z)}{E_M(z) \cdot n_1(z) \cdot f_z(z) \cdot R_w(z)} \cdot dz$$

Où R_w est le rapport des tassements, dont la valeur est donnée par l'abaque suivant :





INCLUSIONS RIGIDES

1. Tassements

Le sol sous les inclusions rigides est considéré comme incompressible.

La première étape du calcul consiste à déterminer le tassement sans renforcement S_0 , donné par :

$$S_0 = \sigma \cdot \int_D^{D+h_{ir}} \frac{\alpha(z)}{E_M(z)} \cdot dz$$

Avec :

- σ , la contrainte appliquée
- α , le coefficient rhéologique
- E_M , le module pressiométrique
- h_{ir} , hauteur de l'inclusion rigide

Les proportions des efforts transmises au sol et aux inclusions sont ensuite déterminées. Pour cela, les valeurs suivantes sont déterminées sous l'inclusion rigide, de la même manière que pour le calcul des tassements sous une semelle, par la méthode du Fascicule 62-Titre V :

- E_c : module pressiométrique (zone d'influence sphérique)
- E_d : module pressiométrique (zone d'influence déviatorique)
- λ_c et λ_d : coefficients de forme (l'inclusion rigide est ici considérée comme circulaire).
- α_c et α_d : coefficients rhéologiques (zones d'influence sphérique et déviatorique).

Ces éléments permettent le calcul du module de réaction du sol k :

$$\frac{1}{k} = \frac{40 \cdot (\lambda_d \cdot R/30)^{\alpha_d}}{3 \cdot E_d} + \frac{\alpha_c \cdot \lambda_c \cdot R}{4,5 \cdot E_c}$$

Avec R le rayon de l'inclusion.

Le pourcentage transmis au sol est ensuite calculé de la manière suivante :

$$\%_{sol} = \frac{100}{\left(1 + \frac{k \cdot L_{ir}}{E_{moy} \cdot (1,27 \cdot n^2 - 1)}\right)}$$

Avec :

- $n = \frac{m}{\phi}$ où :
 - m est la taille de la maille, (considéré comme carrée)
 - ϕ le diamètre de l'inclusion
- E_{moy} est la valeur moyenne harmonique du module pressiométrique, sur la hauteur de la couche compressible

Le pourcentage transmis aux inclusions est finalement donné par :

$$\%_{incl} = 100 - \%_{sol}$$

La charge q_{incl} et la contrainte réelle sur l'inclusion σ_{incl} peuvent alors être calculée de la façon suivante :

$$q_{incl} = \sigma \cdot m^2 \cdot \frac{\%_{incl}}{100}$$

$$\sigma_{incl} = \frac{q_{incl}}{\pi \cdot R^2}$$

On vérifie finalement que cette dernière valeur est bien inférieure à la contrainte maximale en compression définie pour l'inclusion.

Si ce n'est pas le cas, des itérations sur la maille sont effectuées, afin de déterminer quelle valeur permet de vérifier la condition.



BIBLIOGRAPHIE

- DTU 13-12 (1998) AFNOR, Règles pour le calcul des fondations superficielles
- DTU 13.2 (1992). AFNOR, Fondations profondes pour le bâtiment
- Norme NF P 94-261 (2012). AFNOR, Justifications des fondations superficielles
- Norme NF P 94-262 (2012). AFNOR, Justifications des fondations profondes
- Ministère de l'équipement, du logement et des transports (1993), « Règles techniques de conception et de calcul des fondations des ouvrages de génie civil – Cahier des clauses techniques générales applicables aux marchés publics de travaux », Fascicule 62 – Titre V.
- DUNCAN J., « Factors of safety and reliability in Geotechnical Engineering », Journal of geotechnical and geo-environmental engineering, April 2000.
- MAGNAN J.-P., « Les méthodes statistiques et probabilistes en mécanique des sols », Presses de l'ENPC.
- Ministère de l'équipement et du logement, LCPC, SETRA (1972), « Fondations courantes d'ouvrage d'art, FOND 72 ».
- U.S.A.C.E., « Settlement Analysis », EM1110-1-1902.
- WINTERKORN & FANG, « Foundation Engineering Handbook », Ed. Van Nostrand.
- MEYERHOFF G.G. (1965), « Shallow foundations », ASCE, JSMFE n°91, n°SM2.
- BURLAND J.B. & BURBIDGE M.C. (1985), « Settlement of foundations on sand and gravel », Proc. ICE
- POULOS §6.3
- FRANK & ZHAO (Mai-Juin 1982), « Estimation par les paramètres pressiométriques de l'enfoncement sous charge axiale de pieux forés dans des sols fins », Bulletin de liaison du LCPC n°119.
- BOWLES J. E. (1988), « Foundation analysis and design », Fourth Edition.
- PRIEBE H., « Le dimensionnement des colonnes ballastées », Presses de l'ENPC.
- COPREC-SOFFONS, « Recommandations sur la conception, le calcul, l'exécution et le contrôle des colonnes ballastées sous bâtiments et ouvrages sensibles au tassement.
- SOYEZ B., « Méthode de dimensionnement des colonnes ballastées », Bulletin de liaison du LCPC n°135
- DHOUIB & BLONDEAU, « Colonnes ballastées », Presses de l'ENPC.
- BARKSDALE & BACHUS, « Design & Construction of Stone Columns », Vol. I & Vol. II Appendices, FHWA/RD-83/026, Dec 1983